

ТАРТУСКИЙ ГОСУДАРСТВЕННЫЙ УНИВЕРСИТЕТ

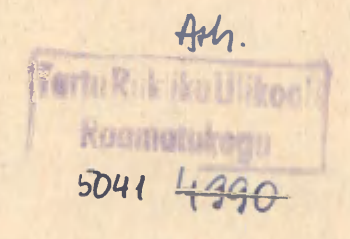
РЕАКЦИОННАЯ СПОСОБНОСТЬ ОРГАНИЧЕСКИХ СОЕДИНЕНИЙ

ТОМ XV ВЫП. 2(54) Август 1978

ТАРТУСКИЙ ГОСУДАРСТВЕННЫЙ УНИВЕРСИТЕТ

РЕАКЦИОННАЯ СПОСОБНОСТЬ ОРГАНИЧЕСКИХ СОЕДИНЕНИЙ

ТОМ XV ВЫП. 2(54) Август 1978 Редакционная коллегия: В.Пальм (отв. редактор) Ю.Халдна И.Коппель



СОДЕРЖАНИЕ

| я.Б. | Штейнберг, С.С. Ткаченко, Ю.Е. | |
|------|---|------------|
| | Герасименко, Галоидпроизводные I-амино- | |
| | антрахинона. III. Хлорирование I-аминоантрахинона | |
| | и его монохлорпроизводных в присутствии N, N-диме- | |
| | тилацетамида | I55 |
| P.X. | Зачеславская, Л.Я. Раппопорт, | |
| | Г.Н. Петров, Б.А. Трофимов, Квантово- | |
| | химическое исследование виниловых эфиров и суль- | |
| | фидов. II. Расчетные (MINDO/2) энергии молеку- | |
| | лярных орбиталей и потенциалы ионизации | I63 |
| P. C | иниярв, А. Аавиксаар, Специфическое | |
| | фосфонилирование сывороточного альбумина | 177 |
| C.B. | Богатков, Л.В. Быстров, Р.И. Круг- | |
| | л и к о в а, Влияние структуры алифатических | |
| | аминов на их ассоциацию с фенолом | 081 |
| ю.Л. | Халдна, Я.Ю. Вене, Л.Р. Орасте, За- | |
| | висимость дифференцивльно-кондуктометрического эф- | |
| | фекта от структуры сильных оснований. ІУ. Метил- | |
| | замещенные аммониевые ионы в водных растворах хлор- | - |
| | ной кислоты | 195 |
| B.B. | Овчинников, Л.В. Костакова, Р.А. | |
| | Черкасов, А.Н. Пудовик, Реакционная | |
| | способность циклических производных кислот фосфо- | |
| | ра. Константы β-дитиофосфорилированных пропионо- | |
| | вых кислот и их реакционная способность в реакции | |
| | с дифенилдиазометаном | 203 |
| Б.И. | Истомин, В.А. Баранский, Неаддитив- | |
| | ное влияние строения и среды на некоторые равно- | |
| | весные процессы с переносом протона | 215 |
| Б.И. | Истомин, Явление изопараметричности в хими- | |
| | ческих сдвигах ЯМР 13с I,4-дизамещенных бензолов | 226 |

| Б.И. | Истомин, В.А. Баранский, ШПЛи |
|-------|--|
| | взаимосвязь свойств со строением в ряду фосфор- |
| | органических соединений. 5. Сравнение резонансных |
| | вкладов некоторых заместителей в рК фосфорорга- |
| | нических и карбоновых кислот |
| B.A. | Баранский, Б.И. Истомин, ШЛи |
| | взаимосвязь свойств со строением в ряду фосфорор- |
| | ганических соединений. 4. Анализ рК, кислот |
| | Х ₁ Х ₂ Р(0)ОН в водно-симртовых смесях |
| B.M. | Нуммерт, М.В. Пийрсалу, Изучение ки- |
| | нетики гидролиза бензоатов. XII. Щелочной гидро- |
| | лиз алкилоензоатов в присутствии добавок NaClO4 |
| | m NaCI(I)249 |
| D.A. | Халдна, Л.Р. Орасте, Зависимость диффе- |
| | ренциально-кондуктометрического эффекта от струк- |
| | туры сильных оснований. У. Аддитивность изучаемо- |
| | го эффекта267 |
| M.C. | Салахов, Н.Ф. Мусаева, А.А. Алес- |
| | керов, С.Н. Сулейманов, Кинетика и |
| | механизм реакции диеновой конденсации гексахлор- |
| | циклопентадиена с циклическими диенофилами. Х. Ко- |
| | личественная оценка вклада метильной группы м- |
| | (п-арил)-имидов цис, цис-3-метил-4-циклогексен-I,2 |
| | -дикарбоновой кислоты в кинетику реакции с гекса- |
| | хлорциклопентадиеном; изопараметрическая зави- |
| 73.11 | CHMOCTB |
| Б.И. | Истомин, В.А. Баранский, А.В. Ка- лабина, ППЛ и взаимосвязь свойств со строени- |
| | ем в ряду фосфорорганических соединений. 6. Взаимо- |
| | связь между величинами рК, фосфоновых и карбоновых |
| | кислот в воде |
| | VERMOT D DOMOSSOSSOSSOSSOSSOSSOSSOSSOSSOSSOSSOSSOS |

J 541.127:547.671.5

ГАЛОИЛПРОИЗВОЛНЫЕ І-АМИНОАНТРАХИНОНА

 Хлорирование І-амимоантрахинова и его менохлорпронзводних в присутствии № Диметилицетимида.

> Я.Б. Птеймберг, С.С. Ткаченко, D.Б. Гермсименке Научно-исследовательский институт органических полупродуктов и красителей, Рубежное

> > Поступило 2 апреля 1978 г.

Исследована кинетика хлорирования I-аминоантрахннона
и его 2- и 4-монохлориронзводных в присутствии //-диметилацетамида (ДИАА) при 5
15°. Обнарумен катализ ДИАА.
Между наблюдаемыми константами скорости второго порядка
и концентрацией ДИАА имеется линейная зависимость.
Рассчитани некаталитическая
(К2) и каталитическая (К3)
константи скорости реакции
и мера каталитического эффекта (К3/К2).

Ранее [I] установлено, что резкое замеджение скорости превращения І-аминоантрахинона (I) в 2,4-днхлор-І-амино-антрахинон (IУ) при хлорировании в органическом растворителе (хлорбензоле) после 50% превращения исходного амина, связано с образованием хлористоводородных солей (I) и 4-хлор (I), которые выводят часть аминов из сферы реакции:

В связи с этим мы исследовали кинетику хлорирования (I) и его 2- и 4-монохлорпроизводных (П и П) в условиях, исключающих образование хлоргидратов \rightarrow в присутствии кислотосвязывающего агента N.N-диметилацетамида (pK_{g} =-0, I9[2]).

ЭКСПЕРИМЕНТАЛЬНАЯ ЧАСТЬ

ДМАА очищали вакуум-перегонкой n_D^{25} -I,435[3], хлорбензол, амины (I), (П), (Ш) очищены по [I]. Соответствурщие количества хлорбензольного раствора ДМАА, известной
концентрации, вносили в мернур колбу, емкостью IOO мл, содержащур хлорбензольный раствор аминов (I), (П) или (Ш), и
доводили хлорбензолом до метки. Реакцию осуществляли смешением эквимолекулярных количеств хлорбензольных растворов
соответствурщего амина и хлора.

Приготовление растворов и выполнение кинетических измерений проводили по ранее описанной методике [I] при температурах 5 и 15°. Предварительно установлено, что в выбранных условиях ДМАА не хлорируется (концентрация хлора в хлорбензольных растворах хлора и ДМАА остается постоянной). Каждое кинетическое измерение проводили 2-3 раза. Константу скорости хлорирования вычисляли по уравненив (I):

 $K = \frac{X}{a^{\tau}(a-x)}$ (I)

где а - начальная концентрация амина, равная концентрации хлора, моль $\mathbf{n}^{-\mathbf{I}}$

x - текущая концентрация образующегося клорпроизвод-

В таблице приведены результаты измерения констант скоростей хлорирования І-аминоантрахинона и его монохлор-

производных (П и II). Энергир активации и предэкспоненциальный множитель рассчитывали методом наименьних квадратов [4].

Обсуждение результатов.

Предполагалось, что добавка дила свяжет выделяющийся во время реакции хлористый водород, тем самым, увеличит скорость хлорирования более основных [5], обычно образурщих хлоргидраты аминов (I) и (E)и не скажется на скорости хлорирования сравнительно слабоосновного амина (П). Как видно из таблици, присутствие ДИАА, повышая скорость хлорирования, приводит к увеличению констант скоростей жлорирования монохлорзамещенных (П) и (П); константа скорости амина (I) остается неизменной. Для соединений П и П наблодается значительное снижение энергии активации (с 15,5 м 10,7 до 4,8 м 4,9 ккал/моль соответственно). Несмотря на сложность системи кинетика реакций соединений І. П и в удовлетворительно описывается уравнением (І). Установлено, что увеличение концентрации дила [В] приводит к увеличению констант скоростей хлорирования аминов (П) и (В), причем между наблюдаемой константой скорости (К.,), вычисленной по уравнению второго порядка, и концентрацией дилл имеется линейная зависимость (см. рис. 1,2), которая обычно наблодается для катализа основаниями (в частности, аминами) в процессах ароматического нуклеофильного замещения [6] .

Полученные прямые (см.рис.1.2) зависимости R_H от концентрации ДМАА отсекают от оси ординат отрезки численно равные константам скоростей некаталитического процесса (R_2). Тангенс угла наклона прямой дает значение константы скорости каталитической реакции (R_3). Наблюдаемыя константа скорости (R_H) подчиняется уравнении (3):

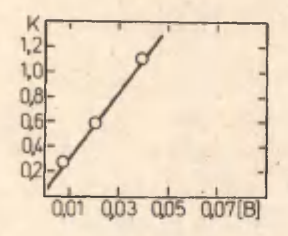
$$R_{H^{\pm}} R_2 + R_3 [B]$$
 (3).

где: $\mathbb{K}_2(\mathbf{z}/\mathtt{mode}$. сек) и \mathbb{K}_3 (\mathbb{Z}/\mathtt{mode} . сек) соответствен-

Кинетика хлорирования І-аминоантражница и его монохлорироизводних хрором в хлоронзоле в присутствия ДМАА при 5 и 150С. Твблица

| | Troum age | | TOH | | итостояо нтивасной | 1 | , - | - | - |
|------------|--------------|----------------|-------|------------|--------------------|-----------|------|---------|-------------------|
| Соединение | I /I | | H0= | 4 | The state of | 1 | K3/K | pa - | 40A |
| | SME- | - | De- | 25 | 1 43 | H | 7 | KKSA | 0 |
| | # cd m | MAAA | - g U | E OIL OBE. | MORE | MOSE.COR. | | HOLE | ··· dans and dans |
| I | 2 | 3 | * | 5 | 9 | 7 | 8 | 6 | IO |
| | 0,0025 | 0,0025 0,00294 | 50 | I'I | 0°I | I'I | | | |
| No WWZ | 10,0 | , | 10 | 0,0052 | | 0,0052 | • | 7,01 | |
| | 10.0 | 0.0110 | 5 | 0,0052 | 0,465 | 0.015 | 06 | 6 8 | 3,70 |
| | 10.0 | 0.0475 | 2 | 0,0052 | 0,465 | 0,030 | | | |
| | | | | | | | | | |

| | | 1 | | | | | | |
|--------|--------|------|-----------------|--------|--------------|--------|--------|---------|
| I IO | | | | | 3,18 | 4 | | |
| 6 | | | | 5,5 | 905 4,8 3,IB | | | |
| 7 1819 | | | | 1 | 506 | | | -, |
| 7 | 52# | | tid. | 72 | | +1 | +1 | 14.55 |
| | 0 052 | 0,03 | 0 02I+ 0 0 0 | 0,027 | 0,26± | 0.59+ | I 101 | 0,35 |
| | 2 | | | | 100 | 10 | 5 | 2 |
| 9 | 0,465 | | | | 24,5 | - 24,5 | 24,5 | 24,5 |
| - | 25 | | | +1 0 | _ | | | |
| 5 | 0,0052 | | | 0.027 | 0,027 | 0,027 | 0,027 | D 0,027 |
| 4 | 2 | | B | 10 | 2 | 5 | 2 | D |
| | , | | | | | | | |
| 3 | 0,105 | | 0,0229 | 1 | 7,000,0 | 0,0200 | 0 0396 | 0,00796 |
| - | 0,1 | | 0,0 | | 0,0 | 0,0 | 0 | 0,0 |
| 2 | | | | 53 | 52 | 23 | 52 | ຄ |
| | 10.0 | | 10.0 | 0,0025 | 0,0025 | 0,0025 | 0,0025 | 0,0025 |
| | | | | | | | | |
| | 30 | | | NH2 | 72 | | | |
| | | | | 03 | 20 | | | |
| | | | | 6 | 2) | | | |



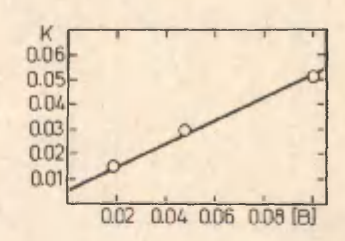


Рис. І. 4-хлор-І-аминоантра-

Рис. 2. 2-хлор-I-аминоантрахинон

Зависимость наблюдаемой константы скорости от концентрации ZMAA.

но константы скорости некаталитической и каталитической реакций. Следовательно, в данной реакции имеет место катализ ЛИАА. Нами не найдены данные о катализе подобного рода в реакциях хлорирования. Пользуясь терминологией, принятой в ароматическом нуклеофильном замещении [6], ым вичисляли меру каталитического эффекта Ку/Кэ, которая является характеристикой эффективности действия катализатора. Эта величина равна 90 и 905 для соединений П и Ш соответственно. В случае хлорирования І-аминоантрахинона выявить каталитическое воздействие ДМАА не удалось. По-видимому, вследствие большой скорости некаталитического процесса, а также невысокой концентрации самого ДМАА. Аналогичный пример освещен в [7], где при сравнении взаимолействия с едким натром натриевых солей бензол- и 2-нафталинсульфокислот установлен соответственно значительный и весьма слабый каталитический эффект гидроксильных ионов вследствие небольного вклада каталитического пути для 2-нафталинсульфокислоты.

Механизм действия ДМАА как катализатора не ясен. Можно полагать, что по аналогии с данными [8], здесь имеет место нуклеофильный катализ в электрофильном замещении вследствие образования комплексов хлора с ДМАА. Не исключается, однако, возможность того, что в рассматриваемом процессе реализуется механизм реакции хлорирования с участием комплекса с переносом заряда подобно тому, как это описано в [9] для галоидирования олефинов.

Сделанное нами наблюдение о катализе ДМАА позволяет объяснить появившееся в патентной литературе упоминание о введении добавок ДМАА для улучшения клорирования нафтохинона [10], а также использование ДМАА в качестве среды при хлорировании некоторых ароматических соединений [II].

Авторы признательны доктору С.М. Пейну за интерес к работе и обосуждение.

ЛИТЕРАТУ РА

- I. D.E. Герасименко, С.С. Ткаченко, Я.Б. Штейнберг Реакц. способн. орг. соед., 6, IIO2 (1969).
- 2. A.R. Goldfarb, A. Miele, N. Gutstein, J. Him Chau, Soc., 77. 6194 (1955).
- 3. J.A. Mitchell, E.E. Rend, J. Am Chem Suc , 50, 1879 (1931).
- 4. К. Неницеску "Оощая химия" изд. "Мир", М., 277 (1968).
- 5. D.E.Герасименко, С.С.Ткаченко, Я.Е. Штемноерг Реакц. способн. орг. соедин. . 6, 1065 (1969)
- 6. Д.Ф.Баннет в кн. "Теоретическая органическая химия", иил, 181 (1963): С.Д.Росс в кн. "Современные проблемы физической органической химии", изд. "Мир", 33 (1967).
- 7. С. W. Шейн, В.П. Русов, ЖОРХ, II, 96 (1975).
- 8. И.П.Белецкая, ЖЕХО, <u>12</u>, 3 (1967), И.П.Велецкая, А.Л.Курц, Н.К.Генкина, О.А.Реутов, ДОРХ, 4, 1120 (1968).

- 9. Г.Б.Сергеев, D.А.Сергучев, В.В.Смирвов, Усп.химии, 42, 1545 (1973), Г.Б.Сергеев, XBXO, 1974).
- 10. Англ.пат. 1102849; С.А.69, 18906 (1968).
- II. Пат. DPГ 1493566 (1969).

УДК 547,37:541.124.7:543.878

КВАНТОВО-ХИМИЧЕСКОЕ ИССЛЕДОВАНИЕ ВИНИЛОВЫХ ЭФИРОВ И СУЛЬФИДОВ.

П. Расчётные ($_{
m MINDO/2}$) энергии молекулярных орбиталей и потенциалы ионизации.

Р.Х.Зачеславская, Л.Я.Раппопорт, Г.Н.Петров, Б.А.Трофимов.

Всесоюзный научно-исследовательский институт синтетического каучука им.С.В.Лебедева, Ленинград. Иркутский институт органической химии СО АН СССР.

Поступило 4 апреля 1978 г.

На основании расчётных данных по схеме мімо/2 проанализирована реакционная способность виниловых эфиров в электрофильных реакциях присоединения и сделана попытка интерпретации фотоэлектронных спектров ненасыщенных эфиров.

В предыдущем сообщении сопоставлялась реакционная способность некоторых виниловых эфиров в
электрофильных реакциях присоединения с данными
расчёта электронной структуры этих молекул. Индексами реакционной способности молекул в реакциях с
электрофилами могут служить также потенциалы ионизации, поскольку в пределах одного класса соединений должна существовать симбатность между способностью электронной оболочки отдавать электрон и её
способностью стабилизировать образующийся в результате атаки электрофила катионоидный центр.

В то же время, теорема Купманса² позволяет интерпретировать и предсказывать фотоэлектронный спектр по данным квантово-химических расчётов

(см., например, 3).

По-видимому, наиболее оправданным для таких корредяций является изучение серии молекул, содержащих одну и ту же структурную группу (см. сравнительное изучение цианидов³, цианодиенов⁴, углеводородов⁵).

В этом сообщении рассматривается ряд виниловых (CH₂=CHOR) и аллиловых (CH₂=CHCH₂OR) эфиров, которые могут в дальнейшем служить моделями и сложных бифункциональных винилоксисоединений, т.к. введение второй винилоксигруппы на значительном расстоянии от первой несущественно влияет на зарядовое распределение^I.

Расчеты проводились методом ССП МО ЛКАО в приближении мINDO/2 на ЭВМ БЭСМ-6. В качестве базиса при расчетах использовались слейтеровские орбитали: IS для атомов водорода, 2Sм 2р для атомов углерода и кислорода. Значения полуэмпирических параметров взяты из⁶,7.

Изменение в энергии граничной орбитали молекул винилового эфира в зависимости от заместителей является мерой влияния заместителей на первый ионизационный потенциал и дает возможность оценить относительную активность винилового эфира в реакциях с электрофилами.

Поскольку теорема Купманса носит приближенный характер, при сравнении экспериментальных потенциалов ионизации (I) и расчетных значений энергий граничной мО (E) (таблица I) вводятся эмпирические поправки различного рода 3,4,5, например, предлагаемый в ряде работ корректирующий фактор 0,928.

Данные таблицы I обрабатывались методом наименьших квадратов по корреляционному уравнению:

I = do + d, E,

где 🗞 и д. - эмпирические параметры корреляции.

Таблица I Энергии высшей занятой МО ненасыщенных эфиров и потенпиалы ионизации

| Ni | Соединение | -Е, эв | 7 %) , ∋B | I, **) |
|----|--|--------------|----------------------|---|
| I | CH ₂ =CHOCH ₃ (транс) CH ₂ =CHOCH ₃ (цис) | 9,52 9,62 | 8,76 8,84 | 9,13 ⁹ 8,93 ¹⁰ |
| 2 | CH2=CHOC3H7 | 9,50 | 8,74 | 8,86 |
| 3 | CH ₂ =CHOC ₆ H ₅ | 8,91 | 8,20 | 8,49 |
| 4 | CH2=CHOCH=CH2 | 9,32 | 8,56 | |
| 5 | CH2=CHCH2OC2H5 | 9,86 | 9,07 | 9,60 |
| 6 | СH ₂ =СНСН ₂ 0С ₆ Н ₅ | 8,96 | 8,24 | 8,31 |
| 7 | (CH ₂ =CHCH ₂) ₂ 0 | 9,83 | 9,20 | 9,64 |
| 8 | C ₆ H ₅ OC ₂ H ₅ | 8,98 | 8,25 | 8,36 |

^{*)} I' = -0.92 E

ххх)
Далее все результати приводятся для плоских форм.

экспериментальные значения I (кроме метилвинилового эфира), как и в таблицах 2,3,4, получены Р.И.Пиквером и У.Х.Мельдером методом фотоэлектронной спектроскопии (ФЭС) на установке^{II}.

Анализировались две виборки: все ненасищенные эфиры таблицы I (уравнение I) и та же группа эфиров без этилфенилового (уравнение 2)

$$I = -3, II2(\pm 0, 330) + I, 28I(\pm 0, 035)E$$
 (I)

$$R = 0,972$$
; $s_0 = 0,12$;

$$I = -2,933(\pm 0,366)+I,263(\pm 0,039) E$$
 (2)

R = 0,965; S = 0,13,

где R и s - коэффициент и стандартная ошибка корреляции, соответственно.

В скобках приведени доверительные интервалы коэффициентов регрессии.

Прямолинейная зависимость выполняется достаточно хорошо в обоих случаях (относительно высокие значения R и небольшие средневыборочные дисперсии) (рис.І), и полученными уравнениями можно пользоваться для предсказания первых потенциалов ионизации эфиров, исходя из расчётных данных, хотя, возможно, следует расширить набор соединений, как это сделано при оценке влияния соседних кратных связей и гетероатомов на потенциалы ионизации спиртов и эфиров 12.

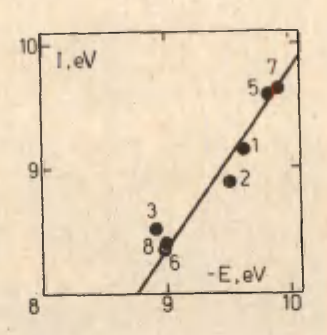


Рис. I. Зависимость экспериментально полученного (ФЭС) первого потенциала ионизации от энергии граничной орбитали (міпро/2) (Нумерация соединений та же, что и в таблице I).

Характер МО и фотоэлектронные спектры виниловых эфиров

| | | G.R. | 80.0 | 10 O- | 0 13 | 77 0 | 7,44 | 0,05 | 60 0 | 61.0 | 80.0 | 0,43 | 0 2I | -0,07 | 0.07 | 0,33 | - |
|--------------|------------------------|----------|------|-------|-------------|-------|-------|-------|-------------------|------|------|-------------|------|-------|-------------|------|-------|
| | RICH OI | 20 | 0,70 | 20.0 | 0 53 | . 0 | 0,81 | 0,02 | 0,20 | 98.0 | 0,13 | 0 33 | 0,22 | IO O- | -0,34 | 0,22 | |
| HOK | Kospennent#MO aromob## | 6 | 0,47 | IO*0 | 0,26 | 0 40 | 0,40 | 10°0- | 0,15 | 0,30 | 21.0 | 60'0 | 0,27 | -0 IS | 0,36 | 0,15 | |
| C-H2 = C-HOK | жффео Ж | 0 | 0,52 | 0 15 | 8 8 | 200 | 0,55 | -0.04 | 0,52 | 02.0 | 0 | 0,12 | 0.24 | 0,12 | 0,20 | 0,58 | |
| | I . | q D | 8I'6 | | 10,62 12,06 | _ | 12,40 | -0 | 11,85 13,36 -0,52 | | | 12,50 14,27 | | | I4,24 I6,04 | | |
| | -E | | 9,62 | | 10,62 | 17 00 | 11,68 | | 11,85 | | | 12,50 | | | I4,24 | | _ |
| | TRII MOW) |) E | N | | 6 | | 6 | | 6 | | | 6 | | | 6 | | The R |
| | œ | 4 | CHS | | | | | , | | | | | | | | | |

Продолжение таблицы

0,32 0,02 0,15 0,02 90.0 0,44 10°0--0.02 0.12 0,42 -0,02 0,12 0,46 0,28 0 05 0 05 60 0 -0,36 0 08 0 0I 0 24 0.39 01.0 0,26 0,67 0 02 0 II 0 IZ 0,22 0,23 0.08 0,47 0 000 0000 0 08 930 -0.05 0 25 0 12 0 08 0 58 0,54 18 0-0,03 9 8,86 IO 62 II 39 II, 28 | I4, 42 II II | IZ 67 II 86 IG 77 9,50 II, 93

N

O

3

C3H7

b

1-

1

Прополжение таблицы 2

| | | | 1 | 1 | 1 | | | 1 | | | | | | | | | | |
|---------------------|-------|--------------|-------|-------------|-------|-----------|-------|--------|---|-------|-------|-------|------|-------|-------|--------|-------|--|
| | 62 0- | 0,04 | 0,23 | 0,55 | 0 | -0 03 | 0,25 | -0 3I | | | 90.0 | 0,03 | | | | | | |
| MUNICE S | 0,22 | 0,02 | 0,05 | 0,4I | -0.27 | | | 0,28 | | | | 90.0 | | | | | | |
| Me Tac | 0,46 | - | 210- | II.0- | -0,3I | 70.0- | 0,12 | 1E. 0- | | -0,02 | | 0,03 | | | | | | |
| Продолжение таолици | 0,14 | 0,02 | 0,08 | | -0,05 | -0,05 | -0,04 | 0,32 | | 90,0- | 0,36 | -0,07 | | | | | | |
| TodII | -0,35 | 04 | 60.0- | -0,45 -0,52 | 0,25 | 0,08 | | -0,28 | | -0,04 | -0,40 | 0,04 | | | | | | |
| | -0,37 | 0 03 | 0 2I | 60.0 | 1E, 0 | 90.0- | 0,10 | 0,25 | | 20,0 | 0,32 | 0,05 | | | | | | |
| | -0,35 | 0,09 II,0 | 9I.0- | -0, I3 | 19°0- | 0,03 | 0,04 | 0,10 | | -0.IO | -0,26 | 0,13 | 0 5I | 0,52 | II.0 | 0,26 | -0,25 | |
| | 02.0 | 01 09 | 0,39 | 11 0- | -0,5I | 0,05 | 0,08 | -0,I3 | | 0 | 0,27 | -0,I5 | 0,32 | 0,48 | 60.0- | 1E, 0- | 0,28 | |
| | 0,46 | 90°0 | -0,27 | 10°0- | 0,22 | 10°0 | 0,10 | 6I°0- | | 10,0- | -0,3I | 0,14 | 53 | 0 | 0 | 0,13 | 0 | |
| | 8,49 | 9,33 | | 11,69 | 12,60 | ,29 14,11 | | | | Y | 15,60 | | | | | | | |
| | 16.8 | 91 6 | | 9 74 | 9,95 | S IO, 29 | | | | | 10,86 | - | 9,32 | IO,47 | II,04 | 1 | | |
| | B | D | | 3 | B | 10 | | | 4 | | d | | R | 18 | V | | | |
| | CGHE | | | | | | | | | | | | CHZ= | =CH2 | | | | |

| CH ₂ =CH ₂ | 6 | II,64 | 0,12 0 0,67 | -0,09 0 -0,22 | -0,07 -0,06 0,22 | |
|----------------------------------|---|-------|-------------------|-----------------------|-------------------------|--|
| | 6 | II,92 | 0 -0,49 | -0,05 0,2I 0,14 | -0,04 -0,28 -0,25 | |
| | 6 | 13,23 | 0,22 | -0,03 -0,15 0 | -0,0I -0,06 -0,4I | |

*) Поскольку вычисленные энергии соседних низколежащих занятых МО достаточно близки между собой, мы отдаём отчёт в относительности порядка чередования и
— уровней.

 $^{ ext{XX}})$ Приводятся коэффициенты при $P_{ ext{B}}$ -AO для \mathscr{I} - орбиталей, при \mathscr{S} , Px , Py -AO - для \mathscr{S} -орбиталей.

Таблица 3

Характер МО и фотоэлектронные спектры аллиловых эфиров $G^{ab}H_{Z}=G^{ab}H_{CSP}H_{Z}OR$

| | Ти | п -Е. | I. | Ko: | эффици | енты М | О для | atomol | 3 |
|------|----|-------|-------|--------|--------|--------|-------|--------|-------|
| R | MO | | 98 | 0 | Ca | C B | Csp3 | CR | |
| C2H5 | 95 | 9,86 | 9,60 | 0,36 | 0,52 | 0,60 | -0,27 | 0 | 0,01 |
| ~ 0 | | | TO TO | 0,04 | 0,05 | -0,07 | 0,12 | 0,02 | -0,09 |
| | 5 | 10,27 | 1018 | 0,28 | 0,48 | -0,26 | -0,45 | -0,19 | 0,14 |
| | | | | 0,14 | 0,10 | 0,15 | -0,04 | -0,2I | 0,22 |
| | 5 | 10,47 | 11,44 | 0,63 | -024 | -0,26 | 0,03 | -0,35 | 0,24 |
| | 5 | 11,24 | 12,20 | -0, I7 | 0,03 | 0,01 | 0,12 | 0,14 | 0,15 |
| | | | | 0,32 | 0,13 | -0,0 I | -0,05 | -0,II | -0,08 |
| | | | | -0,55 | 0,55 | -0,08 | 0,22 | 0,34 | -0,33 |

| | | | | | | | 1 | | | | | | | | | |
|-----------------------|----------|-------|---------|--------|---------------------|------------|------------------|------------|------------|---------------|-------------|------------|-------------|---------|--------------|--------------|
| 2 | | | | | -0 3I | -0,52 | -0.04 | 10 O | 0,38 | 0.13 | -0.03 | -0.2I | 0 0 | 0 03 | -0.35 | -0,03 |
| Эпицы | | | | | -0.26 | -0.43 | -0.04 | 90 0- | -0,26 | 0.17 | 10 O | 0,23 | 0,03 | -0.05 | 0,28 | 0 |
| Me Ta | | | | | 0.53 | 0.07 -0.43 | 0,02 | 0,05 -0,06 | 0,30 -0,26 | 0,07 | 0,03 | 0,25 | 0,02 | 0,07 | 0,24 | 0,03 |
| Продолжение таблицы 3 | _ | | _ | | -0.17 -0.53 -0.26 | 0,50 | 0.04 -0.02 -0.04 | | | | | 0,33 -0,25 | | 0.05 | 0, IO -0, 24 | |
| Про | -0,39 | 0 | 0,42 | -0, I9 | 0, 38 | 0,45 | 90 0- | 0,08 -0,0I | 0,28 -0,23 | -0, I8 -0, IO | -0,04 -0,02 | -0,33 | -0.06 -0.02 | -0.07 | 80.0- | 0, I6 -0, I3 |
| | -0.29 | +0 0- | -0,I6 | 0, I4 | 0,45 | 80 0- | -0,02 | 0,04 | -0,35 | -0, II | 90.0 | 0,22 | 0,05 | 0,07 | 90.0- | -0.I7 |
| | -0,25 | -0,05 | 0,10 | -0,24 | 0,02 | 0,12 | 0 | 0,11 | -0, I8 | 0,24 | -0, IO | 0,26 | 0,08 | 90.0 | -0,39 | 0,07 |
| | -0,26 | 80,0- | -0.03 | -0,22 | -0 03 | -0,17 | IO.0- | 10 O | 0,02 | -0,62 | 90.0 | 0,17 | 0,12 | -0,03 | -0,I8 | -0,IO |
| - | 0,30 | -0,03 | II 0- | 0,28 | -0,02 | -0 I4 | +0.0- | -0,12 | 0 | -0,55 | -0.04 | -0,29 | -0, IO | 0,05 | 0,40 | 0,04 |
| | 94 0 | 90'0 | 0,23 | 0.27 | -0 40 | +0.0- | 90.0 | -0 IO | 0,25 | 8I 0- | IO 0 | -0,38 | -0.05 | 90 0- | 0,02 | 0,10 |
| | I3 3I | | 14,56 | | 8 3I | 9,24 | 9,93 | | | 1I,00 | II,42 | | | IZ, 18 | | |
| | // II,87 | | 6 IZ 05 | | 11 8,96 | 9,58 | 6,67 | | | 1 IO,04 | 6 10,29 | | | G IO 35 | | |
| 1. | - | (| 0 | | = | = | O | | | = | े | | | 6 | | |
| | | | | | 6H5 | | | I | 71 | | | | | | | |

Продолжение таблицы 3

| CH ₂ =CHCH ₂ | 51 | 9,83 | 9,64 | -0,46 | -0,34 | -0,40 | 0,17 |
|------------------------------------|----|-------|-------|------------------------|-------------------------|-------------------------|------------------------|
| | 51 | 9,85 | 10,13 | 0 | 0,41 | 0,47 | -0,22 |
| | 5 | 9,97 | II,54 | 0 0,27 0,19 | 0,05 0,39 0,09 | -0,06 -0,19 -0,12 | 0,06 -0,37 -0,07 |
| | 6 | 10,96 | 12,69 | 0,I7 -0,26 0,37 | -0,03 -0,32 -0,06 | 0,0I 0,I6 0,II | -0,18 0,25 -0,18 |
| | TT | 11,02 | 13,68 | 0,73 | -0,32 | -0,31 | -0,09 |
| | 6 | 11,74 | 14,51 | 0,I0 -0,35 -0,50 | -0,05 0,I3 -0,I0 | -0,01 0,26 0,II | 0,08 -0,16 -0,14 |

Характер МО и фотоэлектронний опектр этилфенилового эфира $C_6H_5-0C_2H_5$

| | G5/22) | -0,17 -0,53 -0,26 0,32 | 0.51 0.06 -0.45 -0.54 | -0,05 0,02 0,04 -0,05 | 0,02 -0,05 0,07 -0,0I | 23 0 30 0 26 -0.37 | 0,01 0,07 -0,02 -0,04 | 0.32 -0.34 0.36 -0.38 | 0,II 0,05 0,0I 0,02 | -0,05 -0,18 -0,18 -0,07 | -0,06 -0,05 0,06 -0,08 | 0,18 0,03 -0,09 0,17 | 0,12 0 0,03 0,10 |
|----------------------------|---------|------------------------|--|-----------------------|-----------------------|--------------------|-----------------------|-----------------------|----------------------------|-------------------------|------------------------|----------------------|------------------|
| Коэффициенты МО для атомов | | 0 38 | | 0,02 0,06 | 0,02 0,IO | 0 35 -0 29 0 | 0 80.0- 60.0 | 0,13 -0,30 | | 0,20 0,IO | 0 10.0 | 0,22 -0,19 | 0 81.0- 61.0 |
| Коэффици | O Crapa | 40 0.02 -0.01 0,45 | 9.25 -0.03 0.09 -0.04 -0.06 0.47 | -0,06 -0,0I 0,06 | 60.0 60.0 70.0 | 25 0 TR -0.04 | -0,02 -0,04 0 | -0,29 -0,05 0,03 | 0,02 0,IO -0,09 -0,08 0,06 | 0,48 -0,41 0,31 | 0,04 -0,04 -0,17 | 0,32 0,46 -0,46 | 0 01 -0.05 0 |
| I, | 9B | 8 36 -0,40 | 9.25 -0. | TO 89 -0, | | 9 | 11 38 -0, | | 0 | I2,06 0, | 14 03 0, | | 9 |
| ТипВ | MO SB | 8,98 | M 9.6I | 89 6 | _ | | 70 31 | _ | | A IO,88 | TO 92 | - | |

Сопоставляя первые потенциалы ионизации ненасыщенных эфиров с их реакционной способностью в электрофильных реакциях 12,13,14, можно придти к заключению, что антибатность этих параметров не всегда сохраняется.

В то же время, сравнение квадратов коэффициентов висшей занятой МО (коэффициенты МО даны в таблицах 2,3 и 4) обнаруживает, что в молекулах алкилвиниловых эфиров основной вклад в неё вносят 2—AO атомов винилоксигруппы, причём вклад 2—AO В-углеродного атома доминирующий (квадрат коэффициента Р2—AO д-С примерно 0,25, В-С-примерно 0,5). Следовательно эта Л-МО должна служить фактором, контролирующим реакционную способность винилоксигруппы.

В молекулах алкилаллиловых эфиров характер граничной орбитали остается таким же.

В молекулах ароматических эфиров значительный вклад в высшую занятую МО принадлежит \mathcal{I} — орбитали бензольного кольца (таблицы 2, 3, 4).

Этим, несомненно, обусловленно то, что, например, арилвиниловые эфиры, несмотря на их более низкий первый потенциал ионизации по сравнению с алкилвиниловыми эфирами, значительно менее активны во всех реакциях электрофильного присоединений по двойной связи,

Этот вивод соответствует результатам работи , где обнаружено сильное отклонение точки винилфенилового эфира от корреляционной прямой, связивающий потенциали ионизации алкилвинилових эфиров с индукционними константами 5 %, которые в свою очередь, прямо определяют реакционную способность винилових эфиров в электрофильных процессах 15,16,17.

Авторы благодарны Ю.Л.Фролову за критическое прочтение рукописи и ценные замечания.

ЛИТЕРАТУРА

- I. Р.Х. Зачеславская, Л.Я. Раппопорт, В.А. Трофимов, Г.Н. Петров. Реакц. способн. орг. соедин., 15, вып. 3 (47), 416 (1976).
- 2. T. Koopmans, Physica, I, 1041 (1934).
- P.Baybutt, M.F.Guest, and J.H.Hillier, Mol. Phys., 25, 5,
 1073 (1973).
- 4. K.Houk, L.Mumehausen, Journ. Amer.Chem.Soc., 98,4 (1976).
- 5. L.Asbrink, C.Fridh, and E.Lindholm, Journ. Amer.Chem. Soc., 94, 15(1972).
- 6. N.C. Paird and M.J.S. Dewar. J. Chem. Phys., 50, 3(1968).
- 7. N.Bodor, M.J.S.Dewar, A.Harget, and E.Haselbach, Journ. Amer.Chem.Soc., 92,13 (1970).
- 8. M.B.Robin, H.Baser, N.A.Kuebler, E.B.Kaplan, and J.Meinwald, J.Chem.Phys., 48,5037(1970).
- 9. C.W.Mines, H.W.Thompson, Spectroch. Acta, 29A, I377 (1973)
- IO. R.R.Bernecker and F.A.Long, J.Phys. Chem., 65, 1565 (1961).
- II. Я.Я.Виллем, Р.И.Пиквер, О.В.Сакс. Ученые записки тартуского государственного университета, вып. 320, Труды по аэроионизации и электроаэрозолям, УІ, Тарту, 330 (1973).
- Е.А.Трофимов, У.Х. Мельдер, Р.И.Пиквер, Е.П. Вялых,
 Н.А.Недоля, Изв.АН СССР, сер.хим., 1974, 12, 2731.
- I3. A.Ledwith and H.J. Woods, J.Chem. Soc(B), 310(1970).

- 14. Г.Г.Балезина, В.М.Власов, Н.М.Дериглазов, С.Ф.Мальшева, ЖОХ, Х. Г.У., 1869 (1975).
- 15. Б.А.Трофимов, И.С.Емельянов, М.Э.Ясельман, А.С.Атавин, Б.В.Прокопьев, А.В.Гусаров, Г.Н.Ванюхин, Реакц. способн.орг.соедин. 6, вып.4 (22), 934 (1969).
- 16. Б.А.Трофимов, И.С.Емельянов, там же, 7, вып.3 (25), 564 (1970).
- 17. Б.А.Трофимов, О.Н.Вылегжанин, Н.А.Недоля, там же, 7, вып.3 (25), 588 (1970).

УЛК 547.962.3 : 547.1'118

СПЕЦИФИЧЕСКОЕ ФОСФОНИЛИРОВАНИЕ СЫВОРОТОЧНОГО АЛЬБУМИНА (Предварительное сообщение)

Р.Синиярв, А.Аавиксаар

Сектор биохимии Института кибернетики АН ЭССР, Таллин 200026, п/я 670, Эстонская ССР

Поступило 12 апреля 1978 г.

Показано, что одна группа в сывороточном альбумине человека специфически фосфонилируется в реакции с 0-н-пропил-п-нитрофенилметилфосфонатом. Бимолекулярная константа скорости реакции составляет $10,0\,\mathrm{M}^{-1}$ мин $^{-1}$ при $25^{\mathrm{O}}\mathrm{C}$ и рН 6,9.

В литературе $^{I-3}$ показано, что сивороточные альбумины человека и быка быстро реагируют с п-нитрофенилацетатом (НФА) по кинетике двухфазного процесса. В начальной очень быстрой фазе селективно ацетилируется одна группа в сивороточном альбумине 2,3 . Выделение п-нитрофенола в последующей более медленной фазе объясняют каталитическим гидролизом НФА. Тильдоном и др. 2 было отмечено, что диизопропилфторфосфат в концентрации $2 \cdot 10^{-4}$ М не оказывает влияния на "вспышку" и на каталитическую реакцию.

В данном сообщении нами показано, что сивороточний альбумин специфически реагирует с фосфорорганическим соединением О-н-пропил-п-нитрофенил-метилфосфонатом (НФФ). Кинетика реакции регистрировалась по поглощению п-нитрофенолят-аниона (р) при 400 нм. Полученные данные обрабативали с помощью дифференциального метода Рудакова⁴, согласно уравнению

$$\ln \dot{\varphi} = -k\tau + \ln (\varphi_{\infty} - \varphi_{\circ})k,$$

где $\dot{\varphi} = \frac{\Delta \varphi}{\Delta T}$ и $\varphi = D$.

На рисунке I показана типичная зависимость $\ln \dot{\varphi}$ от τ для реакции сывороточного альбумина человека (САЧ) в условиях

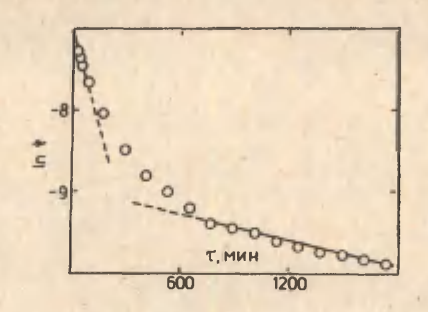


Рис. I. Обработка кинетических данных по реакции сывороточного альбумина человека (САЧ) с 0-н-пропил-п-нитрофенил-метилфосфонатом (НФФ) с помощью дифференциального метода Рудакова 4 . Температура 25° С, рН 7, I, 0,04 М $_{
m Na}$ -веронал-НСІ буфер с содержанием I, I об.% этанола, $[{
m CAЧ}]=8,4\cdot {
m IO}^{-6}$ М, $[{
m HФФ}]=5,3\cdot {
m IO}^{-4}$ М.

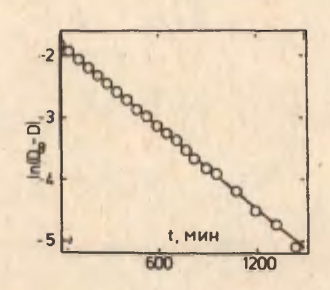


Рис. 2. Зависимость $\ln(D_{\infty}-D)$ от t для реакции специфического фосфонилирования одной функциональной группы в молекуле САЧ под действием НФФ в условиях большого избытка САЧ. Температура 25° C, рН 6,9, 0,04 М $_{\rm Na-Bepohan-HCI}$ буфер с соцержанием I,I об.% этанола, $_{\rm [HФФ]}=2$,I $_{\rm I}$ $_{\rm I}$ $_{\rm II}$ $_{\rm$

большого избитка НФФ. Как следует из соотношения наклонов на графике, начальная фаза реакции примерно в I6 раз бистрее последующей фазы ($\mathbf{k} = 8 \cdot 10^{-3}$ мин $^{-1}$ и $5 \cdot 10^{-4}$ мин $^{-1}$, соответственно). Экстраполяция $\ln \dot{\varphi}$ к $\tau = 0$ указывает на стехиометрическое выделение п-нитрофенола в первой фазе реакции между САЧ и НФФ (при $\tau = 0$ ln ($\varphi_{\infty} - \varphi_{\circ}$) $\mathbf{k} = \ln \dot{\varphi}$, откуда можно вычислить \mathbf{n}_{∞}). В ходе всей реакции выделялось примерно три моля п-нитрофенола на один моль САЧ.

Кинетика реакции между бычьим альбумином и $H\Phi\Phi$ была аналогична кинетике реакции между САЧ и $H\Phi\Phi$.

Для точного определения константы скорости первой реакции мы регистрировали кинетику процесса в условиях большого избытка САЧ по отношению к НФФ. Так как скорость первой реакции намного превышает скорость второй реакции, то наблюдаемая кинетика выделения п-нитрофенола в случае большого избытка САЧ практически соответствует кинетике первой реакции, и параметр D_{∞} может быть определен непосредственно из регистрируемой кинетической кривой в координатах D от t. Зависимость $\ln(D_{\infty}-D)$ от t, соответствующая кинетике первого порядка, приведена на рисунке 2. Обработка этих данных методом наименьших квадратов дала для реакции специфического фосфонилирования одной функциональной группы в молекуле САЧ бимолекулярную константу скорости $10,0 \pm 0,1$ М⁻¹мин⁻¹.

В нашей лаборатории ведется работа для выяснения взаимосвязи между этой реакцией и реакцией быстрого ацетилирования САЧ под действием НФА.

Литература

- 1. J.J.Bruno, H.J.Ringold, Fed. Proc., 28, 840(1969)
- 2. J.T.Tildon, J.W.Ogilvie, J.Biol.Chem., 247, 1265(1972)
- 3. G.E. Means, M.L. Bender, Biochemistry, 14, 4989(1975)
- 4. Е.С.Рудаков, Кин. и кат., I, 177(1960)

ВЛИЯНИЕ СТРУКТУРЫ АЛИФАТИЧЕСКИХ АМИНОВ НА ИХ АССОЦИАЦИЮ С ФЕНОЛОМ

С.В.Богатков, Л.В.Быстров, Р.И.Кругликова Московский институт тонкой химической технологии им. М.В.Ломоносова

Поступило 25 апреля 1978 г.

С помощью ИК-спектроскопии определены константы ассоциации $K_{\rm acc}$ фенола с 28 аминами. Показано, что зависимость $K_{\rm acc}$ от структуры амина описывается модифицированным уравнением Тафта, учитывающим индукционный и стерический эффекты, причем последний характеризуется изостерными константами $E_{\rm N}$.

Способность органических соединений образовывать водородную связь с каким-либо донором протона является важной характеристикой их основности. Ланные на этот счет опубликованы в больном числе оригинальных работ, обзоров и монографий (см. напр. 1-5), однако примеры детального анализа влияния структуры оснований на характеристики образуемой или Н-связи довольно редки. Так, линь в одной работе приведены экспериментальные данные по константам ассоциации фенола с большой серией алифатических аминов и сделана попытка их структурно-корреляционного анализа. Эти данные показывают, что и индукционный, и стерический эффекты существенно влияют на протоноакценторную способность аминов. Однако, при этом авторы использовали при опенке стерической доступности аминов суммирование Е_констант заместителей у атома азота. Этот методически неправомерный прием, по-видимому, явился причиной распадения корреляционной зависимости на три частных - для первичных, вторичных и третичных аминов. Подобное явление давно известно для протолитического равновесия аминов в воде и объяснялось сольватационными эффектами . В поомеднее время эта точка зрения была поставлена под сомнение 10 и, во всяком случае, она непригодна при рассмотрении образования Н-связи в ССІ $_{4}$, где сольватационные эффекты не должны быть значительными.

Характеристики "донорности" соединений различных классов приведени в², однако они не могут быть использованы для анализа в связи с некоторыми методологическими онибками, допущенными в этой работе. Так, корреляционные уравнения типа используемых в² корректно применять к величинам, имеющим размерность энергии (или свободной энергии) и к пропорциональным им величинам (например IgK); к константам ассоциации такой подход непримении. Кроме того, предложенное в² соотномение для Касс подразумевает независимость величин, характеризующих "донорность" (и "акцепторность") молекул, от партнера при образовании ведородной связи; экспериментальные данные (см., например⁴) показывают, что это не так.

В связи с вымензложенным была предпринята настоящая работа, целью которой являлось расмирение данных о константах ассоциации аминов с фенолом и поиск общего способа эписания их зависимости от структуры аминов.

ЭКСПЕРИМЕНТАЛЬНАЯ ЧАСТЬ

Исходные вещества и приготовление растворов. Выбор оптимальных условий эксперимента. Все амины (ом. табл.1) очищали фракционированием до совпадения их констант с приведенными в литературе^ж. Предельные амины перед приготовлением рабочих растворов перегоняли над КОН. Чистоту веществ контролировали методом ГХХ на приборе ХА-69, детектор-катарометр, газ-носитель — гелий, колонка 150х4 мм о ПЭГ-6000 на целите 545. Четырехлористый углерод очищали как описано в работе 11. Фенол марки «ч» перегоняли в вакууме (108°/58 мм), а затем кристаллизовали из н.-гексана.

^{*}Пропартиламины (№ 5, II, I2, I4, 20, 23) были получены и предоставлены нам В.М.Быстревым, за что авторы выражают свою благодарность.

Исходные растверы фенола в СС1₄ готовили в пикнометре (~100 мл) по весу фенола. Перед снятием спектра в пикнометр (~25 мл)^ж внесили микромприцем необходимый объем амина и разбавляли его раствором фенола из первого пикнометра. Так как объем амина составлял, как правило, менее 2,5% объема раствора фенола, разбавление последнего при этом не учитывали. Раствор амина для компенсации светопоглощения готовили аналогичным образом, разбавляя амин четыреххлористым углеродом.

Концентрацию фенола в рабочих растворах C_{AH}^0 варьировали от $8 \cdot 10^{-4}$ до $2 \cdot 6 \cdot 10^{-3}$ моль/л, концентрация амина C_D^0 была примерно в IO раз выше. Для рабочих концентраций первичных и вторичных аминов перед проведением основных измерений получали их ИК-спектры в области 3IOO-34OO см $^{-1}$ с целью проверки отсутствия возможной самоассоциации с участием NH- и NH_2 -групп.

Для уменьшения ощибки определения константы равновесия применяли своего рода планирование эксперимента (в отношении концентраций реагентов). Используя некоторые положения теории ощибок, можно показать, что предельная относительная погрешность измерения константы ассоциации E(K) зависит от предельных относительных погрещностей в определении концентраций C_{AH}^{O} , C_{D}^{O} и C_{AH} ($E(C_{AH}^{O})$, $E(C_{D}^{O})$, $E(C_{AH}^{O})$) в соответствии с уравнением (I):

$$E(K) = \frac{1}{2} \left| C_{AH}^{O}(cl + \omega) E(C_{AH}^{O}) + \left[(cl - \omega) C_{AH}^{O} - 1 \right] E(C_{AH}^{O}) - C_{D}^{O} cl E(C_{D}^{O}) \right|$$
(1)

^{*}Объем каждого пикнометра был измерен с точностью до четвертого знака после запятой.

жэтот раствор фенола использовали для приготовления рабочих растворов четырех различных аминов. Таким образом, проводя параллельные измерения (3-8 для одного амина), удавалось в некоторой мере устранить возможные систематические ощибки в приготовлении исходного раствора фенола.

где
$$d = 1/(C_D^0 - C_{AH}^0)$$
, $\omega = 1/C_{H}^{-3}$

Подставив в (I) конкретные экспериментальные значения C_{AH}° , C_{D}° , C_{AH} и C_{H} , можно получить численное выражение (2):

$$E(K) = {}^{\pm}0,965 | 2,62E(C_{AH}^{0})-2,46E(C_{AH}^{0})-E(C_{D}^{0}) | =$$
 (2)

Таким образом, существенный вклад в ошибку определения $K_{\rm acc}$ вносят как ошибка в определении начальной концентрации фенола, так и ошибка в определении его равновесной концентрации. В связи с этим нами была выбрана вышеописанная методика приготовления исходного раствора фенола, оказавшаяся оптимальной с точки зрения точности получаемой концентрации.

Для минимизации ошибки величины $C_{\rm AH}$ применялась специальная процедура подбора условий эксперимента. Известно 13 , что спектрофотометр типа UR-10 обеспечивает минимальную ошибку в определении концентрации, если оптическая плотность максимума соответствующей аналитической полосы поглощения равна 0,4343 (или близка к этому числу). Таким образом

$$C_{AH}^{opt} = \frac{0.4343}{\ell \ell} \tag{3}$$

Например, в данном эксперименте $c_{AH}^{opt} = 1,5 \cdot 10^{-3}$ моль/л; уравнение (3) получено из уравнения (8). Так как величина k_{acc} определяется выражением (4)

$$K_{acc} = \frac{C_H}{C_{AH}(C_D^0 - C_H)}$$
 (4)

где $C_H = C_{AH}^0 - C_{AH}$, то

$$c_{AH}^{o} = \left(\frac{c_{D}^{o}}{1/K_{acc} + c_{AH}} + 1\right)c_{AH} \tag{5}$$

^{*}Нижние индексы означают: D — электронодонор, AH — электроноакцептор, H — H—комплекс; верхний индекс ($^{\circ}$) ука—зывает на начальную, его отсутствие — на равновесную кон—центрацию.

жжДаны средние из 8-ми измерений коэффициенты при E(C).

Задавшись величиной $\mathbf{z} = \mathbf{C}_{\mathbf{D}}^{\bullet}/\mathbf{C}_{\mathbf{AH}}^{\bullet}$, ножно получить следующие формулы для расчета оптимальных исходных концентраций:

$$(C_{\underline{AH}}^{o})^{\text{opt}} = \frac{\beta C_{\underline{AH}}^{\text{opt}}}{\beta - z C_{\underline{AH}}^{\text{opt}}}, (C_{\underline{D}}^{o})^{\text{opt}} = z (C_{\underline{AH}}^{o})^{\text{opt}}$$
(6)

где β= 1/Kace+CaH

В ходе предварительного эксперимента были измерены константы ассоциации I2 аминов с фенолом и найдена приближенная зависимость

(овободный член регрессии незначим, коэффициент корредяции 0,91).

Уравнение (7) позволило прогнозировать ориентировочиме значения константы ассоциации фенола со следующими подлежащими исследованию аминами. Используя это предсказанное значение Касс, по формулам (6) расчитывали оптимальные исходные концентрации; преведя эксперимент и определив из него истинную величину константы равновесия, уточняли регрессионное уравнение (7), а затем повторяли указанную процедуру для следующего амина, реализуя таким образом в некотором смысле последовательное планирование эксперимента. При этом следует отметить, что, несмотря на приближенный характер зависимости (7), приводивнему к отличному от сорт экспериментальному значению равновесной концентрации фенола, величина оптической плотности максимума ла в спланированных таким образом экспериментах всегда лежала в пределах 0,3-0,7, приводя к ожибке в определении Сли не более 2,5%.

Методика спектральных измерений. Вычисление значений константы равновесия и энтальпии образования Н-комплекса. ИК-спектры регистрировали на спектрометре UR-10 с призмой Lif. Использовали неразъемные крветы толщиной 1 = I,5 см с оптическими стеклами, прозрачными в области 2500-4000 см, и снабженные термометрами. ИК-спектры трехкомпонентных смесей регистрировали при скорости сканирования 50 см / мин,

масштаб записи 32 мм/100 см⁻¹, спектральная ширина щели 4 см⁻¹ в области 3000-4000 см⁻¹. Ири этом выяснялось:

1). Степень перекрытости полосы $?_{OH}$ "свободного" фенола с полосой поглощения ассоциата $?_{OH}$ "(интенсивность пропускания света в минимуме между пиками должна быть более 92%);

2). Наличие нескомпенсированного поглощения воды (дублет 3615 и 3710 см⁻¹). Присутствие сигнала при 3615 см⁻ завышает оптическую плотность максимума полосы $?_{OH}$ фенола — выбранной аналитической полосы; во избежание этого интенсивность пропускания при 3710 см⁻¹ должна быть более 92% при 95%—ной "нулевой" линии. При выполнении указанных требований фиксировали волновое число, соответствующее максимуму $?_{OH}$ фенола и охлаждали кюветы примерно до 23°C. Затем их помещали в спектрометр и, когда под действием теплового луча температура раствора доходила до 25°C, измеряли процент пропускания (1), который использовали для вычисления равновесной концентрации "свободного" (неассоциированного) фенола по формуле (8):

$$C_{AH} = \frac{\lg(I_o/I)}{\ell \ell}$$
 (8)

где ϵ - коэффициент молекулярной экстинкции максимума полосы $\mathfrak{I}_{\mathrm{OH}}$ фенода, $\mathfrak{I}_{\mathrm{O}}$ - пропускание "нулевой" динии, ℓ - толщина кюветы.

Величина ϵ , равная I94,8 $^{\pm}$ 5,4 л/моль см $^{\pm}$ была определена из спектров "свободного" фенола по формуле ϵ = lg $(I_0/I)/(\ell_{C_{\Phi e Hona}})$ как среднее из 9 измерений, при этом $C_{\Phi e Hona}$ варьировалась от $8 \cdot I0^{-4}$ до 2,6 $\cdot I0^{-3}$ моль/л. ***

Константы ассоциации вычисляли по уравнению (4); полученные величины приведены в табл. I.

^{*}В этой работе для построения доверительных интервалов использовали 5%-ный уровень значимости.

жена основании этих же измерений была проведена проверка подчинения исследуемой системы закону Ламберта-Бера в указанных концентрациях.

Константы ассоциации фенола о аминами (ССІ₄, 25°) Таблица І

| | · · · · · · · · · · · · · · · · · · · | | Число | | |
|----|--|-------------|-------|-------|-----------------|
| Me | Амин | Касс л/моль | | Σσ | -E _N |
| | | | рений | | |
| 1 | (CH ₃) ₂ CHNH ₂ | 68,6±0,3 | 2 | 0,79 | 0,93 |
| 2 | CH3CH2CH2CH2NH2 | 95,6±3,4 | 9 | 0,85 | 0,4 |
| 3 | | 70,7±1,6 | 5 | 0,68 | 1,74 |
| 4 | CH2ªCHCH2NH2 | 44,21,7 | 3 | 1,19 | 0,2 |
| 5 | CH=CCH2NH2 | 21,1±1,1 | 5 | 1,74 | 0,65 |
| 6 | C ₆ H ₅ CH ₂ NH ₂ | 41,5+2,6 | 8 | 1,32 | 0,38 |
| 7 | (CH ₃ CH ₂) ₂ NH | 84,3+2,9 | 5 | 0,29 | 1,98 |
| 8 | (CH ₃ CH ₂ CH ₂) ₂ NH | 74,4+2,4 | 8 | 0,26 | 2,11 |
| 9 | [(CH ₃)2CHCH ₂]2NH | 32,5±2,0 | 3 | 0,24 | 2,47 |
| 10 | (UC6H11)2NH | 64,4+4,1 | 4 | 0,19 | - |
| 11 | CH≡CCH2NHCH3 | 26,9±2,9 | 4 | 1,25 | - |
| 12 | CH3CH2CH2NHCH2O=CH | 19,5±0,5 | 3 | 1,16 | - |
| 13 | (CH2=CHCH2)2NH | 29,5±1,7 | 3 | 0,91 | - |
| 14 | (CH=CCH ₂) ₂ NH | 8,5±1,0 | 4 | 2,01 | - |
| | C5H10NH | 126,3±2,1 | 8 | 0,35 | 0,79 |
| 16 | OC4H8NH | 54,0±2,6 | 11 | 1,16 | 0,79 |
| 17 | (GH3CH2)3N | 55,9±0,9 | 5 | -0,3 | 3,8 |
| 18 | (CH ₃ CH ₂ CH ₂) ₃ N | 13,4±0,9 | 6 | -0,35 | 4,1 |
| 19 | (CH3CH2CH2CH2)3N | 23,3±1,2 | 5 | -0,39 | 4,5 |
| 20 | CH≡CCH2N(CH3)2 | 23,4±0,2 | 5 | 0,76 | 1,8 |
| 21 | CH=CCH2N(CH2CH3)2 | 20,0±1,5 | 3 | 0,56 | 3,4 |
| 22 | (CH2=CHCH2)3N | 14,9±0,3 | 3 | 0,63 | 3,5 |
| | (CH≡CCH ₂) ₃ N | 4,1±0,3 | 4 | 2,28 | - |
| 24 | C6H5CECCH2N(CH2CH3)2 | 23,3 | 1 | 0,47 | 3,4 |
| 25 | C5H10NCH3 | 76,6±1,2 | 3 | -0,14 | 3,0 |
| 26 | C5H10NCH2C≡CH | 26,7±3,2 | 7 | 0,62 | - |
| 27 | C6H5CH2N(CH3)2 | 26,51,9 | 3 | 0,34 | 2,23 |
| 28 | C5H5N | 42,9±1,5 | 5 | 1,50 | 0,24 |
| | | | | | |

Тот же метод был использован для экспресс—определенжя энтальпии и энтропии образования H—связи. В данном случае кюветы охлаждались до 0° С, помещались в спектрометр и под действием N—луча нагревались там до $\sim 37^{\circ}$ С. Для несколь—ких выбранных значений температуры фиксировался процент пропускания в максимуме полосы \mathcal{O}_{OH} фенола. Затем кюветы нагревали до 50° С и в ходе спентанного охлаждения растворов в спектрометре до той же температуры ($\sim 37^{\circ}$ С) получали еще ряд значений I. При тех же значениях температуры проводили измерение "нулевой" линии. В ходе предварительного эксперимента была получена температурная зависимость коэффициента молекулярной экстинции. Исходя из этих данных, рассчитывали C_{AH} по формуле (8) и значения K_{acc} по формуле (4), а затем определяли ΔH_{acc} и ΔS_{acc} из регрессии I/T — R12

Как видно из табл.2, эти величины для систем фенолтриэтиламин и фенол-пиридин удовлетворительно совпадают с
большинством литературных данных. Суммарное время анализа
и обработки данных не превышало 40 мин. В расчет вводили IO
экспериментальных точек (пропускание при температуре от 0°
до 50°C с шагом 5°), каждая из которых определялась трижды
из параллельных температурных зависимостей. Результаты анализа обрабатывали на малой ЭВМ.

Расчет регрессионных уравнений. Расчет проводился методом наименьших квадратов. Данные для построения регрессии, соответствующей уравнению (14), центрировались относительно среднего и приводились к одному масштабу по формулам:

лам:

$$\vec{x}_{i,j} = (x_{i,j} - \vec{x}_{j})/S_{x_{j}}, \ \vec{y}_{i} = (y_{i} - \vec{y})/S_{y}$$
 (9)
 $j = 1, 2$
где $y_{i} = \lg(K_{acc})_{i}, x_{i,1} = (\sum_{G^{*}})_{i}, x_{i,2} = (K_{N})_{i}$
 \vec{x}_{j} и \vec{y} - средние по ансамоло данных,
 $S_{x_{j}} = \sum_{i=1}^{N} (x_{i,j} - \vec{x}_{j})^{2}, S_{y} = \sum_{i=1}^{N} (y_{i} - \vec{y})^{2}$ (10)
 $j = 1, 2$

Характериетнин водородной овнаи фенола є тризтиламином и пиридином (в ССІ₄)

Таблица 2

| E (T-pa B °C) | - OH | - ФЗ - ФЗ | Kacc, n/monb npm 25°C | Источ- ник Данных |
|---------------------------|----------|--------------------------|-----------------------------|-------------------------|
| AS TO THE | T | onstanamah Destanamah | 1 160 | |
| I 83,8(25) | - 1 | - | 83,8 | 15 |
| 2 89(25) | 9,2 | 21,7 | 89 | 16 |
| 3 73,6±1,7(20) | 8,35±0,5 | 20,0 [±] I,7 | 57,9 | 17 |
| 44,2 [±] I,9(30) | | | | |
| 27,4±0,9(40) | | | | |
| 4 57(25) | - | - | 57 | I8 |
| 5 90,9(20) | 7,8 | 17,7 | 72,6 | 19 |
| 26,2(50) | 1 11-1 | | | |
| 6 58(25) | - | - | 58 | 20 |
| 7 76(25) | 7,3 | I5,6 | 76 | 21 |
| 8 65,6(27) | - | - | 72,I* | 6 |
| 9 - | 8,2±0,I | - | - | 22 |
| IO 55,9±0,9(25) | 8,75±0,4 | 2I,4±I,3 | 55,9 | Эта ра |
| | | | | бота |
| | | Пиридин | | |
| I 64(25) | 7,5 | I7,2 | 64 | 23 |
| 2 59,8(20) | 7,0 | 15,6 | 48,9 | 19 |
| 19,7(50) | - | | | -101 |
| 3 52,1(20) | 6,5 | I4,4 | 42,2 | 17 |
| 4 59,8(20) | 6,5 | - | 49,6 | 24 |
| 5 59(20) | 6,5 | | 48,9 | 25 |
| 6 50(25) | 5,6 | II,I | 50,0 | 21 |
| 7 42,9±1,5(25) | 6,8±0,3 | 15,3 [±] 1,0 | 42,9 | Эта ра |
| | | The last | | бота |
| | | | | |

 $^{^{\}text{**}}$ Вычислено, используя $\Delta H = -8,3$ ккал/моль

Эта процедура приводила к оледующему уравнемию регрес-

 $\tilde{y}_1 = \tilde{b}_1 \tilde{x}_{11} + \tilde{b}_2 \tilde{x}_{12} + \tilde{1}_1$

где $1_1 = 1_1 S_y$ - ненаблюдаемая ошибка (остаток) в 1-той точке, 5_1 и 5_2 - параметры регрессии, подлежащие оцениванию.

Так как стандартизованные оценки коэффициентов регрессии b_1 и b_2 не зависят от маситабирования независимых переменных, с их помощью можно сравнивать в данной выборке вдияние каждого фактора на отклик. Переход к натуральным b-коэффициентам ($b_c = 1gK^0$, $b_1 = p^*$, $b_2 = \delta$) осуществиялся по формулам:

$$b_{j} = \tilde{b}_{j} \frac{S_{x_{j}}}{S_{y}}, j = 1, 2$$

$$b_{0} = \bar{y} - b_{1} \bar{x}_{1} - b_{2} \bar{x}_{2}$$
(12)

Подробнее о методе расчета см., напр., 14.

В качестве обобщенных характеристик регрессии использовали коэффициент множественной корреляции (R) и стандартное отклонение остатков (S). Адекватность уравнения опытным данным оценивали по величине F_{T,F} /уравнение (I3)/:

$$\mathbb{F}_{LF} = \frac{SS_{LF}}{SS_{PE}} \cdot \frac{\checkmark_{PE}}{\checkmark_{LF}} \tag{13}$$

где SS_{LF} и SS_{PE} — суммы квадратов, связанные с неадекватностью и "чистой ошибкой" (величину SS_{PE} находили из паражленьных измерений отклика), \mathcal{I}_{LF} и \mathcal{I}_{PE} — число соответствующих степеней свободы. Значимость коэффициентов оценивалась по t-критерию. Результаты расчетов сведены в табл.3.

ОБСУЖДЕНИЕ РЕЗУЛЬТАТОВ

Полученные нами значения К_{асс} (табл.1), как правило, несколько ниже, чем приведенные в работе⁶. С другой стороны, из табл. 2 можно видеть, что полученное нами значение К_{аос} для системы пиридин-фенол хорошо совпадают с большинством литературных данных. Данные, приведенные разными авторами для системы триэтиламин-фенол, сильно различаются

(табл. 2), однако надежные результаты Дункена и Фритцие^{17,18} хорошо совпадают с нашими. Это дает нам основание полагать, что достоверны и результаты, полученные нами для других систем.

Для оценки индукционного и стерического влияния структуры варьируемого амина на константу его ассоциации с фенолом мы использовали регрессионное уравнение (14):

$$lgK = lgK^{0} + \rho \cdot \Sigma G \cdot + \delta E_{N}, \qquad (14)$$

особенностью которого является применение параметров $\mathbf{E_N}$, характеризующих стерическую доступность амина в целом. Значения этих параметров для третичных аминов брались из работы²⁶, для аллиламина из работы²⁷. Для пропаргиламина величина $\mathbf{E_N}$ приравнивалась $\mathbf{E_S}$ для $\mathbf{CH} \equiv \mathbf{CCH_2O}$, найденной в работе²⁸, для остальных первичных и вторичных аминов \mathbf{RR} ин они приравнивались к константам $\mathbf{E_S}$ Тафта для изостерных углеводородных радикалов \mathbf{RR} $\mathbf{CH_{3O}}$. Величина \mathbf{G} для $\mathbf{CH_2} = \mathbf{CHCH_2}$ (0,21) взята из работы²⁹, остальные значения \mathbf{G} из \mathbf{G} 0.

Расчет по всей выборке аминов, для которых известны или мегут быть оценены $\Sigma_{\text{G}}^{\bullet}$ и \mathbf{E}_{N} (20 соединений), показал значимость всех коэффициентов уравнения (I4) (ρ^{\bullet} , δ) и регрессии в целом, \mathbf{E}_{N}^{\bullet} однако значительную степень неадекватности опытным данным (\mathbf{F}_{LF} = 192). Величины н и в также нельзя считать удовлетворительными (табл. 3, строка I). Это явление, по-видимому, связано с двумя причинами. Прежде всего, необходимо обратить внимание на высокую степень закоррелированности переменных ($\Sigma_{\mathbf{G}}^{\bullet}$ и \mathbf{E}_{N}^{\bullet}). К сожалению, такая ситуация вообще характерна для задач подобного рода (см. например 3I , 32) и связана с практической невозможностью построения ортогонального плана эксперимента. В нашем

^{*}Мы использовали \mathbb{P} -критерий для оценки значимости регрессии ($\mathbb{H}_0: \beta_1 = \beta_2 = 0$, $\mathbb{H}_1: \beta_1 \neq 0$ или $\beta_2 \neq 0$) и \mathfrak{t} -критерий для оценки значимости коэффициентов \mathfrak{b}_1 ($\mathbb{H}_0: \beta_1 = 0$, $\mathbb{H}_1: \beta_1 \neq 0$ $\mathfrak{f}_2 = 0$.

случае, в частности, переход от первичных аминов ко вторичным и третичным сопровождается скачкообразным уменьшением \mathbb{Z} и увеличением \mathbb{Z}_N , в то время как в пределах каждого типа аминов диапазон варьирования переменных не сличком широк (имеертся в виду амины, для которых известны и \mathbb{Z}_N и \mathbb{E}_N).

С другой стороны, анализ остатков модели I (табл. 3) показывает аномально большие значения остатков для точек, COOTBOTCTBYDMUX $(C_3H_7)_3N$ (2,3S) u $C_6H_5CH_2N(CH_3)_2$ (1,7S). Исключение их из выборки существенно улучшает характеристики регрессии (строка 2 в табл. 3), в то же время коэффициенты уравнения практически не меняются. Аналогичные результаты получаются, если проделать такую же процедуру (исключение точек с |1, | > 2S) еще несколько раз. Для модели 3 (табл. 3, строка 3), построенной по 13 точкам, наблюдаются значительно душие статистические характеристики, в том числе уменьшается коэффициент взаимной закоррелированности между факторами и, что весьма важно, отношение неадекватности понижается от 192 до 16,5, хотя гипотеза о неадекватности опыту еще не отвергается по F-критерию на 5%-ном уровне. Величины коэффициентов уравнения попрежнему остаются практически неизменными, и, кроме того, при изменении объема выборки соотношение влияния стерического и индукционного эффектов также примерно одинаково. Распадение на подсерии (первичные, вторичные и третичные амины), как показывает анализ остатков моделей, не фиксируется ни для одной выбор-KM.

В целом, таким образом, можно сделать вывод, что уравнение (I4) пригодно для описания констант ассоциации фенола (и очевидно других спиртов) с алифатическими аминами, при этом использование стерических констант в впервые позволило получить единое выражение для аминов всех степеней запрещенности.

Более того, оказывается, что если использовать значения Σ (1,5) и $E_{\rm H}$ (-0,24) для пиридина, недавно предложенные Поповым и Гельбиной 35 , то полученное нами уравнение позволило вычислить константу ассоциации пиридина с фено-

Параметры регрессии (14)

Таблица 3

| | 4 | 0,85 | 0,92 | 96 0 |
|---------|--|---|---|---|
| | מ | 0,15 | II.0 | 0 05 |
| | LIF | 192 | 16 | I6, 5 |
| | 8(62) | 0,04 | 0 05 | 10°0 |
| vo | P2 | 0,32 | 0,30 | 0,275 |
| | ₹ 2 | I.5 | I.5 | I,3 |
| | 8(b1) | 80*0 | 0,05 | 0,02 |
| 9 | b ₁ 8(b ₁) b ₂ b ₂ 8(b ₂) LIF | -0,59 | 0,792,610,04 -1,3 -0,6250,05 1,50,30 0,02 91 0,11 0,92 | -0,62 |
| | الم | -I,2 | -I,3 | -I,35 |
| 0 | bo B(bo) bq | 0,06 | 0,04 | 0,02 |
| ler aco | o _o | 2,59 | 2,61 | 2,60 |
| | H | 0,83 | 62.0 | 0,72 |
| Виборка | r (nemera amendo no | I, 2, 3, 4, 5, 6, 7, 8, 9, 15, 16, 17, 18, 19, 1 20, 21, 22, 24, 25, 27 (Bosro 20 rouse) | 1, 2, 3, 4, 5, 6, 7, 8, 6, 9, 15, 16, 17, 19, 20, 21, 22, 24, 25 (Вовго 18 точек) | I, 2, 5, 6, 7, 8, 15, 3 16, 17, 21, 22, 24, 25 0,72 2,60 0,02 -1,35 -0,62 0,02 1,3 0,275 0,01 16,5 0,05 0,98 (Bosro 13 Toyek) |

S(b_j) - отандартную ошибку ј-того коэффициента регресоии; оотальние обозначе-Примечание: эдесь в сэначает частний коэффициент корредяции между факторами де и ви

лом (40,0), хорошо совпадающую с экспериментальной величиной $(42,9^{\pm}1,5)$.

ЛИТЕРАТУРА

- Дж.Пиментел, О.Мак-Кледдан, Водородная связь, М., "Мир". 1964.
- 2. В.А. Тереньтьев, Термодинамика водородной связи, Изд-во Саратовского ун-та, 1973.
- 3. И.А.Коппель, А.И.Пар, Реакц.способн.орг.соедин., <u>II</u>, I2I (1974).
- 4. R.W.Taft, D.Gurka, L.Joris, P.Schleyer, I.W.Rakahys, J.Am.Chem.Soc., 91, 4801 (1969).
- E.M. Arnett, E.I. Mitchell, T.S.S.R. Murty, J. Am. Ghem. Soc., 96, 3875 (1974).
- 6. D. Clotman, T. Zeegers-Huyskens, Spectrochim. Acta, 234, 1627 (1967).
- 7. С.В.Богатков, А.Ф.Попов, Л.М.Литвиненко, Реакц.способн. орг.соедин., 6. IOII (1969).
- 8. H.K.Hall, J.Am. Chem. Soc., 79, 5441 (1957).
- 9. A.F. Trotman-Dickenson, J. Chem. Soc., 1949, 1293.
- А.Ф.Попов, Ж.П.Гельбина, Л.М.Литвиненко, Доклады АН
 СССР, 226, II2I (1976).
- А.Вайсбергер, Э.Проскауэр, Д.Риддик, Э.Тупс, Органические растворители, М., ИЛ, 1958.
- 12. Х.Н. Сотская, А.С. Кузнецов, Обработка результатов лабораторных измерений, Минск, "Вышэйшая школа", 1971.
- 13. Optimum Parameters for Spectrophotometry, N.-Y., Varian, 1973.
- 14. Н.Дрейпер, Г.Смит, Прикладной регрессионный анализ, М... "Статистика". 1973.
- 15. S. Nagakura, M. Gouterman, J. Chem. Phys., 26, 881 (1957).
- M. D. Joeaten, R. A. Drago, J. Am. Chem. Soc., <u>84</u>, 3817 (1962).
- 17. H. Dunken, H. Fritzache, Z. Chem., 1, 127, 249 (1961).
- 18. H. Dunken, H. Fritzache, Z. Chem., 2, 345 (1962).
- 19. T. Gramstad, Acta Ghem. Scand., 16, 807 (1962).

- 20. S. Singh, A. S.N. Marty, C.N. R. Rao, Trans. Farad. Soc., 62, 1056 (1966).
- 2I. В.В. Тарков, Ф.А. Титинкина, Ф.А. Тохова, ТФХ, 44, 223 (1970).
- 22. T.-P. Dupont, D. Weerinck, L. Lamberts, Ann. Chia., 8, 21 (1973).
- 23. T. Grametad, G. Aksness, Acta Chem. Scand., 14, 1485 (1960).
- 24. T.M. Barakat, M.Y. Welson, S.M. Welson, A.D. B. Pallin, Trane. Farad. Soc., 62, 2674 (1964).
- 25. J. Rubin, B. Z. Senkowsky, G. S. Panson, J. Phys, Chem., <u>68</u>, 1601 (1964).
- 26. С.В.Богатково Н.А.Белова, С.С.Медведъ, Реакц. способн. орг. соедн., 12, 275 (1975).
- 27. Т.П.Гельбина, А.Ф.Попов, Л.М.Литвиненко, Доклады АН СССР, 203, 343 (1972).
- 28. Л.Г.Бабаева, С.В.Богатков, Р.И.Кругликова, Б.В.Унковский, ЖОРХ, 12, 1738 (1976).
- 29. И.А.Коппель, М.М.Карельоон, В.А.Пальм, Реакц. способн. орг. соед., II, 99 (1974).
- 30. Справочник химика, М.-Л., "Химия", 1965, т. 3.
- 31. Б.И.Истомин, В.А.Баранский, А.Д.Лобанов Е.Ф.Гречкин, Реакц.опособн.орг.соед., <u>12</u>, 69 (1975); С.А.Пивоваров, В.Ф.Селиванов, Б.В.Гидаспов, там же, 307.
- 32. С.В.Богатков, Реакц. опособн. орг. соед., <u>14</u>, 159 (1977).
- 33. А.Ф.Попов, І.П.Гельбина, Реакц.способн.орг.соед., <u>14</u>, 151 (1977).

УДК 541.133:546.II

ЗАВИСИМОСТЬ ДИФФЕРЕНЦИАЛЬНО-КОНДУКТОМЕТРИЧЕСКОГО ЭФФЕКТА ОТ СТРУКТУРЫ СИЛЬНЫХ ОСНОВАНИЙ.

IV МЕТИЛЗАМЕЩЕННЫЕ АММОНИЕВЫЕ ИОНЫ В ВОДНЫХ РАСТВОРАХ ХЛОРНОЙ КИСЛОТЫ.

D. Л. Халдна, Я. D. Вене, Л. P. Орасте

Тартуский государственный университет Кафедра аналитической химии, Тарту, Эст. ССР

Поступило 28 апреля 1978 г.

Измерена зависимость дифференциально-кондуктометрического эффекта ($y = \triangle^{3}/c$) для (CH_3) $_3$ NHClO $_4$, (CH_3) $_3$ NH , (CH_3) $_2$ NH2ClO $_4$, (CH_3) $_3$ NH , (CH_3) $_2$ NH2ClO $_4$, (CH_3) $_3$ NH , (CH_3) $_2$ NH2ClO $_4$ и CH_3 NH2 от концентрации водных растворов хлорной кислоты. Показано, что добавление к водным растворам HClO $_4$ свободного основания или соответствующего перхлората приводит к одинаковым зависимостям $y = P(\% \text{HClO}_4)$. Проведен анализ зависимостей $y = P(\% \text{HClO}_4)$ для ионов CH_3 NH3 $^+$, (CH_3) $_2$ NH2 $^+$, (CH_3) $_3$ NH $^+$ и (CH_3) $_4$ NH $^-$. При этом использовалась модель М. Карельсона, согласно которой каждая растворенная частица окружена слоем переструктурированной воды и попадание ионов электролита в этот слой лишает их возможности участвовать в процессе электропроводности. Определены объемы слоя переструктурированной воды на г-ион вышеуказанных заряженных частиц.

В предыдущих сообщениях 1,2 приведены зависимости дифференциально-кондуктометрического эффекта ($y = \frac{\Delta W}{c}$) от концентрации водных растворов хлорной кислоты, характеривуршие замену небольшого количества Н+-ионов на этилзамещенные аммониевые ионы. В настоящей работе измерены аналогичные зависимости для метилзамещенных аммониевых ионов (см. табл. І). Дифференциально-кондуктометрический эффект метилзамещенных аммониевых ионов измерялся путем добавления к водным растворам клорной кислоты как свободных оснований (CH3NH2 , (CH3)2NH , (CH3)3N M (CH3)4NOH1), THE M COOTветствующих солей ($CH_3NH_3C1O_4$, (CH_3) $_2NH_2C1O_4$, (CH_3) $_3NHC1O_4$ и (CH_3) $_4NC1O_4$). Методика вычисления значений у = Δ^{22} /с для двух указанных вариантов эксперимента изложена в работах. 1,3,4 Из рис. 1-3 видно, что добавление к водным растворам хлорной кислоты свободных оснований и соответствующих солей приводит к совпадающим зависимостям у = $= \mathcal{C}(\% \ \text{HCIO}_h)$. Этот факт подверждает вывод, сделанный в работах 1,2 о независимости значений у от метода проведения эксперимента. Следовательно, рассматриваемые зависимости $y = \rho(\% \ \text{HCIO}_h)$ объективны и могут служить источниками информации о сольватации соответствующих ионов.

На рис. 4 показаны зависимости у = $\mathcal{O}(\% \text{ HCIO}_4)$ для метилзамещенных аммониевых ионов. Из этих данных видно, что при
заданной концентрации хлорной кислоты дифференциально-кондуктометрический эффект (у = $^{^{^{^{\prime}}}}$ /с) увеличивается по мере
замещения атомов водорода на метильные группы. В рамках подхода, изложенного в работе м.м. Карельсона, это явление
объясняется увеличением размеров соответствующих ионов, что
в свою очередь приводит к росту сбыма переструктурированного слоя воды вокруг каждого иона. Ионы электролита, попавшие в слой переструктурированной воды не участвуют в электропроводности раствора. Естественно, чем больше обыем этого слоя ($_{\rm g}$), тем больше и наблюдаемый дифференциально-кондуктометрический эффект :

$$10^{3} \cdot y = \varkappa V_{s} + \lambda_{H} + - \lambda_{BH} + \tag{1}$$

Дифференциально-кондуктометрический эффект у = $\Delta \mathcal{X}$ /с

Таблица І

при добавлении свободных оснований и соответствующих солей хлорной кислоты к водным растворам НСІО₄

| y•10 ³ | % HCIO ₄ | y•10 ³ | % HCIO4 | y•10 ³ | % HCIO ₄ |
|---------------------------------|---------------------|-------------------|---------------------------------|---------------------------------|---------------------|
| CH ₃ | NH ₂ | CH ₃ N | H ₃ C10 ₄ | (CH ₃ |) ₂ NH |
| 4,4 | 296 | I,0 . | 334 | 1,3 | 273 |
| 9,9 | 199 | 4,7 | 286 | 5,0 | 256 |
| 13,7 | 224 | 10,6 | 226 | 10,2 | 240 |
| 18,1 | I6I | I4,8 | 216 | 13,3 | 238 |
| 20,0 | I54 | 19,4 | I94 | 19,4 | I84 |
| 25,4 | I42 | 25,7 | I69 | 27,4 | 130 |
| 42,8 | IOI | 30,5 | I47 | 34,7 | 123 |
| 43,9 | 93 | 35,7 | 132 | 43,4 | I42 |
| 49,5 | 85 | 43,0 | 89 | 51,7 | IIO |
| 54,6 | 86 | 50,6 | IOI | 58,3 | 107 |
| 58,2 | 69 | 58,3 | 87 | | |
| (CH ₃) ₃ | NHC104 | (CH | 3)3N | (CH ₃) ₂ | NH20104 |
| I,I | 317 | I,3 | 252 | I,I | 338 |
| 5,0 | 287 | 5,7 | 212 | 5,9 | 295 |
| 10,2 | 266 | 11,5 | 252 | 13,0 | 242 |
| 16,7 | 270 | 17,7 | 187 | 20,8 | 260 |
| 23,9 | 207 | 37,2 | 161 | 28,2 | 205 |
| 31,4 | 219 | 42,3 | I60 | 38,3 | 138 |
| 37,2 | 201 | 48,7 | I40 | 43,2 | I23 |
| 51,3 | 138 | 58,2 | I46 | 52,5 | 63 |
| 58,2 | I 29 | P | | Limit | |

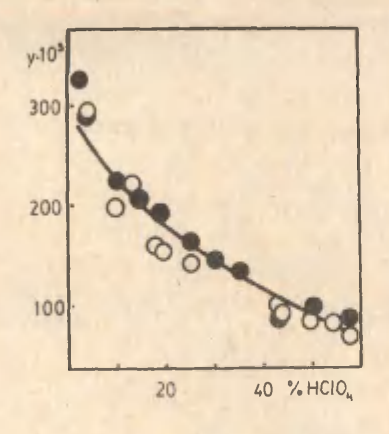


Рис. I. Зависимость дифференциально-кондуктометрического эффекта у = ^ с от концентрации хлорной кислоты:

O - CH3NH2

- CH3NH3C104

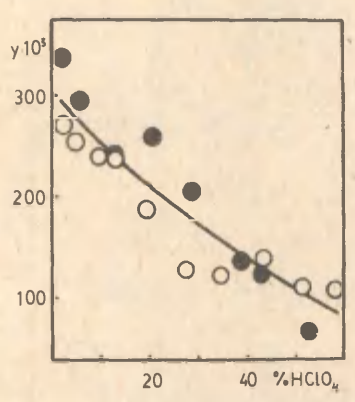


Рис. 2. Зависимость дифференциально-кондуктометрического эффекта $y = \frac{\Delta N}{C}$ от концентрации хлорной кислоты:

O - (CH3)2NH

- (CH₃)2NH2C104

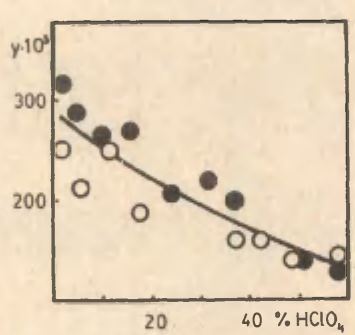


Рис. 3. Зависимость дифференциально-кондуктометрического эффекта $y = ^{\Delta N}$ /с от концентрации хлорной кислоты:

 $O - (CH_3)_3N$

• - (CH₃)₃NHClO₄

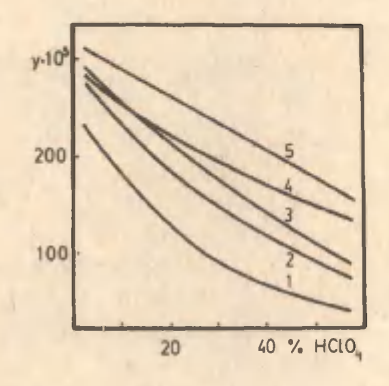


Рис. 4. Зависимость дифференциально-кондуктомет-рического эффекта у от концентраций HCIO₄:

1 - NH₄
2 - CH₃NH₃
3 - (CH₃)₂NH₂
4 - (CH₃)₃NH⁺
5 - (CH₃)₄N⁺
1

Нами вычислены зависимости $v_s = 7(\% \text{ HCIO}_4)$ для мстилзамещенных аммониевых ионов (см. рис. 5) 2 :

$$V_{g} = \frac{1}{2} (10^{3} \cdot y - \lambda_{H}^{+} + \lambda_{RH}^{+})$$
 (2)

Значения $\lambda_{\rm H}$ + для 0-40 % HCIO₄ взяты из работы , а для интервала 40-55 % HCIO₄ они вычислены методом, изложенным в работе. Зависимость $\lambda_{\rm BH}$ + от концентрации хлорной кислоты задавалась приближенным уравнением, рассмотренным в работе. При этом принимались следующие значения $\lambda_{\rm BH}$ + при бесконечном разбавлений: 58,7 для $c_{\rm H_3}$, 51,8 для $c_{\rm H_3}$, $c_{\rm H_3}$ и 47,2 для $c_{\rm H_3}$, $c_{\rm H_3}$

Известно, что ион аммония гидратирован отрицательно 2,8 , т.е. имеет $v_{\rm g} < 0$. Для иона сн_NH₃ $^+$ объем $v_{\rm g}$ близок к нулю (см. рис. 6). Это указывает на то, что этот ион окружен слоем воды, где в среднем $\lambda_{\rm HCIO_4}$ приблизительно такой же, как и в массе воды. Значения $v_{\rm g} > 0$ для ионов (CH₃) $_{\rm 2}$ NH₂ $^+$, (CH₃) $_{\rm 3}$ NH $^+$ и (CH₃) $_{\rm 4}$ N $^+$ (см. рис. 6) говорят

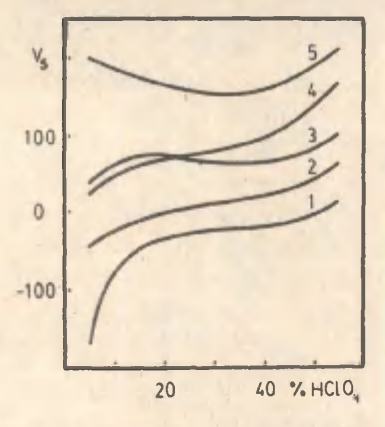


Рис. 5. Зависимость V₈ (2) от концентраций HCIO₄: 1 - NH₄⁺ 2 - CH₃NH₂⁺ 3 - (CH₃)₂NH₂⁺ 4 - (CH₃)₃NH⁺ 5 - (CH₃)₄N⁺ 1

о том, что эти ионы окружены слоем воды, где эквивалентная электропроводность хлорной кислоты меньше, чем в остальной воде. Причина этого эффекта рассмотрена в работе 2 . Поскольку объем метильной группы меньше, чем этильной группы, то следует ожидать, что первый окружен меньшим объемом переструктурированной воды, чем второй. Так оно и есть. Сравнение значений $V_{\rm g}$ для метил — и этилэамещенных аммониевых ионов позволяет заключить, что при всех остальных равных условиях значения $V_{\rm g}$ для метилэамещенных аммониевых ионов меньше, чем для аналогичных этилэамещенных ионов.

Экспериментальная часть

Метиламин водный "ч" очищался перегонкой раствора. Собиралась франция, содержащая 21,81% $_{2}^{NH}$ (по массе, $_{3}^{25} = 0.941$ г см $_{3}^{3}$).

Метиламмоний хлорнокислый синтезировался исходя из вышеуказанного раствора метиламина и 58,25% НСІО₄ (по массе) марки "х.ч.". Препарат осушался при комнатной температуре. Найдено %: С 9,46; Н 4,68; N 10,76. Вычислено %: С 9,13; Н 4,60; N 10,65. Диметиламмоний водный "ч" был очищен перегонкой. Собиралась фракция, содержащая 20,04% (СН₃) NH (по массе, $d_n^{25} = 0,950$ г см⁻³).

Диметиламмоний хлорнокислый синтевировался исходя из 20,04% (СН₃)₂NH (по массе) и раствора хлорной кислоты. Препарат осущался при 50⁶C.

Триметиламмоний водный "ч" перегонялся. Собиралась фракция, содержащая 14,91% (СН $_3$) $_3$ N (по массе, $d_4^{25}=0,955$ г см $^{-3}$),

Триметиламмоний хлорнокислый синтезировался исходя из I4,91% (СН₃)₃N (по массе) и раствора хлорной кислоты. Препарат осумался при 50°C.

Концентрация хлорной кислоты определялась методом весового титрования по буре. Концентрации растворов всех использованных оснований устанавливались тем же методом весового титрования по хлорной кислоте.

Водные растворы хлорной кислоты приготовлялись из концентрированной хлорной кислоты марки "х.ч." и бидистиллированной воды.

Использовались аппаратура и методика дифференциально-кондуктометрических измерений, описанные в предыдущих сообщениях. 1,3,4

Литература

- I. D. Л. Халдна, Л. Р. Орасте, П. Х. Грихин, Реакц. способн. орг. соед., <u>14</u>, 3 (51), 348(1977).
- 2. D. Л. Халдна, Л. Р. Орасте, Реакц. способн. орг. соед., <u>14</u>, 3 (51), 357 (1977).
- 3. Ю. Л. Халдна, В. А. Пальм, ДАН СССР, 135, 667 (1960).
- 4. D. Л. Халдна, X. И. Куура, K. физ. химии, 41, 2787 (1967).
- 5. М. М. Карельсон, Реакц. способн. орг. соед., <u>13</u>, 4 (48), 541 (1976).
- 6. R. Haase, P. F. Sauermann, K. H. Drücker, Zeitschr. für Physik. Chemie, Fr. a. M., 43, 218 (1964).

- 7. Р. Робинсон, Р. Стокс, Растворы электролитов, Изд. ИЛ, Москва, 534 (1963).
- 8. Т. Эрдей-Груз, Явления переноса в водных растворах, Мир, Москва,74 (1976).

УЛК: 547.341

РЕАКЦИОННАЯ СПОСОБНОСТЬ "ІИКЛИЧЕСКИХ ПРОИЗВОДНЫХ КИСЛОТ ФОСФОРА. КОНСТАНТЫ ИОНИЗАЦИИ β -дитиофосфорилированных пропионовых кислот и их реакционная способность в РЕАКЦИИ С дифенилдиазометаном

В.В.Овчинников, Л.В.Костакова, Р.А.Черкасов, А.Н.Пудовик

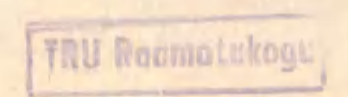
Казанский государственный университет им. В.И.Ульянова-Ленина

Поступило 15 мая 1978 г.

Определены константы ионизации циклических и ациклических β -дитиофосфорилированных пропионовых кислот в водном(1:1 по объёму) этаноле и константы скоростей реакций с дифенилдиазометаном в толуоле при 25° . На основании этих данных рассчитаны 6° и 6_{I} константы для заместителей ABP\$\$CH₂CH₂. Показана большая акцепторная способность фосфолановых производных по сравнению с шестичленными циклическими и ациклическими аналогами.

Проведенные нами ранее исследования реакционной способности циклических дитио- и монотиофосфатов [1-3] и изучение их кислотных свойств [4,5] позволили охарактеризовать циклические заместители у атома фосфора как достаточно сильные акцепторы. Эти выволы хорошо согласуются с результатами других исследователей [6-9]. Акцепторная способность диокси-алкиленовых заместителей, по-видимому, связана с меньшим $\mathbf{p_T} - \mathbf{d_T}$ -донорным влиянием кислородов цикла на атом фосфора по сравнению с атомами кислородов в \mathbf{R} -0- \mathbf{P} -фрагментах [1]. Была дана также количественная оценка (\mathbf{G}^{Φ}) их влияния в рамках коррел дионного анализа [4].

Недавно было показано [10,11], что 6^{Φ} брутто-константы имеют сложный характер и включают в себя составляющие индук-



цмонного, резонансного и стерического влияний. Это должно быть справедливо и в отношении диоксиадкиленовых групп у атома фосфора, хотя и не исключено, что в циклических заместителях, наряду с перечисленными выше эффектами, в определенной степени могут проявляться гиперконъргационное и полевое влияния.

Оценка относительных вкладов каждого из этих эффектов с целью количественного сопоставления их с аналогичными параметрами для ациклических заместителей в фосфорорганических соединениях (ФОС) в настоящее время ещё достаточно трудна.

В самих циклических ФОС существуют существенные различия между пяти- и шестичленными циклоаналогами. Известно. что константа ионизации кислотной группы, связанной с циклом, существенно зависит от её пространственной ориентации [12]. Так, исследование протонодонорных свойств циклических дитиокислот фосфора R PSSH показало, что пятичленные шиклические производные имеют несколько большие величины рк, чем их шестичленные циклоаналоги[4]. В то же время, ядра фосфора в фосфолановых производных резонируют в более слабых полях (-97 : -109 м.д. поля относительно 85% НаРОл) по сравнению с фосфоринановнии (-82 + -89 м.д.) [13], что является свидетельством большей акцепторности пятичленного цикла. По-видимому, в пятичленных циклических литиокислотах фосфора акцепторный эффект заместителя не проявляется в должной степени из-за конформационных особенностей: цис-ориентация экзоциклических S-H и P=S-групп [14]. Это приводит к значительному экранированию протона в триаде РССИН и, следовательно, меньшей кислотности фосфолановых дитиоаналогов по сравнению с шестичленными циклодитиофосфа-Tamu.

Удаление кислотной группы от заместителя, например в β - дитиофосфорилированных пропионовых кислотах, должно изменить их взаимную ориентацию в пространстве и способствовать выявлению действительной электронной природы 1,3,2-диоксафосфолановых заместителей. Вместе с тем, изучение кислотных свойств соединений этого типа позволит определить индукцион-

ное влияние АВР\$3 СН2СН2 -группировок.

Экспериментальная часть

Дитиофосфорилированные пропионовые кислоты были синтезированы взаимодействием эквимолекулярных количеств дитиокислот фосфора и акриловой кислоты. Реакции присоединения проводились при комнатной температуре и сопровождались разогреванием реакционной смеси до 40-90°С. Смесь выдерживалась в течение нескольких часов при 70-90° и подвергалась очистке многократной молекулярно-пленочной разгонкой в случае жидких веществ или перекристаллизацией — в случае кристаллических соединений (таблица 1). Их-спектры полученных соединений содержат полосы в областях 1720-1760 (остроя обрастно обрастн

Известно, что дитиокислоть фосфора присоединяются к непредельным соединениям в β-положение по отношению к активирующему электроноакцепторному заместителю у двойной связи [15]. Характер ориентации дитиофосфорильной группы также показан нами на следующих модельных реакциях A и Б:

Вещества, полученные обоими путями, идентичны по составу и константам.

Дитиофосфорилированные пропионовые кислоты нерастворимы в воде, но хорошо растворимы в водных спиртах и органических растворителях. Константы ионизации всех соединений (табл. 2) определены методом потенциометрического титрования на приборе "рН-340" в водном (I:I по объему) этаноле при 25±0.5°С в атмосфере аргона. Остировку рН-метра проводили по стандартным буферам. Предварительное определение рК_в бензойной кислоты

Таблица 1 Характеристика дитиофосфорилированных пропионовых кислот и их этиловых производных ABP\$SCH $_2$ COOR.

| A | B | R | Т _{кип.} °С ! | a' 20 | 20 n _p |
|-------------------------------|-------------------------------|-------------------------------|------------------------|--------|----------------------|
| C ₆ H ₅ | C ₆ H ₅ | Н | Тпл.=99-100° | - | - |
| C ₂ H ₅ | C2H5 | Н | 92-95(0,07) | 1,2150 | 1,5491 |
| i C3H7 | ic3H7 | Н | Тпл.=96-970 | | |
| CH3 | C3H70 | Н | 107-110(0,07) | 1,2160 | 1,5273 |
| C2H5 | C3H70 | Н | 96-98(0,07) | 1,1820 | 1,5198 |
| C3H70 | C3H70 | Н | 103-104(0,05) | 1,1904 | 1,5080 |
| i C4HgO | iC4H90 | Н | 109-110(0,04) | 1,1197 | 1,4965 |
| 1 | _0 _0 | Н | 191-193(0,09) | 1,2105 | 1,4940 |
| | | Н | 182-185(0,08) | 1,3310 | 1,5396 |
| X | _0 _0 | Н | Тпл.=91-92° | - | |
| X | _0 x) | C ₂ H ₅ | 139-141(0,4) | 1,2208 | 1,5300 |
| X | _0 xx) | C ₂ H ₅ | 140-143(0,5) | 1,2150 | 1,5275 |

х)Получено по реакции А; хх)Получено по реакции Б.

Продолжение таблицы 1

|] | Найдено | | | | Вычисл | өно |
|--------|---------|-------|--|-----------------|--------|-------|
| MR | Г-экв. | %P | -! Формула ! | MR _D | Г-экв. | %P |
| | 320 | 8,72 | C ₁₅ H ₁₅ O ₂ PS ₂ | - | 322 | 9,63 |
| 59,18 | 227 | 12,76 | C7H15O2PS2 | 60,49 | 226 | 13,72 |
| 4 - 1 | 257 | 11,79 | C9H19O2PS2 | | 254 | 12,20 |
| 61,25 | 232 | 11,91 | C7H15O3PS2 | 61,10 | 242 | 12,81 |
| 65,88 | 245 | 11,50 | C8H17O3PS2 | 66,23 | 256 | 12,11 |
| 71,61 | 275 | 10,55 | C9H19O4PS2 | 71,97 | 286 | 10,84 |
| 82,41 | 314 | 8,82 | C ₁₁ H ₂₃ O ₄ PS ₂ | 81,21 | 314 | 9,87 |
| 68,30 | 279 | 11,08 | C9H17O4PS2 | 69,21 | 284 | 10,91 |
| 60,31 | 254 | 11,95 | C7H13O4PS2 | 60,54 | 256 | 12,11 |
| 177-17 | 274 | 11,52 | C8H15O4PS2 | - | 270 | 11,48 |
| 75,40 | - | 10,68 | C ₁₀ H ₁₉ O ₄ PS ₂ | 74,76 | - | 10,40 |
| 74,92 | - | 10,05 | C ₁₀ H ₁₉ O ₄ PS ₂ | 74,76 | 1 | 10,40 |

 $(5,67\pm0,05)$ показало хорошую сходимость с литературными данными (5,73) [16]. Отклонения в каждом отдельном и параллельных опытах не превышали 0,05 е дениц pK_8 .

Кислоты энергично взаимодействуют с дифенилдиазометаном (ДДМ) с количественным вытеснением азота, который легко фиксировать во времени с помощью автоматической газовой бюретки с самописцем. Условия кинетического исследования реакций дитиофосфорилированных пропионовых кислот с ДДМ были выбраны аналогичными приведенным в работе [17]: концентрация ДДМ составляла 0,006 М, кислоты — 0,06 М; $T=25+0,05^{\circ}$ С, толуол. Полученные результаты обрабатывались в координатах (объем выделившегося азота) — T (время). Константы второго порядка (табл.2) находились делением величин констант псевдопервого (t_1^{25}) порядка на величину исходной концентрации кислоты. Определение константы скорости реакции бензойной кислоты с ДДМ ($t_2^{25}=0,62+0,03$ моль мин) показало хорошее соответствие приведенной в работе [17] величине ($t_2^{25}=0,642$ моль мин). Погрешность в определении величин $t_1^{25}=0,642$ моль мин) показало кинетики газоволюмометрическим методом не превышала $t_1^{25}=0,642$

Обсуждение результатов

В целях детального сопоставления электронных характеристик дитиофосфорильных группировок, включающих как ациклические, так и диоксиалкиленовые заместители у атома фосфора дитиофосфорилированных пропионовых кислот, были определены их константы иониазции в водном(1:1 по объему) этаноле (соед. I-X, табл.2). Поскольку стандартным растворителем при количественном определении влияния заместителей в кислотах типа X-СООН является вода, полученные нами значения рКа пересчитывались на воду по уравнению (1),

 $pK_{a}(aq\cdot C_{2}H_{5}OH)=0,97+1,034pK_{a}(aq)+0,11$ [17] (1) выполняющемуся для всех типов фосфорсодержащих карбонових кислот. Проверка достоверности пересчета величин pK_{a} по уравнению (1) рассматривалась на примере 2,3-бутилендитиофосторилированной пропионовой кислоти (X). С этой целью были определены константы ионизации указанной кислоты в пяти

различных растворителях (табл.3). Из выполняющейся зависимости (2) было расчитано значение показателя кислотности

$$pK_a = (2,60\pm0,04) + (120,6\pm0,1)^{1/2}$$
 (2)
(r = 0,996, S = 0,168)

соединения (X) для воды. Хорошее совпадение величин $pK_{a(H_2O)}$ 2,3-бутилендитиофосфорилированной пропионовой кислоты, вычисленных различными путями (по (1) - 3,92+0,11; по (2) - 4,08+_0,05), убеждает в достоверности значений показателей констант ионизации для воды, найденных по зависимости (1), и дает возможность определения G и G констант заместителей ABPSSCH₂CH₂ в кислотах X-СООН по уравнениям (3) и (4) (табл.2):

$$6 = 2,64 - 0,550 \text{ pK}_{a(aq)}$$
 [16,19] (3)

 $G_1 = 1,19 - 0,248 \text{ pK}_{a(aq)}$ [16] (4).

Значения 5 **
АВР\$\$СН_СН_ некоторых соединений определены нами иным путем — при изучении реакционной способности дитиофосфорилированных пропионовых кислот с дифенилдиазометаном в толуоле при 25° методом газоволюмометрии. Полученные величины $4 \, \mathrm{k}_{2}^{25}$ реакций исследуемых кислот с дифенилдиазометаном (табл.2) были подставлены в имеющееся для серии карбоновых кислот корреляционное соотношение (5),

$$6^*=0,215+0,356 \text{ lgk}_2^{25}$$
 [19] (5)

из которогс затем были вычислены 6 *.

Как показали результать (табл.2), между величинами p^{K} а($qq \cdot C_2H_5OH$) наблюдается определенная зависимость (6)

$$\ell_{a}$$
 k ℓ_{a} (толуол) = (11,0+0,7) - (2,1+0,2) ℓ_{a} рк ℓ_{a} (ℓ_{a} с ℓ_{b} он) (6) (ℓ_{a} (ℓ_{a} с ℓ_{b} он) (6)

и величины индукционных констант заместителей ABPSSCH $_2$ CH $_2$, полученные по данным различных реакционных серий близки между собой.

Полученные результаты вцелом свидетельствуют о значительной акцепторной природе всех этих группировок в (T-X); величины индукционных констант сравнимы с таковой для доста-

Таблица 2 Константы ионизации (р K_a^{25}), константы скоростей реакций с ДДМ (k_2^{25}) дитиофосфорилированных пропионовых кислот XCH $_2$ CH $_2$ COOH и \bigcirc и \bigcirc заместителей XCH $_2$ CH $_2$.

| | . X | S ³¹ P, | 1 k 25 | pK _a | 25 |
|-----|---|--------------------|------------|---|----------------------------|
| n n | | | л/моль мил | C ₂ H ₅ OH-H ₂ O | H ₂ 0 (внч.) |
| I | (C ₆ H ₅) ₂ P | - | 1,45+0,07 | 5,47+0,04 | 4,35+0,11 |
| П | (C2H5)2P | -82 | - | 5,29+0,02 | 4,18+0,11 |
| Ш | (ic3H7)2P | - | 2,36+0,12 | 5,28+0,01 | 4,17+0,11 |
| 1У | CH3(C3H70)P | -103 | - | 5,25+0,05 | 4,14+0,11 |
| У | C2H5(C3H70) | P-112 | 2,28+0,12 | 5,24+0,02 | 4,13+0,11 |
| У1 | (ic ₄ H ₉ 0) ₂ P | -94 | - 1 | 5,48+0,02 | 4,36+0,11 |
| УП | (C3H70)2P | 700 | 1 -1 | 5,4I±0,05 | 4,29+0,11 |
| УШ | ₹ 0;P | -103 | 2,35+0,12 | 5,36 <u>+</u> 0,05 | 4,24+0,11 |
| 1X | ±8°P | _ | - | 5,13+0,05 | 4,24+0,11 |
| Х | _0>P | -106 | 12,93±0,65 | 5,02+0,02 | 3,92+0,11 |
| X1 | C1x) | - | 4,92 | 5,35 | 4,10 |
| | | | | | |

х) Приводятся данные из работ[16,17,20,21].

Продолжение таблици 2.

| пп | 6 xa | no pKa(N20) | 6₁ xch2ch2 |
|-------------------|-----------|-------------|------------|
| I | 0,27±0,01 | 0,25+0,06 | 0,11+0,01 |
| П | - | 0,34+0,06 | 0,15+0,01 |
| | 0,35+0,01 | 0,35+0,06 | 0,16+0,01 |
| 1У | - | 0,36+0,06 | 0,16+0,01 |
| У | 0,34+0,01 | 0,37+0,06 | 0,17+0,01 |
| У1 | - | 0,24+0,06 | 0,11+0,01 |
| УП | - | 0,28+0,06 | 0,13+0,02 |
| УШ | 0,35+0,01 | 0,30+0,06 | 0,14+0,01 |
| 1X | - | 0,4340,06 | 0,19+0,01 |
| X | 0,61+0,01 | 0,49+0,06 | 0,22+0,01 |
| X1 ^x) | - | 0,38 | 0,17 |
| | | | |

х)Приводятся данные из работ [16,17,20,21].

Таблица З Значения р $K_{\bf a}$ 2,3-бутилендитиофосфорилированной пропионовой кислоты в различных растворителях.

| пп | Растворитель | 1/2 | pK25 |
|----|------------------|--------|--------------------------|
| 1 | Вода-этанол=9:І | 0,0137 | 3,99+0,03 |
| 2 | Вода-этанол=1:1 | 0,0194 | 5,02+0,02 |
| 3 | Вода-диоксан=1:1 | 0,0248 | 5,66+0,03 |
| 4 | Вода-этанол=1:9 | 0,0336 | 6,62+0,05 |
| 5 | Абс.н-пропанол | 0,0497 | 8,47+0,05 ^x) |
| | | | |

х) Данные работы [18].

точно сильного электроноакцепторного заместителя как ${\rm C1CH_2CH_2(coeq.X1, Tagn.2)}$. В ряду фосфатных производных ${\rm (coeq.Y-X)}$ наблюдается тенденция к тому, что шестичленный циклодитиофосфатный заместитель по своему электроноакцепторному влиянию несколько превосходит ациклические производные, однако соединения ${\rm (1X)}$ и ${\rm (X)}$, включающие диоксафосфолановые фрагменты, характеризуются самым высоким ${\rm -J-}$ действием. Это согласуется с полученными нами ранее данными по константам ионизации циклических производных ${\rm (coeq.YI)}$ и ${\rm (X)}$ в абсолютном ${\rm +-}$ пропаноле ${\rm [18]}$.

Таким образом, полученные данные подтверждают высказанное выше предположение о том, что меньшая акцепторная способность заместителей в пятичленных дитиокислотах фосфора, выражающаяся в больших величинах показателей констант ионизации по сравнению с фосфоринановыми аналогами [4], обусловлена в большей степени их конформационными особенностями. Последние маскируют действительную химическую природу 1,2-диоксиалкиленовых заместителей у атома фосфора.

Авторы приносят свою искреннюю благодарность профессору Виктору Алексеевичу Пальму за ценные замечания по работе.

Литература

- [1] А.Н.Пудовик, Р.А.Черкасов, В.В.Овчинников, ЖОХ, 42,2638(1972)
- [2]. Р.А. Черкасов, В.В. Овчинников, А.Н. Пудовик, ЖОХ, 46, 957(1976).
- [3] В.В.Овчинников, В.И.Галкин, Р.А.Черкасов, А.Н.Пудовик, ДАН СССР, 229, 1386 (1976).
- [4] Р.А.Черкасов, В.В.Овчинников, Е.И.Петрова, В.Ф.Торопова, А.Н.Пудовик, ЖОХ, сб. "Химия элементоорганических соед. —У групп", Л., "Наука", стр. 114, 1976.
- [5], В.В.Овчинников, В.И.Галкин, Р.А.Черкасов, А.Н.Пуловик, МОХ, 47, 290(1977).
- [6] R. Hudson, C. Brown, Acc. Chem. Res. , 5, 204 (1972)
- [7] G. Aksnes, R. Ericksen, Acta Chem. Scand., 20, 2463(1966).
- [8]. A. G. Cook, G. M. Mason, J. org. Chem., 37, 3342(1972).
- [9] J.G. Verkade, "Itern. conference of phosph. Chem.", Gdansk, 1974, p. I.
- [10]. Б. М. Истомин, В. А. Баранский, А. Д. Лобанов, Е. Ф. Гречкин, Реакц. способ. орг. соедин., 1975, 12, №1, 69.
- [11] В.А.Баранский, Б.М.Истомин, Реакц, способн. орг. соедин., 1975, 12, №1,83.
- [12].Э.Илиел, Н. Аллинджер, С. Энжиал, Г. Моррисон, "Конформационный анализ", М., "Мир", стр. 225, 1969.
- [13].Э.А.Ишмаева, В.В.Овчинников, Р.А. Черкасов, А.Б. Ремизов, А.Н. Пудовик, А.А. Мусина, "Применение конформеционного анализа в синтезе новых орг. веществ", Изд. Одесского ун-та, стр. 79, 1975.
- [14] Э.А.Ишмаева, В.В.Овчинников, Р.А. Черкасов, А.Б. Ремизов, ЖОХ, 44, 2625(1974); ЖОХ, 45, 946(1975).
- [15].А.Н.Пуловик, И.В.Гурьянова, Э.А.Ишмаева, "Реакции и методы исслед. эрг.соед.", М., "Химия", 1968.

- [16] Е.Н. Цветков, Р. А. Малеванная, Л.И. Петровская, М.И. Кабачник, ЖОХ, 44, 1225(1974).
- [17] Е.Н. Цветков, Р.А. Малеванная, М.И. Кабачник, ЖОХ, 45, 716
- [18] В.В.Овчинников, В.И.Галкин, Р.А.Черкасов, А.Н.Пудовик, Изв. АН СССР.Сер.хим., 1977, 2021.
- [19] E.H. Цветков, Р. А. Малеванная, М. И. Кабачник, ЖОХ, 45,716(1975).
- [20], Ю.А.Жданов, В.И.Минкин, "Корр. анализ в орг. химии", И., РГУ, 1966.
- [21]. K.Bowden, M.Hardy, D.C.Parkin, Can.J.Chem. .46 .2929(1968).

Неаддитивное влияние строения и среды на некоторые равновесные процессы с переносом протона

Б.И.Истомин, В.А.Баранский

Институт нефте- и углехимического синтеза при Иркутском университете, Иркутск, 664033, а/я I665

Поступило 10 апреля 1978 г.

На примере анализа литературных данных для 5 равновесных процессов с переносом протона (рка анилина, моно- и диметиланилинов в водно-спиртовых средах, ркамоно-, ди- и три-н-бутиламинов в различных средах, 1gk равновесия между 4-X-бицикло/2,2,2/-октан-I-кар-боновыми кислотами и р-нитрофенолят-анионом в различных средах, 1gk, для м-,р-замещенных бензойных кислот и замещенных ионов анилиния в гидроксилсодержащих растворителях) показано неаддитивное влияние факторов строения и среды на эти процессы. В четырех из рассмотренных процессов обнаружен достигнутый в эксперименте переход через изопараметрическое значение меры фактора с обращением зависимости функции отклика от другого фактора.

Столкнувшись с необходимостью количественного описания эффектов среды и строения на pk_a фосфорорганических кислот при наличии большого количества недостаточно надежных и самосогласованных данных, мы исследовали совместное влияние этих факторов на некоторые равновесные процессы с переносом протона с участием классических для органической химии объектов. Исследование проводилось с целью получить ответ

на вопрос: является ли совместное влияние среды и строения на такого рода процессы аддитивным или неаддитивным . По-лученные результаты представлены ниже.

Величины рка различных кислот, как правило, сильно зависят от среды 1-3. В некоторых случаях эта зависимость хорошо описывается в рамках модели^{4,5} Коппеля-Пальма. Однако попыток совместного описания эффектов среды и строения на равновесные процессы с переносом протона в литературе немного (см., например⁶).

Допустим, влияние строения заместителя ${\tt X_i}$ в кислоте ${\tt X_i}$ строения заместителя ${\tt X_i}$ в кислоте

х. он х. ог + н (1) где он и ог - начальное и конечное состояния реакционного центра, однотипно (однородно или квазиоднородно) в любых растворителях з, тогда как влияние растворителя однотипно для всех х. В таком случае величины рка кислот х. он в растворителях з, должны, согласно ППЛ, адекватно описываться уравнением

 $pK_{\mathbf{a}}(\mathbf{X_iQH}, \mathbf{S_j}) = \mathbf{a_0} + \mathbf{a_1X_i} + \mathbf{a_2S_j} + \mathbf{a_3X_i} \mathbf{S_j}$ (2) где $\mathbf{X_i}$ и $\mathbf{S_j}$ — количественные меры влияния факторов строения и растворителя; $\mathbf{a_0} + \mathbf{a_3}$ — коэффициенты, причем $\mathbf{a_0}$ должно совпадать с $pK_{\mathbf{a_0}}(\mathbf{X_0QH}, \mathbf{S_0})$; $\mathbf{X_0}$ и $\mathbf{S_0}$ — заместитель и растворитель, выбранные за стандартные.

Если, в согласии с $\Pi I I I I^5$, количественные меры X_i^i и S_i^i определить как

 $X_{1}^{\prime} = pK_{\mathbf{a}}(X_{1}QH, S_{0}) - pK_{\mathbf{a}}(X_{0}QH, S_{0})$ (3)

 $s_{j}^{+} = pk_{a}(x_{0}QH, s_{j}) - pk_{a}(x_{0}QH, s_{0})$ (4) то в ур.(2) на коэффициенты a_{I} и a_{2} накладывается априорное ограничение $a_{I}^{-} = a_{2} = 1$. Назовем шкалы x_{i}^{+} и s_{i}^{+} внутренними операционными шкалами.

Использование таких шкал для анализа действительной значимости коэффициента аз ур.(2) представляется восьма удобным, т.к. в этом случае для всех коэффициентов ур.(2),

^{*}В отличие от внешних или конвенциональных шкал: констант заместителей, различных шкал эффекта среды и т.д.

кроме аз, мы располагаем их математическими ожиданиями. Это позволяет исключить, в тех случаях, когда влияние факторов в действительности аддитивно, появление значимого перекрестного члена из-за смещенности оценок ат + аз, например, по причине неортогональности мер факторов. Использование внутренних шкал, кроме того, позволяет выявить напичие малых перекрестных членов, исключение которых не влияет существенно на статистические показатели регрессий, но приводит к смещенным оценкам коэффициентов ат и агом. ниже) при использовании для обработки экспериментальных данных аддитивной модели. Этот эффект невозможно обнаружить при отсутствии математических ожиданий соответствующих коэффициентов, как то обычно бывает при использовании внешних (конвенциональных) шкал(мер) факторов.

Для обнаружения наличия или отсутствия взаимного влияния факторов строения и среды, т.е. реальной значимости коэффициента аз в ур.(2), в равновесных процессах с переносом протона мы попытались описать несколько из изученных процессов такого рода в рамках этого уравнения с использованием внутренних шкал типа (3) и (4).

І. рКа анилинов в водно-спиртовой системе

Альберт и Сержент приводят таблицу значений 7 рк $_a$ (25°C) анилина, его м-метил и м,м-диметил производных в водно-этанольной системе (0 + 60 вес.% C_2H_5OH), согласно которой в области между 35 и 50% этанола характер зависимости рк $_a$ от строения обращается. Выбрав в качестве рк $_a$ (х $_O$ QH, х $_O$) величину 2 , 7 рк $_a$ (6H_5 NH $_3^+$, 4H_2O) = 4,64 и вычислив меры х $_a$ (3 уровня) и х $_a$ (5 уровней) по уравнениям (3) и (4), мы нашли, что вся матрица экспериментальных данных 2 , 7 хорошо описывается уравнением (2) (см. А.І, табл.І) с большим коэффициентом а $_3$. При этом а $_0$ + а $_2$ в пределах ошибок совпадают с их математическими ожиданиями. В этой серии действительно наблюдается экспериментальный переход через изопараметричес-

⁺Ситуация еще более осложняется в случае трех- и четырехфакторных моделей с перекрестными членами.

кое 5,8 значение по фактору среды: $\hat{X}_{1}'=\hat{S}_{2}!=-a_{3}^{-1}=-0.46^{\pm}$ ± 0.07 , фактор X_{1} изменяется от O(анилин) до 5.0I(N.N-диме-тиланилин), а фактор $S_{1}'=$ от $O(\text{H}_{2}\text{O})$ до -0.84(60% водный этанол), т.е. значение \hat{S}_{1}' лежит в области экспериментального интервала изменения последнего фактора. Вследствии этого в средах, содержащих более 35% этанола, наблюдается

противоречие между индукционным эффектом метильной группы и pK_a (pK_a анилина становится больше pK_a диметиланилина). В действительности, как следует из ур.(2), в среде с $s_j^* > s_j^*$ изменение pK_a анилинов контролируется вкладом $a_1X_1^*$ ($1>|a_3s_j^*|$), при переходе через $s_j^* = s_j^*$ происходит смена контроля и при $s_j^* < s_j^*$ изменение pK_a рассматриваемых соединений в водно-этанольных системах контролируется уже вкладом $a_3s_1X_1^*$ ($1<|a_3s_j^*|$, $s_j^* \leqslant 0$).

2. pK_a моно-, ди- и трибутиламинов в различных средах

В нитрометане pk_a н-бутиламинов возрастает в ряду моно- или три-н-бутиламин. Аналогично ведут себя алкиламины в газовой фазе $^{10-12}$. В воде дибутиламин, как и другие диалкиламины, более основен 2 , 13 , 14 , чем соответствующие моно- и тризамещенные амины, причем основность последних практически не различается. В этаноле и водно-этанольных смесях (см. 13) зависимость pk_a бутиламинов от строения обращается по сравнению с нитрометаном и газовой фазой. Аналогично ведут себя другие алкиламины (см. 13) в этаноле, метаноле и их смесях с водой.

Используя величины pK_a моно-, ди- и три-н-бутиламинов в нитрометане, воде 13 , 14 и этаноле 13 , выбрав за pK_a (x_0 QH, s_0) величину 9 pK_a (s_0 NH+, нитрометан) = 15 ,00 и вычислив X_1 (3 уровня) и s_1 (3 уровня) по ур.(3) и (4), мы нашли, что эти величины pK_a удовлетворительно описываются ур.(2)(см. В.І, табл.І). Оценки s_0 s_0 в пределах неопределенности совпадают с их теоретическими значениями. Однако оценка s_1 имеет большую ошибку, а уравнение регрессии не имеет степеней свободы, если учитывать используемые для расчета шкал

значения pK_a . Включение данных для водно-этанольных смесей (4 уровня) приводит к регрессии В.2(табл.I), не отличающейся значимо от В.I, что свидетельствует об устойчивости решения. Величины $X_1' = S_2' = -a_3^{-1}$ составляют $-3.26^{\pm}0.22$. Фактор X_1' изменяется от $O(Bu_3N)$ до $-I.06(BuNH_2)$, а фактор S_2' от O(нитрометан) до -7.59(этанол) т.е. значение S_2' лежит в области экспериментального изменения фактора S_2' среды. Таким образом, ур.(2) описывает обращение зависимости pK_a бутиламинов от строения при переходе от нитрометана ($\triangle pK_a = pK_a(Bu_3N) - pK_a(BuNH_2) = I.06$) к этанолу ($\triangle pK_a = -I.53$) и малую величину $\triangle pK_a = 0.43$ для воды. Величина S_2' (H_2O) = -4.27 наиболее близка к S_2' . Однако оно не описывает факта большей основности вторичного амина в воде и в 23.6 мол.% водном этаноле, и требует поэтому дополнительных уточнений.

3. Равновесие между 4-X-бицикло/2,2,2/октан-І-карбоновыми кислотами и р-нитрофенолят-анионом в различных средах

Ритчи и Льюис 15 измерили константы К равновесий с переносом протона между 4-X-бицикло/2,2,2/октан-карбоновыми кислотами и ионом р-NO₂C₆H₄O в I4 средах $^{++}$. Рассматривая только незаряженные заместители X_i и принимая $1_{gK}(X_0$ CH, S_0) равным 1_{gK} для незамещенной кислоты в этаноле (0,54, см. $^{-}$), мы вычислили меры X_i (6 уровней) и S_i (I4 уровней) аналогично ур.(3) и (4) и обработали весь массив из 82 экспериментальных данных по уравнению типа (2) с перекрестным членом и без него (см. С.І и С.2 для первого случая и С.3 и С.4 – для второго, табл.І).

Обе модели (с перекрестным членом и без него) описывают эксперементальные данные одинаково точно. Оценки a_0 и a_1 всюду совпадают с их теоретическими значениями. Однако при неучете перекрестного члена оценка a_2 значимо отличается от своего математического ожидания и лишь включение вклада $a_3x_1^2s_1^2$ приводит к несмещенной оценке a_2 . Следовательно, $a_3x_1^2s_1^2$ приводит к несмещенной оценке a_2 . Следовательно, $a_3x_1^2s_1^2$ приводит к несмещенной оценке $a_3x_1^2s_1^2$ приводит к несмещенной оценке

Коэффициенты и статистики ур.(2) для различных равновесных процессов Таблица I с переносом протона

| | | | The same of the sa | | | | |
|---------------------------------------|--|--|--|--|--|--|--|
| | a _O | BI | 8 ₂ | 83 | T FS | M | S0(8%)B |
| A.I | 7,644±0,042 | 1,214±0,174 | 0,995±0,077 | A.I 4,644±0,042 I,2I4±0,I74 0,995±0,077 2,164±0,3I6 I5 4 0,9940 0,058(4) | 15 4 | 0466,0 | 0,058(4) |
| B I B 2 | 15 306±0 317 15 309±0 264 | 1 224±0 498 1 245±0 407 | 0.962±0.063 0.968±0.043 | B.I I5, 306 ± 0 , 317 I, 224 ± 0 , 407 0, 962 ± 0 , 063 0, 292 ± 0 , 099 9 0 0, 9932 0, $410(5,7)$ B.2 I5, 309 ± 0 , 264 I, 245 ± 0 , 407 0, 969 ± 0 , 043 0, 306 ± 0 , 067 20 6^{T} 0, 9892 0, $339(4,5)$ | 9 0 20 6 ^F | 0,9932 | 0,410(5,7 |
| C C C C C C C C C C C C C C C C C C C | C.1 0.591±0.023 0.935±0.048 I.0I6±0.02I C.2 0.563±0.0I7 0.950±0.036 0.987±0.0I6 C.3 0.571±0.024 0.980±0.060 0.951±0.0I3 C.4 0.538±0.0I6 I.051±0.034 0.945±0.0I0 | 0,935±0,048 0,950±0,036 0,980±0,060 I,051±0,034 | 1,016±0,021 0,987±0,016 0,951±0,013 0,945±0,010 | C.2 0.563±0.017 0.950±0.048 1.016±0.021 -0.167±0.045 82 60 ²⁴ 0.9939 0.114 C.2 0.563±0.017 0.950±0.036 0.987±0.016 -0.140±0.033 72 49 ⁶ 0.9967 0.080 C.3 0.571±0.024 0.980±0.060 0.951±0.013 82 60 ²⁴ 0.9927 0.120 C.4 0.558±0.016 1.051±0.034 0.945±0.010 | 82 60' 72 +9 ⁶ 82 60 ⁷ 69 +7 | 82 60 ^A 0,9939 0,II4 72 49 ^e 0,9967 0,080 82 60 ^A 0,9927 0,I20 69 47 ^a 0,9967 0,078 | 82 60 ^A 0.9939 0.114 72 49 ⁶ 0.9967 0.080(2.0) 82 60 ^A 0.9927 0.120 69 47 ^B 0.9967 0.078(1.9) |
| Д Д Д Д Д Д Д Д Д Д Д Д Д Д Д Д Д Д Д | I, 176±0, 015 I, 169±0, 009 I, 005±0, 022 I, 089±0, 012 | I 014±0 015 I 006±0 009 0 865±0 021 0 941±0 011 | I IIO±0,073 I,089±0,042 0,008±0,010 0,013=0,004 | 0 986 \pm 0 071 70 48^{H} 0 9958 0 040 0 876 \pm 0 042 63 41^{K} 0 9987 0 025 | 70 48 ¹ 63 4I ¹ 70 49 ¹ 57 35 ³ | 70 48 ⁿ 0,9958 0,040 63 4I ^k 0,9987 0,025 70 49 ⁿ 0,9808 0,092 57 35 ⁿ 0,9965 0,041 | 70 48 ^R 0.9958 0.040 63 41 ^R 0.9987 0.025(1.4) 70 49 ^R 0.9808 0.092 57 35 ^R 0.9965 0.041(2.4) |
| E I | E.1 5.242 [±] 0.064 I.003 [±] 0.016 I.000 [±] 0.065 E.2 4.915 [±] 0.084 0.924 [±] 0.080 0.133 [±] 0.015 | I,003±0,016 0,924±0,080 | I,000±0,063 | 0,19940,015 | 23 9 ^M | 0,9987 | 23 9 ^M 0 9987 0 089 I 5) 22 9 ^H 0 9959 0 I49 2 6) |

ауровенъ риска 5%. ^бчисло степеней свободы f = общее число точек - число коеффициентов - число использованных для вычисления шкал точек. B S% = $S_{0}/(Y_{max} - Y_{min});$ Y - корреляруемая величина. F После исключения значимо отклоняющейся точки для (n-Bu) МН в Н20. ДПосле исключения максимально отклоняющейся точки X = СООН в ацетоне. Чисключены отклоняющиеся точки для X = ОН (ДМСО, 90% ДАСО, 50%МеОН), СООН(МеОН, 50% МеОН, 90%МеОН, 75% ДМСО, 90% ДМСО), Вт (75% ДМСО). ВИСКЛЮЧЕНЫ ЗНАЧИМО ОТКЛОНЯЮЩИеся точки для X = ОН(ДМСО, 90% ДМСО, 50% МеОН), СООН(90% ДМСО, 75%ДМСО, 90% МеОН, 50% МеОН, МеОН), Вт (ДМСО, 75% ДМСО, 50%MeOH), CN(50% EtOH) и CO₂Et(ДМСО). ^МС учетом всех точек. Кпосле исключения значимо отклоняющихся точек $m-OH(H_2O, (HOCH_2)_2)$, $p-F(H_2O), m-F(n-BuOH, MeOH),$ р-МеО(МеОН), m-G1(МеОН). ЛПосле исключения значимо отклоняющихся точек $m-N0_2(H_20, этиленгликоль), <math>m-H0$ (H_20 этиленгликоль), p-NO₂(H₂O), m-I(H₂O), p-Br(H₂O), m-Cl (H_2O) , m-Br (H_2O) , p-F (H_2O) , p-Cl (H_2O) , p-HO (H_2O) , m-F (H_2O) . Млосле исключения значимо отклоняющейся точки для р-К(Н20). НПосле исключения значимо отклоняющейся точки для р-F(H2O), m-NO2(H2O).

в данной серии действительно существует статистически значимое, хотя и очень малое, взаимодействие между факторами строения и среды. Изопараметрические точки $\dot{X}_i^! = \dot{S}_j^! = -a_3^{-1} = 7,14^{\pm}I$,68. Фактор $X_i^!$ меняется от O(H) до 0,78(cn), а фактор $S_j^!$ — от O(EtoH) до -2,49(ДМСО), т.е. изопараметричность в данном эксперименте не реализуется.

4. Относительная сила замещенных бензойных кислот в различных растворителях при 25°C

Белл приводит заимствованные из работы значения $^+$ 1gK замещенных бензойных кислот в 5 растворителях (вода, этиленгликоль, метанол, этанол и н-бутанол). Из этих дан- $^+$ дмСО; 90%, 75% и 50% дмСО- $^+$ дистон; 90% $^+$ 40-ацетон; см. $^+$ 0тносительно незамещенной кислоты.

ных очевидно, что для ряда заместителей величина lgk становится более отрицательной при переходе от воды к н-бутанолу, а для других заместителей эта величина изменяется в противоположную сторону. Выбрав величину 1gk, для p-NO ϕ СООН в этаноле (lgK = I,I7) за lgK $_{r}$ (X $_{0}$ QH, S $_{0}$) и вычислив меры Х. (14 уровней) и S. (5 уровней) по уравнениям типа (3) и (4), мы нашли, что экспериментальные данные для м-,р-замещенных кислот хорошо описываются аналогичным (2) уравнением (см. Д.І и Д.2, табл.І). Коэффициенты а + а великолепно совпадают с их математическими ожиданиями. Неучет перекрестного члена также приводит к хорошему описанию после исключения ряда значимо отклоняющихся значений (см. ДЗ и Д.4, табл.І). Однако оценки а∩ + а₂ в этом случае не совпадают с их математическими ожиданиями. Это свидетельствует в пользу реальной значимости эффекта взаимодействия факторов среды и строения в данном процессе.

Согласно регрессии Д.2, $X_1^* = S_1^* = -1$, $142^\pm 0$, 055. Фактор среды S_1^* изменяется от $O(\mathsf{этанол})$ до $-0.39(\mathrm{H}_2\mathrm{O})$, а фактор строения $X_1^* = \mathsf{ot} O(\mathsf{p-NO}_2)$ до $-1.72(\mathsf{p-HO})$, т.е. значение X_1^* попадает в интервал экспериментального изменения фактора строения и в данной серии наблюдается переход через изопараметрическое значение по заместителю (в отличие от примеров I и 2, см. выше) с обращением зависимости $1gK_1$ от среды. К значению X_1^* наиболее приближается X_1^* для заместителя м-ме($X_1^* = -1.23$), для которого величина $1gK_1^*$ меняется незначительно I (-0.06 в воде, -0.09 в этиленгликоле, -0.09 в метаноле, -0.06 в этаноле и -0.10 в н-бутаноле).

5. Относительная сила замещенных ионов анилиния в воде, метаноле и этаноле при 25°C

В этой же монографии приведены значения $^{17++}$ $_{1gK_{r}}$ для ряда замещенных ионов анилиния в воде, метаноле и этаноле. Здесь также наблюдается различный характер изменения $_{1gK_{r}}$ при переходе от воды к этанолу для разных заместителей.

^{*}Исключены практически все значения lgk в воде. **Относительно иона анилиния; см. I, I?

выбрав $\lg K_r(p-NO_2ØNH_3^+, EtOH) = 5,2I$ за $\lg K_r(X_0QH, S_0)$ и вычислив аналогично уравнениям (3) и (4) меры $X_1^+(8)$ уровней) и $S_1^+(3)$ уровня), мы нашли, что величины $\lg K_r$ для м-,р-замещенных соединений адекватно описываются аналогичным (2) уравнением (см. Е.І, табл.І), коэффициенты которого хорошо совпадают с их математическими ожиданиями. Исключение перекрестного члена приводит к регрессии Е.2 (табл.І) с высоким коэффициентом корреляции и несколько худшим стандартом S_0 . Однако оценки $a_0 \div a_2$ в этом случае уже не совпадают с их математическими ожиданиями, что доказывает реальную значимость перекрестного члена.

Согласно регрессии Е.І, $\hat{X}_1' = \hat{S}_2' = -5,025^{\pm}0,404$. Фактор среды \hat{S}_2' изменяется от O(этанол) до -I,6I(вода), а фактор строения \hat{X}_1' - от $O(\text{p-No}_2)$ до -5,78(p-Me). Значение \hat{X}_2' , очевидно, попадает в интервал экспериментального изменения \hat{X}_1' и лежит между значением \hat{X}_1' для \mathbf{m} -Me (-5,5) и \mathbf{p} -F (-4,85), для которых наблюдается противоположное направление изменения $\mathbf{1gK}_{\mathbf{r}}$ в зависимости от среды, т.е. здесь также реализуется переход через изопараметрическое значение по заместителю.

Заключение

Таким образом, анализ литературных данных для равновесных процессов переноса протона с участием классических для физической органической химии объектов показывает, что факторы строения и среды в таких процессах влияют неаддитивно, т.е. интенсивность влияния эффекта среды зависит от строения и наоборот. Этот вывод следует, по-видимому, считать общим. При этом важно, что неучет по каким-либо априорным соображениям эффекта взаимодействия между средой и строением может привести к хорошим в статистическом смысре регрессионным уравнениям. Однако оценки их коэффициентов будут смещенными.

Следует отметить, что в четырех из рассмотренных нами примеров реализуется переход через изопараметрическое значение либо фактора среды (примеры I и 2), либо фактора строения (примеры 4 и 5) с экспериментально наблюдаемым обращением характера зависимости функции отклика от изменения второго фактора.

Все расчеты для настоящей работы выполнены на ЭЦВМ "Наири С" по программе многомерного регрессионного анализа, основанной на алгоритмах Дрейпера и Смита 18 , с добавлением процедуры перемножения факторов 19 . Программа точно воспроизводит все тестовые задачи из руководства 18 .

Литература

- I. Белл Р., Протон в химии, "Мир", М., 1977
- 2. Альберт А., Сержент Е., Константы ионизации кислот и оснований, "Химия", М.-Л., 1964
- 3. Измайлов Н.А., Электрохимия растворов, "Химия", М., 1966
- 4. Koppel I.A., Palm V.A., Chap.5 in Advances in Linear Free Energy Relationships, Chapman N., & Shorter J. (Eds.), Plenum Press, L., 1972
- 5. Палъм В.А., Основы количественной теории органических реакций, "Химия", Л., 1977
- Miller S.I., Multiple Variation and Linear Correlation, Preprint of Paper, Department of Chemistry, Illinois Institute of Tehnology, Chicago, Illinois, USA, 1962
- 7. Gutbezahl G., Grunwald E., J.Am. Chem. Soc., 75, 559 (1953)
- 8. Палъм В.А., Истомин Б.И., Реакц.способн.орг.соед., <u>6</u>, 427 (1969)
- 9. Матросов Е.И., Козаченко А.Г., Кабачник М.И., Изв. АН СССР, сер.хим., 1470 (1976)
- IO. Briggs J.P., Yamdagni R., Kebarle P., J.Am. Chem. Soc., 94, 5128 (1972)
- II. Kebarle P., in Environmental Effects on Molecular Structure and Properties, B.Pullman (Ed.), p. 8I-94, D.Reidel Publishing Co., Dorbrecht-Holland, 1975
- 12. Коппель И.А., Карельсон М.И., Реакц. способн.орг.соед., <u>II</u>, 985 (1975)

- 13. Таблицы констант скорости и равновесия гетеролитических органических реакций, под ред. В.А.Пальма, т.I(I), м., 1975
- I4. Perrin D., Dissociation Constants of Organic Bases in Aqueous Solutions, L., 1965
- I5. Ritchie C.D., Lewis E.S., J.Am. Chem. Soc., 85, 591 (1962)
- I6. Elliott J.H., Kilpatrick M., J.Phys.Chem., 45, 454, 466, 473 (1941)
- I7. Kilpatrick M., Arenberg O.A., J.Am.Chem.Soc., <u>75</u>, 3812 (1953)
- 18. Дрейпер Н., Смит Г., Прикладной регрессионный анализ, "Статистика", М., 1973
- инкельштейн Б.Л., Сухоруков Ю.М., Пивоваров С.А., Донских В.И., Истомин Б.И., Реакц.способн.орг.соед., <u>13</u>, 358 (1976)

УДК: 541.124

ЯВЛЕНИЕ ИЗОПАРАМЕТРИЧНОСТИ В ХИМИЧЕСКИХ СДВИГАХ ЯМР ¹³С I,4-ДИЗАМЕЩЕННЫХ БЕНЗОЛОВ

Б.И.Истомин

Институт нефте- и углехимического синтеза при Иркутском университете, Иркутск, 664033, а/я 1665

Поступило 12 апреля 1978 г.

Найдено, что химические сдвиги $\Delta \delta$ ямр 13 с I,4-дизамещенных бензолов X_i С $_6$ Н $_4$ Ч $_j$ хорошо описываются неаддитивным уравнением (I), что является формально-математической причиной наблюдаемого в экспериментальных данных обращения зависимости $\Delta \delta$ от строения Y_j при изменении X_j .

Теаддитивное влияние различных факторов на физические, физико-химические и химические свойства органических соединений и на разнообразные процессы с их участием является в настоящее время хорошо установленным фактом (например, см. $^{I-II}$). Результатом такой неаддитивности является эффект изопараметричности $^{2,I2-I4}$, т.е. возможность обращения зависимости функции отклика (= характеристики изучаемого свойства или процесса) от одного из факторов при переходе через изопараметрическое значение по другому при их неаддитивном влиянии. Такое обращение экспериментально наблюдается в некоторых кинетических и равновесных процессах (например, см. $^{I2-I6}$).

Тафт с сотрудниками недавно сообщили 10 химические

сдвиги Δ 6 ^{I3}С в положении С-4 для 48 дизамещенных бензолов и нашли, что влияние на них заместителей X_1 и Y_j неаддитивно. Это подтверждено II Линчем на более обширной совокупности

экспериментальных данных. Значения ${}^{10}\Delta S$ ($x_i \emptyset y_j$) = $S(x_i \emptyset y_j)$ - $S(y_i \emptyset y_j)$ - $S(y_i \emptyset y_j)$

возрастают при переходе от $X_1 = NH_2$ к $X_1 = NO_2$ при любых Y_{10} однако при переходе от $Y_j = NO_2$ к $Y_j = CN$ уменьшаются для $X_i = NH_2$. MeO и Me и возрастают для всех других X_i^{IO} .

Если допустить, что заместитель Хі влияет на 🛆 🗟 любых Y_j однотипно † , а заместитель Y_j влияет однотипно † при любых X_1 , то, согласно ППЛ 2 , эти величины должны подчинять ся уравнению

 $\Delta S(X_1 \phi Y_1) = a_0 + a_1 X_1' + a_2 Y_1' + a_3 X_1' Y_1'$ где X_i' и Y_j' - меры влияния факторов X_i и Y_j , определяемые KaK

бранных за стандартные, а + а - коэффициенты. ППЛ накладывает на эти коэффициенты ограничения²: $a_0 = \Delta \delta (X_0 \phi Y_0)$

a, = a, = I.

выбор за $\Delta\delta(X_0 \emptyset Y_0)$ значения $\Delta\delta(CF_3 \emptyset - H) = 3.4I$, расчет мер X_1' (9 уровней) и Y_1' (6 уровней) из соотношений (2) и (3) и обработка матрицы данных 10 привели к регрессиям A.I и А.2 в табл. І. Регрессия А.2, от которой значимо отклоняются 🕹 б для 6 соединений, отличается высоким коэффциентом корреляции R , ее стандарт S_{O} не превышает таковых для корреляций 10 $\Delta \delta$ при \bar{Y}_{j} = Const c константами δ_{1} и δ_{R} заместителей X1. Оценки а + а хорошо совпадают с их теоретическими значениями, что свидетельствует о несмещенности оценки аз. Таким образом, зависимость величин 10 $\Delta \delta(X_1 \emptyset Y_1)$ от строения Хі и У ј удовлетворительно следует для всех комбинаций X_i и Y_j , кроме исключенных, уравнению (I), будучи существенно неаддитивной. Благодаря этому, интенсивность влияния заместителя Х; на величину 🗚 зависит от строения Уј и наоборот.

Согласно А.2, изопараметрические значения $\hat{X}_1 = \hat{Y}_1 = -\mathbf{a}_3$ +По одному формальному типу (механизму) взаимодействия (однородный случай²) или одновременно но нескольким механизмам, соотношение которых в общем эффекте заместителя не зависит от природы У (квазиоднородный случай).

= -4.62+0.36 (см. 2 , 12). Фактор X_{i}^{i} меняется от -13.21 (NH₂) до +2.81 (NO₂), а фактор Y_{j}^{i} — от -1.71 (NO₂) до 0.28 (CN), т.е. изопараметрическое значение X_{i}^{i} попадает в интервал экспериментального изменения X_{i}^{i} , чем объясняется наблюдаемое обращение зависимости $\Delta \delta$ от строения Y_{j} при изменении X_{i} . К змачению X_{i}^{i} наиболее приближается X_{i}^{i} для заместеля СІ (4.77).

Обращение зависимости $\Delta \delta = f(Y_j)$ при переходе от $X_1 \le X_1 = NH_2$, ОМе, Ме) к $X_1 \ge X_2 = NH_2$, СМе, Ме) к $X_1 \ge X_2 = NH_2$, СМе, Ме) к $X_1 \ge X_2 = NH_2$, СМе, Ме) к $X_1 \ge X_2 = NH_2$, СМе, Мо) связано со сменой ее контроля: в первом случае зависимость контролируется вкладом $A_2X_1 = X_2 = NH_2$ ($A_2X_1 = NH_2$), тогакак во втором осуществляется контроль аддитивным вкладом $A_1 = NH_2$ ($A_2X_1 = NH_2$).

Таблица I Коэффициенты и статистики уравнений (I) и (4) для химических сдвигов $\Delta \delta$ $^{\text{I3}}\text{C}$ в положении С-4 I,4-дизамещенных бензолов

| | a ₀ | a _I | a ₂ | a ₃ | n | R | S ₀ (S% B) |
|------|----------------|----------------|----------------|----------------|-----------------|-------|-----------------------|
| A.I | 3.40I+ | 0.987∓ | I.106+ | 0.196+ | 48 ^r | 0.989 | 0.74(3.9) |
| 1 | +0.195 | +0.027 | +0.I87 | +0.025 | (30) | | |
| A.2 | 3.360+ | 0.9847 | I.093+ | 0.216± | 42 ^A | 0.996 | 0.39 (2.4) |
| | +0.106 | +0.016 | +0.IOI | +0.016 | (24) | | |
| B. I | -I.324+ | | | 0.205+ | 42 ^e | 0.995 | 0.39 (2.4) |
| | ∓0.056 | | | +0.003 | | | - |

ауровень риска 5%. ⁶Число точек в обработке; в скобках дано число степеней свободы = общее число точек — число искомых связей — число значений функции отклика, использованных для расчета мер X_1^i и Y_1^i . ^B $S_2^{\#} = S_0$ /($\Delta G_{\max} - \Delta G_{\min}$). ^C С учетом всех 48 значений $S_1^{\#} = S_0^{\#} = S_0^{\#}$ ($\Delta G_{\max} - \Delta G_{\min}$). $S_1^{\#} = S_0^{\#} = S_0^{\#}$ ($\Delta G_{\max} - \Delta G_{\min}$). $S_2^{\#} = S_0^{\#} = S_0^{\#}$ ($\Delta G_{\max} - \Delta G_{\min}$). $S_1^{\#} = S_0^{\#} = S_0^{\#}$ ($\Delta G_{\min} - \Delta G_{\min}$). $S_1^{\#} = S_0^{\#} = S_0^{\#}$ ($\Delta G_{\min} - \Delta G_{\min}$). $S_1^{\#} = S_0^{\#} = S_0^{\#}$ ($\Delta G_{\min} - \Delta G_{\min}$). $S_1^{\#} = S_0^{\#} = S_0^{\#}$ ($\Delta G_{\min} - \Delta G_{\min}$). $S_1^{\#} = S_0^{\#} = S_0^{\#}$ ($\Delta G_{\min} - \Delta G_{\min}$). $S_1^{\#} = S_0^{\#} = S_0^{\#}$ ($\Delta G_{\min} - \Delta G_{\min}$). $S_1^{\#} = S_0^{\#} = S_0^{\#}$ ($\Delta G_{\min} - \Delta G_{\min}$). $S_1^{\#} = S_0^{\#} = S_0^{\#}$ ($\Delta G_{\min} - \Delta G_{\min}$). $S_1^{\#} = S_0^{\#} = S_0^{\#}$ ($\Delta G_{\min} - \Delta G_{\min}$). $S_1^{\#} = S_0^{\#} = S_0^{\#}$ ($\Delta G_{\min} - \Delta G_{\min}$). $S_1^{\#} = S_0^{\#} = S_0^{\#}$ ($\Delta G_{\min} - \Delta G_{\min}$). $S_1^{\#} = S_0^{\#} = S_0^{\#}$ ($\Delta G_{\min} - \Delta G_{\min}$). $S_1^{\#} = S_0^{\#} = S_0^{\#}$ ($\Delta G_{\min} - \Delta G_{\min}$). $S_1^{\#} = S_0^{\#} = S_0^{\#}$ ($\Delta G_{\min} - \Delta G_{\min}$). $S_1^{\#} = S_0^{\#} = S_0^{\#}$ ($\Delta G_{\min} - \Delta G_{\min}$). $S_1^{\#} = S_0^{\#} = S_0^{\#}$ ($\Delta G_{\min} - \Delta G_{\min}$). $S_1^{\#} = S_0^{\#} = S_0^{\#}$ ($\Delta G_{\min} - \Delta G_{\min}$). $S_1^{\#} = S_0^{\#} = S_0^{\#}$ ($\Delta G_{\min} - \Delta G_{\min}$). $S_1^{\#} = S_0^{\#} = S_0^{\#}$ ($\Delta G_{\min} - \Delta G_{\min}$). $S_1^{\#} = S_0^{\#} = S_0^{\#}$ ($\Delta G_{\min} - \Delta G_{\min}$). $S_1^{\#} = S_0^{\#} = S_0^{\#}$ ($\Delta G_{\min} - \Delta G_{\min}$). $S_1^{\#} = S_0^{\#} = S_0^{\#}$ ($\Delta G_{\min} - \Delta G_{\min}$). $S_1^{\#} = S_0^{\#} = S_0^{\#}$ ($\Delta G_{\min} - \Delta G_{\min}$). $S_1^{\#} = S_0^{\#} = S_0^{\#}$ ($\Delta G_{\min} - \Delta G_{\min}$). $S_1^{\#} = S_0^{\#} = S_0^{\#}$ ($\Delta G_{\min} - \Delta G_{\min}$). $S_1^{\#} = S_0^{\#} = S_0^{\#}$ ($\Delta G_{\min} - \Delta G_{\min}$). $S_1^{\#} = S_0^{\#} = S_0^{\#}$ ($\Delta G_{\min} - \Delta G_{\min}$). $S_1^{\#} = S_0^{\#} = S_0^{\#}$ ($\Delta G_{\min} - \Delta G_{\min}$). $S_1^{\#} = S_0^{\#} = S_0^{\#}$ ($\Delta G_{\min} - \Delta G_{\min}$). $S_1^{\#} = S_0^{\#} = S_0^{\#}$

Значимые отклонения от регрессии A.2 наблюдаются для комбинаций $X_i = \mathrm{NH}_2$ и $Y_j = \mathrm{CN}$, $X_1 = \mathrm{NH}_2$ и $Y_j = \mathrm{NO}_2$, $X_1 = \mathrm{MeO}$ и $Y_j = \mathrm{NO}_2$, $X_1 = \mathrm{F}$ и $Y_j = \mathrm{CN}$, в случае которых возможен значительный вклад в $\Delta \delta$ прямого полярного сопряжения между заместителями. Также значимо, но в противоположную сторону отклоняются точки для $X_1 = Y_j = \mathrm{NH}_2$, $X_1 = \mathrm{NH}_2$ и $Y_j = \mathrm{MeO}$. Причиной отклонений здесь является, по-видимому, конкуренция однотипных заместителей за сопряжение с фениленовой системой. Меры X_1 и Y_1 в случае отклоняющихся соединений уже не отражают истинного взаимодействия между X_1 и Y_1 вспедствие нарушения в таких соединениях использованных при выводе уравнения (I) допущений (см.выше).

Корреляция между мерами X_1^i и Y_1^i отсутствует, что свидетельствует о различии формальных типов (механизмов) влияния заместителей X_1 и Y_1 на величину $\Delta \mathcal{S}^{I3}$ С в положении C-4. Это может быть связано, например, с различием линейных комбинаций индукционного и резонансного термов в суммарных эффектах X_1 и Y_1 или с тем, что X_1^i и Y_1^i являются функциями различных типов элементарных взаимодействий.

Линейные преобразования мер $X_{1}^{!}$ и $Y_{1}^{!}$ $X_{1}^{"} = X_{1}^{!} + a_{2}^{-1}$ $Y_{1}^{!!} = Y_{1}^{!} + a_{2}^{-1}$

 $Y_{j}^{"}=Y_{j}^{"}+a_{3}^{-1}$ приводят уравнение (I) к мультипликативной форме $\Delta \delta (X_{i} \phi Y_{j}) = a_{0} + a_{3} X_{i}^{"} Y_{i}^{"} \qquad (4)$

которой в табл. І отвечает регрессия В.І. От нее значимо отклоняются значения $\Delta \mathcal{S}$ для тех же соединений, что и от регрессий А.2 (см. табл. I).

Все расчеты выполнены на 3BM "Наири-С" по программе мно-гомерного регрессионного анализа, основанной на алгоритмах 18 .

Литература

- I. Miller S.I., J.Am.Chem.Soc., 81, IOI (1959); Multiple Variation and Linear Correlations, Preprint of Paper, Department of Chemistry, Illinois Institute of Technology, Chicago, Illinois, USA, 1962
- Пальм В.А., Основы количественной теории органических реакций, "Химия", Л., 1977

- 3. Exner 0., Coll. Czech. Chem. Communs., 4I, 1516 (1976)
- 4. Экснер О., Этот журнал, 14, 365 (1977)
- Истомин Б.И., Автореферат канд. диссертации, Тарту, ТГУ, 1973
- Истомин Б.И., Пальм В.А., Этот журнал, 8, 845 (1971),
 469,847 (1972), 10, 537, 567, 588 (1973)
- 7. Истомин Б.И., Сухоруков Ю.И., Сухорукова Н.А., Финкельштейн Б.Л., Этот журнал, 14, 476 (1977)
- 8. Истомин Б.И., Финкельштейн Б.Л., Сухоруков Ю.И., Донских В.И., Этот журнал, <u>14</u>, 492 (1977)
- 9. Истомин Б.И., Баранский В.А., Этот журнал, <u>15</u>, 215 (1978)
- IO. Bromilow J., Brownlee R.T.C., Topsom R.D., Taft R.W., J.Am.Chem.Soc., 98, 2020 (1976)
- II. Lynch B.M., Can.J.Chem., 55, 541 (1977)
- 12. Пальм В.А., Истомин Б.И., Этот журнал, 6, 427 (1969)
- ІЗ. Истомин Б.И., Пивоваров С.А., Селиванов В.Ф., Гидаспов Б.Н., Истомина С.Н., Этот журнал, $\underline{12}$, 289 (1975)
- 14. Истомин Б.И., Пальм В.А., Этот журнал, 9, 1225 (1972)
- 15. Коппель И.А., Этот журнал, 13, 237 (1976)
- I6. Ивин Б.А., Рутковский Г.В., Русавская Т.Н., Сочилин Е.Г., Этот журнал, <u>13</u>, 41 (1976)
- 17. Сендега Р.В., Макитра Р.Г., Процайло Т.А., Этот журнал, 14, 129 (1977)
- 18. Дрейпер Н., Смит Г., Прикладной регрессионный анализ, "Статистика", М., 1973

ППЛ И ВЗАИМОСВЯЗЬ СВОЙСТВ СО СТРОЕНИЕМ В РЯДУ ФОСФОРОРГАНИЧЕСКИХ СОЕДИНЕНИЙ. 5. Сравнение резонансных вкладов некоторых заместителей в рКа фосфорорганических и карбоновых кислот

Б.И.Истомин, В.А.Баранский

Институт нефте- и углехимического синтеза при Иркутском университете, Иркутск, 664033, а/я I665

Поступило 14 мая 1978 г.

Показано наличие линейной зависимости между резонансными вкладами $\Delta p K_{a(C)}$ и $\Delta p K_{a(P)}$ заместителей ОН, О и Рь в $p K_{a}(25^{\circ}C, H_{2}O)$ кислот ХСООН и $X_{1}X_{2}P(0)$ ОН. Из близости отношений $\Delta p K_{a(C)}/\Delta p K_{a(P)}$ и $P^{*}(XCOOH)/P^{*}(X_{1}X_{2}P(0)OH)$ сделан вывод о близости соотношений между резонансным и индукционным вкладами в суммарном эффекте заместителя в сериях диссоциации ХСООН и $X_{1}X_{2}P(0)OH$. Показана хорошая корреляция вкладов сопряжения с константами $\frac{1}{2}$ заместителей X.

Ранее показано $^{\rm I}$, что на процесс диссоциации кислот ${\rm X_1X_2P(0)0H}$ заместители ${\rm X_1}$ и ${\rm X_2}$ оказывают влияние в основном по индукционному и резонансному механизмам. При этом величина ${\cal P}^{\rm *}(25^{\rm o}{\rm C},\,{\rm H_20})$ для этой серии (I,322 $^{\rm to}$,026;cm. $^{\rm I}$) оказалась близкой к соответствующей величине $^{\rm 2-4}$ ${\cal P}^{\rm *}(25^{\rm o}{\rm C},\,{\rm H_20})$ карбоновых кислот XCOOH (I,809 $^{\rm to}$,028; см. $^{\rm 3}$), что связано с близостью величин ${\cal G}^{\rm *}$ начального и конечного состояний реакционных центров в этих сериях. Величина $^{\rm to}$

 $^{^{+}}$ В работах 5 для р 6 карбоновых кислот с объемными заместителями найдено 5 = 0,25 (25 $^{\circ}$ C, 50% 2-бутоксиэтанол-вода)

эффициента чувствительности к стерическому эффекту заместителей также приблизительно одинакова в этих сериях. Поэтому представляет интерес сопоставление резонансных вкладов заместителей в pK_a фосфорорганических и карбоновых кислот. В случае первой серии резонансные вклады $\triangle pK_{a(P)}$ некоторых заместителей определены ранее . Найдено, что резонансные вклады заместителей OR_1 и $p_{-,m}$ — $X_1C_6H_4$ практически не зависят, в пределах точности обработаных данных, от природы $R_1 \in (H$ или любой алкил) и X_1 . Кроме того, найдено , что учет электростатической поправки 6 , для pK_{a2} и pK_{a3} фосфоновых и фосфорной кислот не улучшает качества описания массива экспериментальных данных, но существенно изменяет величину вклада $\triangle pK_{a(P)}$ заместителя O^- .

В табл. I сопоставлены величины резонансных вкладов Δ рК $_{a(P)}$ заместителей ОН, О (с учетом и без учета электростатической поправки) и \mathbf{Ph} с резонансными вкладами Δ рК $_{a(C)}$ тех же заместителей выделенными из рК $_{a(25^{\circ}C)}$, \mathbf{H}_{20}) карбоновых кислот. Мы ограничились этими заместителями из-за того, что для других способных к сопряжению заместителей мы либо не имеем оценок рК $_{a}$ соответствующих карбоновых кислот, либо существующие оценки рК $_{a}$ фосфорорганических кислот определены недостаточно надежно. Вклады сопряжения Δ рК $_{a(C)}$ заместителей для серии карбоновых кислот вычислены по уравнению Δ

 Δ рК $_{a(C)} =$ рК $_{a,exp} - 4,748 + I,809 G*$ (I) Величины рК $_{a,exp}$ взяты из компиляции 6 , константы $^{+}$ G^{*} для Ръ и ОН взяты из 3 , для О $^{-}$ принято, в согласии с результатами 4,7 G^{*} = 0.

В случае заместителя 0^- электростатическая поправка и 0,13(25°C, 80% 2-метоксиэтанол-вода). Для pK_a кислот $X_IX_2P(0)$ ОН (25°C, H_2O) величина S равна 0,19 + 0,25. [†]Несмотря на появление в последнее время более надежных значений $G^{*}(\text{см.}^7)$, константы S^{*} использованы здось потому, что при анализе I^* pK_a кислот $X_IX_2P(0)$ ОН и расчете вкладов $\Delta pK_a(P)$ были использованы величины G^{*} из работы S^{*} .

Дримов в величину рка (ТОСООН) вычислена по рекомендованному уравнению 6 , 7 (см. 1) с использованием для иона 6 , 6 (см. 1) с использованием для иона 6 , 6 и с сомодели с локализацией зарядов на двух атомах 6 и с сохранением двойной связи 6 С=0. Такая модель выбрана по аналогии с использованой для учета соответствующих поправок заместителей 6 в рка 6 (6) (См. 6), 6 (см. 6), 6 (см. 6), 6 (см. 6) 6 (см. 6), 6 (см. 6) величина 6 (см. 6) найдена величина 6 (св.) = 1,27.

На рис.І показана линейная зависимость величин Δ рК $_{a(C)}$ для кислот XCOOH от соответствующих вкладов Δ рК $_{a(P)}$ для кислот $X_{1}X_{2}$ Р(0)ОН. Регрессия проходит через начало координат, т.е. через точку для $X=X_{1}=X_{2}=$ Ме и для других неспособных к сопряжению заместителей. На одну линию ложатся точки для заместителя О $^{-}$ как в случае учета, так и без учета поправок на электростатическое взаимодействие между заряженными заместителями и реакционным центром в конечном состоянии. Статистические показатели и коэффициенты зависимости

 $\Delta p K_{a(C)} = a + b \Delta p K_{a(P)}$ приведены в табл.2 и свидетельствуют об удовлетворительном качестве описания.

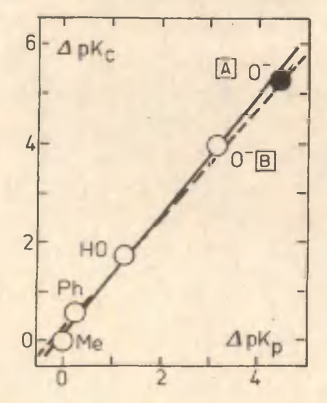


Рис.І. Зависимость между резонансными вкладами \triangle $\mathrm{pK}_{a(C)}$ и \triangle $\mathrm{pK}_{a(P)}$ в pK_{a} кислот ХСООН и $\mathrm{X}_{I}\mathrm{X}_{2}\mathrm{P}(0)$ ОН соответственно. Сплошная линия соответствует введению электростатической поправки для заместителей O^- (точка E), пунктирная — отсутствию такой поправки (точка A).

Таблица І

Резонансные вклады $\triangle pK_{a}(P)^{N} \triangle pK_{a}(C)^{B} pK_{a}(25^{\circ}C, H_{2}C)$ кислот $X_{T}X_{2}P(0)$ ОН и XCOOH

| 6 | | | | | | | | | |
|----|--|-------------------------|--|--|--|--|--|--|--|
| X | △pK _{a(P)} a (F) | pK _a (XCOOH) | △ pKa(C) | | | | | | |
| ОН | I,22I ±0,063 (5I) | 4,I2 ^e , * | I,743 | | | | | | |
| 0 | 3,160 ±0,041 ^B (40) ⁶ 4,486 ±0,041 ^F (40) ⁶ | 10,0 ^{e, ж} | 3,98 ^{3,M} 5,25 ^{3,K} | | | | | | |
| Ph | 0,256 ±0,04I (20) ⁶ | 4,20 ^e | 0,573 | | | | | | |
| Me | 0,00 ^A | | 0,00 ^Д | | | | | | |

а учетом электростатической поправки (см. I). B С учетом электростатической поправки (см. I). L Без учета электростатической поправки (см. I). L По определению (см. I , 3). E Усредненная величина из приводимых в компиляции B . B С учетом статистической поправки. B Вычистано по ур. (I). U С учетом электростатической поправки. E Квез учета электростатической поправки.

Очевидно, величины а в табл.2 не отличаются значимо от нуля, а коэффициенты ь значимо не различаются между собой. Следовательно при анализе pK_a карбоновых кислот, как и в случае pK_a кислот $X_1X_2P(0)OH$, мы не можем сделать вывода о необходимости учета электростатических поправок, ограничиваясь рассмотрением только заместителей O^- . Учет такой поправки влияет только на величину вклада сопряжения для этого заместителя. Однако ситуация изменяется когда рассматриваются 4 , заряженные заместители, не находящиеся в сопряжении с реакционным центром.

Следует отметить, что при наличии удовлетворительной линейной взаимосвязи между $\Delta p K_{a}(C)$ и $\Delta p K_{a}(P)$ хорошая корреляция между любой из этих величин и резонансными константами C_R или величинами C_R для заместителей C_R отсутствует не зависимо от того, учитываем мы электростатическую поправку для заместителя C_R или нет.

Согласно табл. I, величины $\Delta p K_{a(C)}$ несколько больше соответствующих величин $\Delta p K_{a(P)}$. Их отношение определяет

Таблица 2

Коэффициенты и статистики для регрессии (2) и регрессии $\Delta p K_{a(C)} = b \Delta p K_{a(P)}$

| | 8 | Ъ | n |
|--|------------|--------------------------|-------------------------------|
| с учетом фрКа (ва) для 0 | 0,15 ±0,10 | I,23 ±0,06 | 4ª |
| с учетом \triangle рК _{а (ев)} для 0 | | | |
| без учета \triangle рК _{а (ев)} для 0 | 0,19 ±0,12 | I,I4 ±0,06 I,I9 ±0,05 | 4 ^B 4 ^F |

аОбработка по ур.(2); R = 0.9976; $S_0 = 0.15$. ^бЕез свободного члена, т.е. при a = 0 в ур.(2); R = 0.9976; $S_0 = 0.18$. ^вОбработка по ур.(2); R = 0.9979; $S_0 = 0.19$. ^гБез свободного члена; R = 0.9974; $S_0 = 0.23$.

коэффициент в в ур. (2), величина которого близка (см. табл. 2) к отношенив $P^{\mathbf{X}}(\mathbf{X}\mathbf{C}\mathbf{O}\mathbf{H})/P^{\mathbf{X}}(\mathbf{X}_{\mathbf{Z}}\mathbf{P}(\mathbf{0})\mathbf{O}\mathbf{H}) = \mathbf{I.809/I.322} = \mathbf{I.3770.04}$, т.е. отношение резонансных вкладов заместителей в сериях $\mathbf{X}\mathbf{C}\mathbf{O}\mathbf{O}\mathbf{H}$ и $\mathbf{X}_{\mathbf{I}}\mathbf{X}_{\mathbf{Z}}\mathbf{P}(\mathbf{0})\mathbf{O}\mathbf{H}$ оказывается близким к отношению соответствующих индукционных вкладов. Отсыда следует вывод о том, что в этих сериях практически близки соотношения между резонансными и индукционными вкладами в суммарном эффекте заместителя.

Реакционные центры -C(0)ОН и >P(0)ОН относятся к - R-типу 7 , поэтому можно ожидать корреляции между вкладами сопряжения \triangle pK $_{(C)}$ и \triangle pK $_{(P)}$ и константами 7 G $_R^+$ = G $^+$ - G 0 заместителей $^{\rm Ph}$, ОН и О $^-$, относящихся к $^{\rm HR}$ -типу. Действительно, между \triangle pK $_{(C)}$ и G_R^+ существует превосходная линейная зависимость (см. puc. 2):

$$\triangle pR_{(C)} = (-2.20970.003) G_R^+$$

 $R = 0.9999 S_0 = 0.005$

проходящая через начало координат.

От этой линии регрессии значительно отклоняется точка для вклада сопряжения заместителя О⁻, вычисленная без ученв случае серии X₁X₂P(0)ОН имеются в виду вклады, связанные с одним заместителем.

+*Согласно свойству пропорции.

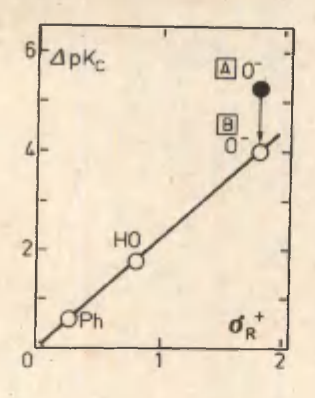


Рис. 2. Зависимость резонансних вкладов \triangle рК $_{(C)}$ в рК $_{a}$ (25° С, $_{2}$ 0) кислот ХСООН от констант (см. 7) $_{R}$ заместителей Х. Точка Б соответствует электростатически коррегированному, а точка А — некоррегированному значениям рК $_{a}$ ($_{2}$ 0С(0)ОН).

та электростатической поправки 6 . Этот факт однозначно доказывает необходимость введения такой поправки в случае заряженных заместителей, сопрягающихся с реакционным центром. Таким образом, величины $\mathrm{pk}_{\mathrm{g}}(\mathrm{H_{2}^{O}},\ 25^{\mathrm{o}}\mathrm{C})$ карбоновых кислот адекватно описываются уравнением

 $pK_a(XCOOH) = pK_a^0 + p^*G^* + p_R^+G_R^+ + pk_{es}$ где pK_a^0 – свободный член, численно совпадающий с pK_a уксусной кислотн (см. 7), p^* – чувствительность серии к индукционному влиянив заместителя X, p_R^+ – чувствительность серии к резонансному влиянив + , pk_e – соответствующая электростатическая поправка в случае заряженных заместителей X.

^{*}Коэффициенты ρ^* и ρ^* равны -I.809 и -2.209, если использовать основанную на р κ_a замещенных уксусных кислот шкалу постоянных σ^* , и могут несколько измениться при использовании других шкал (см. ?).

^{**}Вклад сопряжения по определению равен нулю для всех заместителей, не имеющих неподеленных электронных пар на $\, \, \not \sim \,$ атоме или не являющихся $\, \, \not \sim \,$, $\, \not \sim \,$ -ненасыщенными.

Для кислот $X_{1}X_{2}P(0)$ ОН корреляция между вкладами сопряжения заместителей Рh , ОН и О $^{-}$ и соответствующими константами G_{R}^{+} имеет несколько худние статистические показатели

$$\triangle P^{K}(P) = (-1.709 + 0.087) \bigcirc_{R}^{+}$$

 $R = 0.9974$ $S_{O} = 0.172$

От этой корреляции, как и в серии карбоновых кислот, значительно отклоняется оценка \triangle рК $_{(P)}$ для заместителя от, полученная без учета электростатической поправки. Однако от линии регрессии значимо отклоняются также точки, отвечающие резонансным вкладам заместителей оры и SR . Причины таких отклонений нам в настоящее время не понятны и этот вопрос требует дополнительных исследований. Однако рК $_{\rm a}$ ($_{\rm h}$ 20, 25°C) кислот $_{\rm h}$ 2 $_{\rm h}$ 20) он с $_{\rm h}$ 3 $_{\rm h}$ 4 оры или SR будут описываться уравнением

$$pK_{a}(X_{I}X_{2}P(0)OH) = pK_{a}(Me_{2}P(0)OH) + \rho^{*}\sum_{G}^{*} + a_{I}G_{I}^{*}G_{2}^{*} + 5\sum_{g}^{*} + \rho_{R}^{+}\sum_{G}^{*} + + \triangle pK_{es}$$

где $\mathcal{P}_{\mathbf{x}}^{\mathbf{x}}$ а и $\mathcal{S}_{\mathbf{x}}^{\mathbf{y}}$ — соответствующие факторы чувствительности $\mathcal{P}_{\mathbf{x}}^{\mathbf{x}}$ — $\mathcal{P}_{\mathbf{x}}^{\mathbf{x}}$ — $\mathcal{P}_{\mathbf{x}}^{\mathbf{x}}$ — электростатистическая поправка.

Авторы благодарят проф. В.А.Пальма за обсуждение результатов настоящей работы.

ЛИТЕРАТУРА

- I. Баранский В.А., Истомин Б.И., Калабина А.В., Реакц. способн.орг.соед., 13, 263 (1976)
- 2. Справочник химика, т.3, "Химия", М., 1965
- 3. Пальм В.А., Основн количественной теории органических реакций, I-ое издание, "Химия", Ленинград, 1967
- 4. Коппель И.А., Карельсон М.М., Пальм В.А., Реакц.способн. орг.соед., 10, 497 (1973)

- 5. Bowden K., Chapman N.B., Shorter J., J.Chem.Soc., 3370 (1964); Bowden K., Young K.C., Can.J.Chem., 47, 2775,(1969); see also Shorter J., Chap.2 in Advances in Linear Free Energy Relationships, Ed. by N.B.Chapmen and Shorter, Plenum Press, 1972
- 6. Пальм В.А., Нуммерт В.Н., Пюсса Т.О., Карельсон М.М., Коппель И.А., Реакц.способн.орг.соед., IO, 223 (1973)
- 7. Пальм В.А., Основы количественной теории органических реакций, 2^{Oe} изд., "Химия", Л., 1977
- 8. Таблицы констант скорости и равновесия гетеролитических органических реакций, под.ред. В.А.Пальма, т.I(I), ВИНИТИ АН СССР, М., 1975
- 9. Гордон А., Форд Р., Спутник химика, "Мир", М., 1976

ППЛ И ВЗАИМОСВЯЗЬ СВОЙСТВ СО СТРОЕНИЕМ В РЯДУ ФОСФОРОРГАНИЧЕСКИХ СОЕДИНЕНИЙ. 4. Анализ pK_{a} кислот $\mathrm{X}_{I}\mathrm{X}_{2}\mathrm{P}(0)\mathrm{OH}$ в водно-спиртовых смесях

В.А.Баранский, Б.И.Истомин

Институт нефте- и углехимического синтеза при Иркутском университете, Иркутск, 664033, а/я I665

Поступило 14 мая 1978 г.

В рамках единого уравнения описаны эксперимента-льные величины pK_a фосфиновых, pK_{aI} и pK_{a2} фосфоновых кислот в воде, 50% и 8С%(об.) водном этаноле (20 - 25° C). Показано, что в пределах данной реакционной серии растворитель влияет на интенсивность резонансного взаимодействия заместителей с реакционным центром, а интенсивность индукционного и стерического влияния заместителей в указанных растворителях практически постоянна.

В работе показано, что величины рка кислот X_IX₂P(0)ОН при закреплении всех возможных переменных факторов (температуры, растворителя и т.д.), кроме факторов строения долисываться уравнением

ины описываться уравнением $pR_a(X_1X_2P(0)OH) = a_0 + a_1\Sigma G_1^* + a_2G_1^*G_2^* + a_3\Sigma E_{s(1)} + a_4\Sigma \Delta pR_{a(1)}$

где Арка - резонансный вклад заместителя.

Если помимо заместителя варьируется растворитель, то в ур.(I) кроме члена, учитывающего аддитивный вклад, вносимый растворителем в энергетику процесса, могут появиться $^{2-4}$ перекрестные члены, характеризующие возмущение, ока-

зываемое растворителем на индукционный, стерический и резонансный эффекты заместителя

 $pK_{\mathbf{a}}(\mathbf{X}_{\mathbf{I}}\mathbf{X}_{2}P(0)OH) = B_{0} + B_{\mathbf{I}}\sum_{\mathbf{1}}G_{\mathbf{1}}^{*} + B_{2}G_{\mathbf{I}}^{*}G_{\mathbf{2}}^{*} + B_{3}\sum_{\mathbf{B}(1)} + B_{4}\sum_{\mathbf{1}}\Delta_{\mathbf{p}}K_{\mathbf{a}(1)} + B_{5}S + B_{6}S\sum_{\mathbf{1}}G_{\mathbf{1}}^{*} + B_{7}SG_{\mathbf{I}}^{*}G_{\mathbf{2}}^{*} + B_{3}\sum_{\mathbf{B}(1)} + B_{9}S\sum_{\mathbf{1}}\Delta_{\mathbf{p}}K_{\mathbf{a}(1)}$ (2)

где S — мера влияния растворителя. Величины pK_a в одном растворителе (S = константа) должны тогда описываться уравнением

 $pK_a(X_1X_2P(0)OH) = a'_0 + a'_1 \sum G_1^* + a'_2 G_1^*G_2^* + a'_3 \sum E_{s(1)} + a'_4 \sum \triangle pK_{a(1)}$ (3) где $a'_0 = B_0 + B_5$ S; $a'_1 = B_1 + B_6$ S; $a'_2 = B_2 + B_7$ S; $a'_3 = B_3 + B_8$ S; $a'_4 = B_4 + B_9$ S в согласии с ур.(2). Отличие оценок коэффициентов $a'_1 + a'_4$ этого уравнения от оценок коэффициентов $a'_1 + a'_4$ этого уравнения оценок коэффициентов a'

pK_a фосфиновых, pK_{aI} и pK_{a2} фосфоновых кислот в 50%(об.) водном этаноле

Экспериментальные величины pK_a кислот $X_IX_2P(0)$ ОН в воде хорошо описываются уравнениями типа (I) с учетом электростатической поправки $\Delta pK_{a(es)}$ (характеризующей электростатическое взаимодействие между двумя заместителями $0^-)^{++}$

$$pK_{a} = (3,055 \pm 0,037) + (-1,307 \pm 0,025) \sum G^{**} + (0,123 \pm 0,025) G^{**}_{1}G^{**}_{2} + (-0,214 \pm 0,018) \sum E_{g} + (1,066 \pm 0,011) \sum pK_{g}$$

$$R = 0,9972; S_{0} = 0,143; n = 109$$
(4)

или без ее учета

^{*}Использованные величины pK_a приведены в табл.4. **Резонансные вклады заместителей О в ур.(4) и (5) взяты равными 3,16 и 4,486 соответственно. Резонансные вклады других заместителей в ур.(4) и (5) одинаковы (см. 5).

 $pK_{a} = (3,047 \pm 0,036) + (-1,324 \pm 0,026) \sum G^{*} + (0,120 \pm 0,026) G^{*} G^{*}_{2} + (-0,219 \pm 0,014) \sum E_{s} + (1,027 \pm 0,014) \sum ApK_{a}$ $R = 0,9974; S_{0} = 139; n = 109$ (5)

Соответствующие коэффициенты чувствительности и статистики в этих уравнениях не различаются, не позволяя решить вопрос о необходимости введения электростатических поправок в коррелируемые величины. Поэтому для 50% водного этанола нами также проведены корреляции как с учетом (для рКа2 фосфоновых кислот) электростатической поправки так и без ее учета. Параметры этих корреляций представлены в табл. І.

Основными в табл. I следует считать, по соображениям, приведенным в работе 5 , корр. M I и M3. Коэффициенты a_0 + a_4 в этих корреляциях в пределах их ошибок одинаковы независимо от того учитываем мы электростатические поправки или нет.

Значения коэффициента a_2' в корр. №1 и №3 отличаются от соответствующих значений в корр. №2 и №4, что может являться следствием смещенности оценки a_2' в корр. №1 и №3 из—за неортогональности переменных a_2' и $a_1' = a_2'$ (подробнее см.). Оценки других коэффициентов в корр. №2 и №4 неотличимы от оценок коэффициентов в корр. №1 и №3 соответственно. Таким образом, и в этом случае (см. a_2') арилзамещенные кислоты, по-видимому, составляют единую совокупность с другими кислотами.

Если сравнить коэффициенты чувствительности в корр. &2 и в ур. &4 и в ур. &4

Таблица I Результаты анализа величин pK_a фосфиновых, pK_{aI} и pK_{a2} фосфоновых кислот в 50%(об.) водном этаноле по ур.(3)

| Коэф- ты и иока- затели корр. | № I ^a | № 2 [©] | № 3 ^B | № 4 ^r |
|---|--|--|---|--|
| a a a a a a a s o | 4,432±0,066 -I,157±0,043 0,010±0,042 -0,218±0,017 0,831±0,032 23 0,9989 0,090 | 4,673±0,063 -I,128±0,042 0,126±0,040 -0,234±0,020 0,739±0,016 54 0,9977 0,114 | 4,508±0,049 -I,250±0,043 0,023±0,03I -0,226±0,0I2 0,950±0,034 23 0,9987 0,094 | 4,76I±0,059 -I,425±0,059 0,150±0,035 -0,2I3±0,0I8 0,859±0,0I0 54 0,9976 0,II2 |

^аКорреляция с учетом электростатической поправки, но без учета соединений, в которых X — арилы. Из—за значимого отклонения исключена точка для $\operatorname{PhcH}_2(\operatorname{O}^-)\operatorname{P}(\operatorname{O})\operatorname{OH}$.

бкорреляция с учетом электростатической поправки и с учетом соединений с арильными заместителями. Из-за значимых отклонений исключены: p-HOØP(0)(OH)2,

PhCH2(0-)P(0)OH, p-NH2SO20P(0)(OH)2.

Вкорреляция без учета электростатической поправки и без учета соединений, в которых X — арилы. Из-за значимого отклонения исключена точка для Рысн₂(0⁻)Р(0)Он.

 Γ Корреляция без учета электростатической поправки, но с учетом соединений с арильными заместителями. Из-за значимых отклонений исключены точки те же, что и в корр. \mathbb{R}^2 (см. \mathbb{S}^6).

чески не зависит от растворителя; 2) растворитель несколько влияет на интенсивность резонансного взаимодействия заместителей с реакционным центром.

Совместные корреляции величин pK_a кислот $X_1X_2P(0)$ ОН в воде, 50% и 80%(об.) водном этаноле[†]

Величины рКа, измеренные в неводных и смешанных растворителях, могут содержать как значительные по величине ошибки, связанные, например, с изменением водородной функции стеклянного электрода в этих растворителях, так и систематические ошибки различные для данных полученных разными авторами. Статистическая обработка большого количества плохо самосогласованных данных может привести к значительной неопределенности в оценках коэффициентов во + во в ур. (2), что, в свою очередь, может привести к фактической незначимости коэффициентов, имеющих малые абсолютные значения. Поэтому для проверки ур. (2) мы использовали только величины рК, измеренные в воде, 50% и 80% (об.) водном этаноле, т.к. большинство последних величин получено одним автором (см. 8) и можно предположить, что они достаточно хорошо самосогласованы. Результаты статистического анализа величин рКа кислот ХТХ2Р(0)ОН в трех указанных растворителях с учетом электростатических поправок (для рКа2 фосфоновых, рказ и рказ фосфорной кислот) представлены в табл.2.

Мера влияния растворителя (S) введена операционно 3,4 из р K_{aT} феноксмфосфоновой кислоты по уравнению

 $S_i = pK_a(PhoP(0)(OH)_2, S_i) - pK_a(PhoP(0)(OH)_2, H_2O)$

 $S(H_2O) = 0$; S(50%) = I,40; S(80%) = 2,I4.

Корр. $\mathbb{M}I$ табл. 2, учитывающая только аддитивное влияние растворителя, достаточно хорошо, с точки зрения статиотических показателей, описывает всю совокупность величин pK_a ; однако коэффициенты B_4 и B_5 не равны единице, что противоречит ППЛ (см. 4). Корр. $\mathbb{M}2$, учитывающая все возможные перекрестные члены строение-растворитель, адекватно описывает всю совокупность величин pK_a , однако коэффициенты B_7 и B_8

⁺Использованные величины $pK_a(50\% C_2H_50H - H_20)$ и $pK_a(80\% C_2H_50H - H_20)$ см. табл.4. Величины $pK_a(H_20)$ взяты из⁵.

Таблица 2 Обработка рК_а по ур.(2) с учетом электростатических поправок в воде, 50% и 80%(об.) водном этаноле

| Козф- ты и пока- затели корр. | ₩ I ^a | №2 ^a | № 3 ^a | № 4 ⁸ | № 56 |
|---|-------------------------------|------------------------------|------------------------------|-------------------------------|-------------------------------|
| ВО | 3,250 [±] ±0,048 | 3,095 [±] ±0,04I | 3,098 [±] ±0,040 | 3,054 [±] ±0,040 | |
| ВІ | -I,28I [±] -0,032 | -I,305 [±] ±0,025 | -I,307 [±] -0,024 | -I,27I [±] ±0,025 | -I,I88 [±] -0,020 |
| B ₂ | 0,092 [±] ±0,032 | 0,IIO [±] ±0,024 | 0,IIO [±] ±0,023 | 0,II2 [±] ±0,024 | 0,033± |
| B3 | -0,228 [±] -0,023 | -0,230 [±] ±0,022 | -0,229 [±] ±0,017 | -0,2I7 [±] ±0,0I8 | -0,2I3 [±] ±0,0I3 |
| B4 | 0,903± ±0,0I3 | 0,986± ±0,012 | 0,989± ±0,0I2 | 0,982 [±] ±0,0I2 | 0,984 [±] ±0,0I0 |
| ^B 5 | 0,793± ±0,02I | I,0I6 [±] ±0,030 | I,0I0 [±] ±0,029 | I,055 [±] ±0,028 | I,046 [±] ±0,02I |
| B 6 | _ | 0,046 [±] ±0,0I3 | 0,048± ±0,013 | | |
| B ₇ | | -0,007 [±] ±0,017 | | | |
| B ₈ | - | 0,017 [±] ±0,025 | | | |
| В9 | - | -0,15I [±] ±0,0I3 | -0,153 [±] ±0,013 | -0,136 [±] ±0,012 | -0,119± ±0,010 |
| R S _O n | 0,992I 0,239 I88 | 0,9957 0,171 188 | 0,9959 0,168 188 | 0,9955 0,173 188 | 0,9974 0,I25 I68 |

 a Из-за значимых отклонений исключены: p-си ϕ (н) P(0) ОН, t-Вu(0⁻)P(0)ОН; Me₃SiCH₂(0⁻)P(0)ОН, Cl₂CHP(0)(ОН)₂ все в H₂O;

(m-NO20)2P(0)OH

бкорреляция получена из корреляции №3 после исключения всех отклоняющихся точек: p-втор(о)P(0)он, frho) 2P(0)он, ph2chP(0)(он)2, i-Pr(0)P(0)он, i-Bu(0)P(0)он, neo-Pen(0)P(0)он, мео(0)P(0)он, (p-мер)2P(0)он, мезстенге (о)P(0)он, мезстенге (о)P(0)он, p-NH2so2p(0)P(0)он, p-NH2so2p(0)P(0)он, p-NH2so2p(0)P(0)он, p-Mep(0)P(0)он все в Н2Gp-норР(0)(он)2, m-NO2p(0)P(0)он, p-NH2so2p(0)P(0)он, p-NH2so

незначимы. Значимость коэффициента в (см. корр. №2 и №3), если его появление не связано с неортогональностью (см. 1) переменной $\sum G^*s$ с другими переменными в ур.(2), формально свидетельствует о влиянии растворителя на интенсивность индукционного взаимодействия заместителя с реакционным центром. Однако исключение этого вклада (вместе с вкладами, коэффициенты которых в корр.№2 незначимы) не приводит к заметному изменению качества описания (ср. статистические показатели корр.№2 и №3 с показателями корр.№4). Кроме того, коэффициенты в и в в корр.№4, как того требует ППЛ, неотличимы от единицы, а коэффициент во не отличается от экспериментального значения $pK_a(Me_2P(0)OH)$ в воде $(3.04)^5$ Таким образом, корр. №4 удовлетворяет как статистическим, так и теоретическим требованиям. Коэффициенты во 🕈 вз в этой корреляции не отличаются, в пределах их ошибок, от соответствующих коэффициентов ур. (4), а значимость коэффициента во свидетельствует о наличии перекрестного члена ΣΑρΚ S(cm. yp.(2)).

Таким образом, корреляции табл. 2 подтверждают сделанное выше предположение о том, что растворитель оказывает влияние на интенсивность резонансного взаимодействия заместителя с реакционным центром при диссоциации кислот $X_{\mathsf{T}}X_{\mathsf{2}}^{\mathsf{P}}(0)$ 0H.

Результаты статистического анализа величин pK_a без учета электростатических поправок представлены в табл.3.

Таблица 3 Обработка pK_a по ур.(2) без учета электростатических поправок в воде, 50% и 80%(об.) водном этаноле

| II 3 | оэф- ы й ока- атели орр. | № I ^a | № 2 ^a | № 3 ⁸ | No 46 |
|---------|--------------------------------------|------------------|------------------|------------------|--------------|
| | BO | 3,237±0,042 | 3,III±0,046 | 3,166±0,038 | 3,159±0,034 |
| | BI | -I,3I6±0,028 | -I,289±0,032 | -I,322±0,024 | -I,320±0,022 |
| | B2 | 0,10I±0,027 | 0,136±0,031 | 0,106±0,023 | 0,I06±0,020 |
| | B3 | -0,230±0,020 | -0,225±0,023 | -0,244±0,0I7 | -0,245±0,0I4 |
| | B ₄ | 0,98I±0,008 | 0,948±0,0I0 | 0,954±0,008 | 0,95I±0,007 |
| | B ₅ | 0,854±0,0I8 | 0,924±0,04I | 0,962±0,024 | 0,963±0,020 |
| | B ₆ | | 0,058±0,034 | | |
| | B7 | | -0,I20±0,052 | | |
| | B ₈ | - | -0,006±0,027 | | |
| | B9 | | -0,039±0,0I0 | -0,042±0,008 | -0,038±0,007 |
| | R | 0,9966 | 0,9969 | 0,9979 | 0,9987 |
| | So | 0,210 | 0,186 | 0,160 | 0,125 |
| | n | I88 | I88 | I88 | I66 |

аИз-за значимых отклонений исключены те же точки, что и в корр.№І табл.2.

^оКорреляция получена из корр.№3 после исключения всех отклоняющихся точек: (i-Pr)₂P(0)0H, (Bu)₂P(0)0H, H₃PO₄, CICH₂P(0)(0H)₂, (Pho)₂P(0)0H, (p-MeØ)₂P(0)0H, (t-Bu)₂P(0)0H, Me(0⁻)P(0)0H, i-Pr(0⁻)P(0)0H, Me0(0⁻)P(0)0H, i-Bu(0⁻)P(0)0H, neo-Pen(0⁻)P(0)0H, p-NH₂NHØ(0⁻)P(0)0H, Ph₂CH(0⁻)OH, p-NH₂SO₂ØP(0)(0⁻)OH, BCE B H₂O; (p-MeØ)₂P(0)OH, (p-HoØ)₂P(0)OH, BCE B 50% EtOH-H₂O; (i-Pr)₂P(0)OH, (EtO)₂P(0)OH, (Pro)₂P(0)OH, (Pho)₂P(0)OH, (p-MeØ)₂P(0)OH, BCE B 80% EtOH-H₂O

Таблица 4 Величины $^{\mathrm{a}}$ рК $_{\mathrm{a}}$ (50% и 80% (об.) $^{\mathrm{c}}_{\mathrm{2}}$ Н $_{\mathrm{5}}$ ОН-Н $_{\mathrm{2}}$ О) кислот $^{\mathrm{x}}_{\mathrm{1}}$ Х $_{\mathrm{2}}$ Р(О)ОН

| | XI | X ₂ | pKaI(pKa2) | I | 2 | 3 |
|---|-------------------------------------|-----------------------|--|---------------------|---------------------|--|
| | I | 2 | 3 | m-Clø | OH(0 ⁻) | 3,13 ^b (6,06 ^c) |
| | | | | m-NH ₂ Ø | OH(0-) | (6,43°) |
| | | EtOH - | | m-Brø | OH(0_) | 3,15 ^b (6,08 ^c) |
| | PhO | Ph0 | 2,28 | m-OHØ | OH(0 ⁻) | 3,40 ^b (6,35 ^c) |
| | p-MeØO | p-MeØO | 2,32 | m-NOgø | OH(0 ⁻) | 2,67 ^b (5,55 ^c) |
| | Pr | Ph | 4,15 | р-ноосф | OH(0 ⁻) | 3,10 ^b |
| | i-Pr | Ph | 4,28 | m-HOOCØ | OH(0_) | 3.13 ^b |
| | c-Pen | Ph | 4,2I | Ph0 | OH(0 ⁻) | 2,91 ^b |
| | Ph | Ph | 3,43 | p-MeØO | OH(0-) | 2,99 ^b |
| | p-MeØ | Ph | 3,74 | 8 | % EtoH | - H ₂ O |
| | p-MeØ | p-MeØ | 3,91 | Me | Me | 5,15 |
| | p-MeOØ | p-MeOØ | 3,82 | i-Pr | i-Pr | 5,63 |
| | Me | OH(O_) | 3,95 ^b (7,02 ^c) | Bu | Bu | 5,63 |
| | Et | OH(0) | 4,05 ^b (7,22 ^c) | MeO | MeO | 3,0I |
| | Pr | OH(O) | 4, I5 ^b (7, 32 ^c) | EtO | EtO | 3,15 |
| | Bu | | 4,25 ^b (7,42 ^c) | PrO | PrO | 3,29 |
| | c-Pen | OH(0 ⁻) | 4,37 ^b (7,47 ^c) | Ph0 | Ph0 | 2,27 |
| | PhCH ₂ | OH(O) | 3,60 ^b (6,52 ^c) | p-MeØO | p-MeØO | 2,91 |
| ì | (Ph) _z C | | 4, I5 ^b (7, I2 ^c) | Pr | Ph | 4,72 |
| | Ph | OH(O ⁻) | 3,45 ^b (6,33 ^c) | i-Pr | Ph | 4,89 |
| | p-MeØ | OH(O) | 3,62 ^b (6,50 ^c) | c-Pen | Ph | 4,85 |
| | p-CIØ | | 3,23 ^b (6,II ^c) | Ph | Ph | 4,24 |
| | p-Brø | OH(O ⁻) | | p-MeØ | p-MeØ | 4,45 |
| | р-ОНØ | | 3,74 ^b (6,61 ^c) | p-MeOØ | p-MeOØ | 4,59 |
| | p-EtOØ | OH(O ⁻) | 3,67 ^b (6,60 ^c) | p-CIØ | p-CIØ | 3,48 |
| | p-EtSØ | OH(0) | 3,44 ^b (6,44 ^c) | p-MeØ | Ph | 4,45 |
| | p-NO2Ø | | 2,60 ^b (5,54 ^c) | m-NO2Ø | m-NO2Ø | 2,37 |
| | p-AcNHØ | OH(0 ⁻) | 3,45 ^b (6,34 ^c) | c-Pen | OH(0 ⁻) | 5,00 ^b |
| | p-NH ₂ SO ₂ Ø | OH(0 ⁻) | 2,82 ^b (5,64 ^c) | Ph0 | OH(0_) | 3,66 ^b |
| 1 | m-NH ₂ NHØ | OH(0_) | (6,34°) | p-MeØO | OH(O ⁻) | 3,73 ^b |
| 0 | | | | | | |

 a pK $_{a}$ (exp) взяты из справочника 8 . b Табулируемая величина; pK pK $_{a}$ (exp) + 1g2. c Табулируемая величина; pK pK $_{a}$ (exp) - 1g2 - b c b c c

В этих корреляциях сохраняется та же закономерность, что и в корреляциях табл.2, однако коэффициенты \mathbf{B}_4 в корр. №3 и №4 табл.3 незначительно, но значимо отличаются от единицы. Таким образом, корреляции с учетом электростатических поправок (корр. табл.2) формально более строго соответствуют требованиям ППЛ, хотя малая величина отклонения коэффициентов \mathbf{B}_4 в корр. №3 и №4 табл.3 от единицы не позволяет, по нашему мнению, и в этом случае сделать вывод о необходимости учета электростатических поправок.

Все расчеты выполнены по программам многомерного регрессионного анализа, основанным на алгоритмах руководства⁹, на ЭЦВМ "БЭСМ-4" и"Наири С". Для статистических оценок использован 5% уровень риска.

Литература

- Истомин Б.И., Баранский В.А., Лобанов А.Д., Гречкин Е.Ф., Реакц.способн.орг.соед., <u>12</u>, 69 (1975)
- 2. Пальм В.А., Основы количественной теории органических реакций, "Химия", Л., 1977
- 3. Истомин Б.И., Сухоруков Ю.И., Сухорукова Н.А., Финкельштейн Б.Л., Реакц.способн.орг.соед., <u>14</u>, 460 (1977)
- 4. Истомин Б.И., Баранский В.А., Реакц.способн.орг.соед., 15, 215 (1978)
- 5. Баранский В.А., Истомин Б.И., Калабина А.В., Реакц.способн.орг.соед., <u>13</u>, 263 (1976)
- Kondo I., Matsui T., Tokura N., Bull. Chem. Soc. Japan, <u>42</u>, 1037 (1969)
- 7. Бейтс Р., Определение рН. Теория и практика, "Химия", л., 1972
- 8. Таблицы констант скорости и равновесия гетерогенных органических реакций, под.ред. Пальма В.А., ВИНИТИ АН СССР <u>I(I)</u>. 1975
- 9. Дрейпер Н., Смит Г., Прикладной регрессионный анализ, "Статистика", М., 1973

ИЗУЧЕНИЕ КИНЕТИКИ ІИДРОЛИЗА БЕНЗОАТОВ XII. ЩЕЛОЧНОЙ ГИДРОЛИЗ АЛКИЛБЕНЗОАТОВ В ПРИСУТСТВИИ ДОБАВОК Naclo₄ и Nacl (I)

В.М. Нуммерт, М.В. Пийрсалу

Тартуский государственный университет, лаборатория химической кинетики и катализа, г. Тарту, ЭССР

Поступило 20 мая 1978 г.

Исследована кинетика щелочного гидролиза замещенных алкилоензоатов ${}^{\rm C}_{6}{}^{\rm H}_{5}{}^{\rm COO-X}$ (x = ${}^{\rm CH}_{2}{}^{\rm Cl}_{3}$; ${}^{\rm CH}_{2}{}^{\rm COO-X}$) в зависимости от концентрации добавок ${}^{\rm NaClo}_{4}$ и ${}^{\rm NaCl}$ при ${}^{\rm SOO}{}^{\rm C}$ в воде. В случае всех изученных алкилоензоатов с электронейтральными заместителями обнаружены отрицательные солевые эффекты. Величины солевых эффектов в случае добавок ${}^{\rm NaClo}_{4}$ значительно больше, чем это наблюдается в случае добавок ${}^{\rm NaClo}_{4}$ значительно больше, чем это наблюдается в случае добавок ${}^{\rm NaClo}_{4}$ значительно (${}^{\rm Igk}_{c}$ – ${}^{\rm Igk}_{e}$) = ${}^{\rm A}$ ${}^{\rm Igk}$ = a ${}^{\rm Igk}_{o}$ + b (${}^{\rm K}_{o}$ — константа скорости при нулевой концентрации добавляемого электролита) очень незначительно (${}^{\rm A}$ = ${}^{\rm C}$, ${}^{\rm A}$ ${}^{\rm NaClo}_{4}$, ${}^{\rm C}$ — ${}^{\rm C}$, ${}^{\rm A}$ ${}^{\rm C}$ — ${}^{\rm C}$ ${}^{\rm C}$ — ${}^{\rm C}$ ${}^{\rm C}$ — ${}^{\rm C}$ — ${}^{\rm C}$ ${}^{\rm C}$ — ${}^{\rm C}$ ${}^{\rm C}$ — ${}^{\rm C}$ — ${}^{\rm C}$ ${}^{\rm C}$ — ${}^{\rm C}$ —

Найдена обратная пропорциональность между величинами а и константами реакционной серии § . Произведение а рада данного раствора соли можно считать постоянной величиной, характеризующей изменение величины ради переходе от чисто водного раствора к данному солевому раствору. Предидущие наши исследования — солевых эффектов для, например, двадцати межионных реакций с участием субстрата с заряженным заместителем (щелочной гидролиз бензоатов и фенилтозилатов) в присутствии добавок нейтрального электролита мас1 показали, что величина максимального солевого эффекта не всегда может быть интерпретирована в рамках чисто электростатической модели — солевого вобрата и в сегда может быть интерпретирована в рамках чисто электростатической модели — солевого вобрата не всегда может быть интерпретирована в рамках чисто электростатической модели — солевых эффектов для, например и правительного предменения пре

$$lgk_{\infty} - lgk_{0} = \frac{\mathcal{E}\Delta P_{el}^{\sharp}}{2.3RT} = \frac{Ne^{2}Z_{Y}.Z_{Y},}{2.3RT^{\circ}\mathcal{E}^{\circ}l_{XY}^{\sharp}} = \frac{331 Z_{Y}.Z_{Y}'}{2.3RT^{\circ}\mathcal{E}^{\circ}l_{XY}^{\sharp}}$$
(1)

где предельное значение наблюдаемой константы скорости при бесконечном увеличинии концентрации электролита (на "плато"), ко — константа скорости при нулевой концентрации электролита, и — число Авогардо, е — элементарный заряд, голосовначают заряды заместителя и реакционного центра в активированном состоянии, состояние между центрами зарядов в активированном состоянии.

Трудности сводятся к тому, что солевые эффекты dlgk для одного и того же заряженного заместителя, обнаруженные в случае двух, достаточно аналогичных реакционных серий (шелочной гидролиз фенилбензоатов и фенилтозилатов), вполне значимо отличаются друг от друга. Однако, если при вычислении эффекта электростатического взаимодействия заряженного заместителя с реакционным центром (в случае щелочного гидролиза фенилтозилатов и фенилбензоатов) предположить локализацию ионного заряда в активированном состоянии на атоме кислорода уходящей группы и полную нейтрализацию противоионом в конной паре, то указанные величины для одного и того же заряженного заместителя должны оказаться равными. Отличие экспериментальных значении 🛆 lgk 😞 от вычисленных, согласно формуле (І), электростатических поправок приводит к вполне определенным трудностям. С одной стороны не ясно, насколько оправдано использование столь упрощенной модели при интерпретации электростатической составляющей в случае как фенилоензоатов так и фенилтозилатов. С другой

стороны не исключено, что экспериментальная величина 1 выпочает также изменения интенсивности специрической сольватации. С целью получения дополнительной информации об указанных вопросах, нами было предпринято изучение влияния добавок NaClo4 на кинетику щелочного гидролиза фенилоензоатов и фенилозилатов в случае как заряженных так и электронейтральных заместителей. Было найдено 13,14, что для реакций с участием субстратов с электронейтральными заместителями наблюдаются довольно большие солевые эффекты, величины которых линейно зависят от значений 1gk0:

 $\Delta lgk = a lgk_0 + b$, (2) где k_0 – константа скорости при нулевой концентрации добавляемого электролита.

Предполагалось, что величины солевых эффектов субстратов с электронейтральными заместителями характеризуют изменение интенсивности специфической сольватации при переходе от чистой воды к солевым растворам. Путем вычитания члена специфической сольватации от суммарного солевого эффекта, для заряженных заместителей могут быть найдены величины солевых эффектов чисто электростатического характера.

В этих целях целесообразно более подробно изучать зависимость величин солевых эффектов субстратов с электронейтральными заместителями в зависимости от природи последних для
тех реакционных серий и нейтральных электролитов, в случае
которых были изучены солевые эффекты применительно к заряженным заместителям.

Ниже будут приведены данные о кинетике щелочного гидролиза замещенных алкилбензоатов в зависимости от концентрации добавок NaClO_L и NaCl.

Экспериментальная часть

Кинетика щелочного гидролиза замещенных алкило́ензоатов C_6H_5COOX ($X = CH_2C1$, $(CH_2)_2C1$, $(CH_2)_2OCH_3$, CH_3 , C_2H_5)изучалась в зависимости от концентрации добавок $NaC1O_4$ и NaC1 при $50^{O}C$ в воде.

Таблица І

Константы скорости щелочного гидролиза бензоатов C_6H_5COOX в присутствии добавок $NaClo_4$ при 50^OC в воде. В скобках указана средняя квадратическая онибка среднего арифметического.

| 10 ² .C _{NaOH} | C _{NaClO4} | M-1k.cek-1 | 10 ² .C _{NaOH} | C _{NaClO} | 10.k M-1.cek-1 |
|------------------------------------|---------------------|--------------------------------------|------------------------------------|--------------------|-------------------------|
| X = C | H ₂ Cl | | | X = C | H ₃ |
| 0,121 | - | 5,03+0,15 ₄ 5,18+0,28* | 4,85 | - | 2,79+0,07,2,91+0,04 |
| 0,121 | 1,00 | 3,21+0,11 | 4,85 | 0,986 | 2,09+0,04 |
| 0,121 | 4,00 | 2,03+0,13 | 4,85 | 4,07 | 1,24+0,02 |
| 0,121 | 5,31 | 1,50+0,10 | 4,85 | 5,53 | 1,02+0,01 |
| X = (CH2)2C1 | | | $X = C_2H_5$ | | 2 ^H 5 |
| 2,42 | - | 0,543+0,009 | 9,22 | - | 1,44+0,03, 1,38+0,06 |
| 2,42 | 0,989 | 0,334+0,009 | 9,22 | 1,12 | 0,991+0,011 |
| 2,42 | 4,01 | 0,187+0,004 | 9,22 | 3,84 | 0,608+0,001 |
| 2,42 | 5,31 | 0,171+0,003 | 9,22 | 5,06 | 0,477+0,004 |
| | | | 6,78 | 5,31 | 0,555+0,014 |
| X = (| OH2)20CH3 | | | | |
| 4,85 | - | 0,292+0,004 | | | |
| 4,85 | 1,00 | 0,203+0,005 | | | |
| 4,85 | 4,00 | 0,128+0,001 | | | |
| 4,85 | 5,29 | 0,109+0,006 | | | |
| | | | | | |

[∮] Приведены в работе 4.

Табинца 2

Константы скорости мелочного гидролиза бензоатов строения C_6H_5 СООХ в присутствии добавок Mac1 при 50° С в воде. В скобках указана средняя квадратическая ожибка среднего арифметического

| 10 ² .C _{NaOH} | C _{WaClO4} | k H ⁻¹ .cek ⁻¹ | 10 ² .C _{NaOl} | H Owaclo4 | 10.k M ⁻¹ .cek ⁻¹ |
|------------------------------------|------------------------|---|------------------------------------|---------------------|--|
| | X = CH ₂ Cl | | | X = CH ₃ | |
| 0,121 | - | 5,03+0,15 | 4,85 | - | 2,79+0,07 |
| 0,121 | 1,00 | 4,77+0,13 | 4,85 | 1,00 | 2,69+0,06 |
| 0,121 | 4,00 | 3,71+0,22 | 4,85 | 4,00 | 2,73+0,04 |
| 0,121 | 4,84 | 3,45+0,17 | 4,85 | 4,81 | 2,74+0,04 |
| | X = (CH ₂) | 2 ^{C1} | | x = C2H5 | |
| 2,42 | - | 0,543+0,0 | 09 9,22 | - | 1,4440,03 |
| 2,42 | 1,00 | 0,461+0,0 | 11 9,22 | 0,967 | 1,30+0,02 |
| 2,42 | 4,00 | 0,422+0,0 | 008 9,22 | 3,81 | 1,30+0,03 |
| 2,42 | 4,82 | 0,422+0,0 | 11 9,22 | 4,55 | 1,27+0,02 |
| 8 7 | x = (CH ₂) | 2 ^{OCH} 3 | | | |
| 4,85 | - | 0,292+0, | 004 | | |
| 4,85 | 1,00 | 0,264+0, | | | |
| 4,85 | 4,00 | 0,265+0, | 008 | | |
| 4,85 | 4,84 | 0,270+0, | | | |

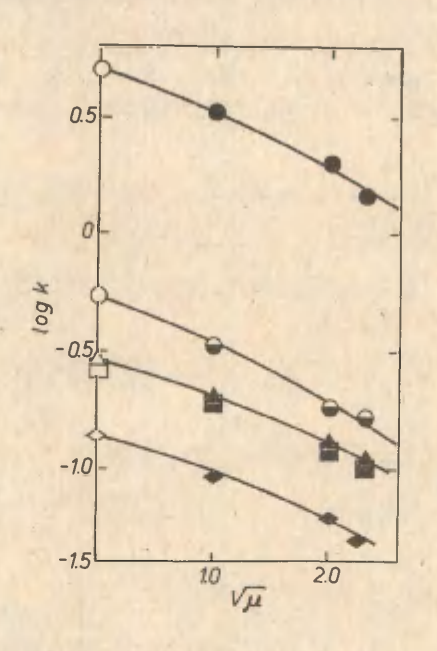


Рис. I. Зависимость 1gk от \sqrt{M} для щелочного гидролиза замещениих алкилоензоатов C_5H_5COO-X в присутствии добавок $NaClO_4$. $50^{\circ}C$, H_2O — $X = CH_2Cl$ — $X = CH_3$

$$\Theta - X = (CH_2)_2C1$$
 $\Phi - X = C_2H_5$
 $\Phi - X = (CH_2)_2CCH_3$

Светине точки на ординате относятся к измерениям без добавок $NaClO_4$, т.е. при $C_{NaClO_4} = 0$.

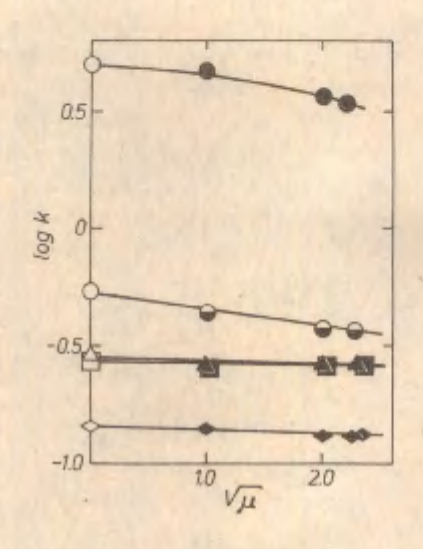


Рис. 2. Зависимость 1gk от $\sqrt{\mu}$ для щелочного гидролиза замещенных алкилоензоатов C_6H_5COO-X в присутствии добавок NaCl. $50^{\circ}C$, H_2O .

$$\Theta - X = (CH_2)_2C1 - X = C_2H_5$$

$$\triangle$$
 - X = (CH₂)₂OCH₃

Светлые точки на ординате относятся к измерениям без добавок $n_{\rm aCl}$, $\tau_{\rm ee}$. при $c_{\rm NaCl}$ = 0

Получение и характеристика исследованных алилоензоатов и методика кинетических измерений приведены в работах³, 4. Кинетические измерения проводились в псевдомономолекулярных условиях при большом избытке щелочи. Константы скорости второго порядка вычислялись путем деления псевдомономолекулярных констант скорости на концентрацию щелочи. Измерения при кахрой ионной силе повторялись 4—6 раз и вычислялись арифметические средние полученных констант скорости второго порядка. Соответствующие величины к при различных концентрациях имас1 приведены в таблицах I и 2.

На рисунке I представлены зависимости 1gk от $\sqrt{\mu}$ (μ - ионная сила) для щелочного гидролиза замещенных алилоензоатов C_6H_5COOX в присутствии добавок $NaClo_A$.

На рисунке² приведена такая же зависимость в присутствии добавок NaCl.

Обсуждение результатов

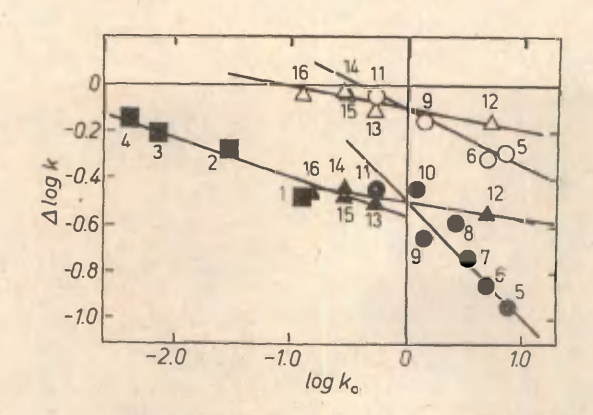
Величины солевых эффектов $\Delta \lg k = \lg k_c - \lg k_o$ (k_c - константа скорости в присутствии нейтральной соли) щелочного гидролиза алкилоензоатов в присутствии добавок NaClO_4 значительно превышают те, которые наолюдаются в присутствии добавок NaCl (см. таол.3). Однако в обоих случаях введение заместителей приводит лишь к незначительным изменениям в величинах $\Delta \lg k$. Об этом же свидетельствуют низкие значения параметров а в уравнении (2), по сравнению с таковыми для фенилоензоатов и фенилозилатов I3 , I4 (см. рис.3).

С учетом данных для всех заместителей для алкилоензоатов в присутствии добавок NaClO₄ соблюдается следующее соотно— шение:

$$\triangle lgk^{NaClO}4 = -0.49(\pm0.01) - 0.07(\pm0.02)lgk_0$$

r = 0.892; s = 0.02

С учетом панных только для электроотрицательных заместителей



получается следующее соотношение:

$$\Delta lgk^{NaClO_4} = -0.49(\pm 0.02) - 0.08(\pm 0.04) lgk_0$$

 $r = 0.891; s = 0.04$

Для алкилоензоатов в присутствии добавок NaCl (все заместители учтены) получается:

$$\triangle lgk^{NaCl} = -0,10(\pm 0,02)-0,09(\pm 0,03)lgk_0$$

 $r = 0,862;$ $s = 0,04$

Таблица 3

Величины $1 \mathrm{gk}_{\mathrm{o}}$, $1 \mathrm{gk}_{\mathrm{c}}$ и $\Delta 1 \mathrm{gk} = 1 \mathrm{gk}_{\mathrm{c}} - 1 \mathrm{gk}$ для щелочного гидролиза алкилоензоатов $\mathrm{C_6H_6COOX}$ при 50 С в присутствии добавок NaClo_{Λ} и NaCl ($\sqrt{\mu}=2,3$)

| Заместитель | Ваместитель lgk _o | | NaClO ₄ | Добавки | NaCl |
|--------------------------------------|------------------------------|------------------|--------------------|------------------|------------------|
| r | | ∆lgk | lgk _c | △lgk | 1gk _c |
| -CH ₂ Cl | 0,702 | -0,54 | 0,176 | -0,16 | 0,538 |
| 2 2 | -0,265 -0,37* | -0,50 -0,40** | -0,767 | -0,11 -0,005 | -0,375 ** |
| -cH ₂ CH ₂ OCH | 30,53 -0,60* | 5 -0,43 | -0,963 | -0,03 0,03 | -0,569 ** |
| -CH ₃ | -0,554 -0,54* | -0,44 | -0,991 | -0,01 -0,02** | -0,562 |
| -CH ₂ CH ₃ | -0,842 -0,86* | | -1,29 | -0,05 -0,04** | -0,897 |

Вычислено исходя из lgk_o , приведенного в работе 4

Приведены в работе 4

Для электроотрицательных заместителей последнее уравнение принимает вид:

$$\triangle lgk^{NaCl} = -0.10(+0.02)-0.09(+0.04) lgk_0$$

 $r = 0.902; s = 0.04$

Из уравнения (2) следует, что величины а и b можно также найти исходя из линейной зависимости между lgk_c и lgk_o : $lgk_c = (a+1)lgk_o + b$ (3)

Величины а и $_{\rm b}$, для трех изученных нами реакционных серий в присутствии добавок $_{\rm NaClo}_4$ и $_{\rm NaCl}$ ($_{\rm LL}=2.3$), вычисленные согласно уравнениям (2) и (3), приведены в таблице 4. Видно, что величины а и $_{\rm b}$, вычисленные согласно двум разным способам, практически совпадают. Также видно, что величину $_{\rm b}$ можно считать, в случае изученных нами реакционных серий, постоянной в присутствии как добавок $_{\rm NaClo}_4$ так и $_{\rm NaCl}$ ($_{\rm LL}=2.3$). Величина $_{\rm b}$, по-видимому, в незначительной мере зависит от температуры, поскольку значение, найденное для гидролиза фенилтозилатов при $_{\rm LL}=2.3$ 0 отличается от величин, вычисленных для гидролиза бензоатов при $_{\rm LL}=2.3$ 0.

Зависимость $\lg k_c$ от $\lg k_o$ для трех реакционных серий (щелочной гидролиз фенилоензоатов, алкилоензоатов при 50° С и щелочной гидролиз фенилоензоатов при 75° С), приведенная на рисунке 4, иллюстрирует постоянство параметра b для рассмотренных реакционных серий. На этом рисунке прямые для различных реакционных серий пересекаются в одной и той же точке, где $\lg k_o = 0$ и $\lg k_c = b$. В случае добавок $\lg k_c = 0$ и $\lg k_c = 0$, $\lg k_c = 0$,

Таким образом, в случае рассмотренных реакционных серий параметр в можно считать постоянной величиной, не зависящей от реакционной серии и характеризуищей какое-то постоянное свойство раствора с данной концентрацией добавляемого конкретного электролита или какое-то постоянное влияние такого раствора на изучаемый процесс.

Если для какого-то раствора соли известно значение в и

Величины в и визученных реакционных серий в случае добавок жесто $(\sqrt{\mu}=2,3)$ и величин β , для этих реакционных серий без добавок нейтральной соли

| Реакциониея оерия | 9 | Добавки масто4 | 24 | LOGSER | Nacl |
|---|--------|--|--|---------------|---|
| | (420) | * 10 | * q | # ed | * Q |
| 1. с _{6H5} соос _{6H4} -х+ивон. 505с, H20 | | 0,856 ³ -0,46±0,11(2) -0,49±0,06(2) -0,22±0,05(2) -0,11±0,03(2) -0,57±0,17(3).***0,44±0,09(3).***0,30±0,06(3) -0,06±0,10(3) -0,49±0,05(3).***0,30±0,06(3) | -0, 49+0, 06(2) *0, 44+0, 09(3) -0, 49+0, 05(3) | -0,22+0,05(2) | -0,11+0,03(2) |
| 2. CH C6H4SO2OC6H4-X+ + NaOH 75°C, H2O14 | 1,505 | -0,21±0,04(2) -0,63±0,08(2) -0,21±0,04(3) -0,63±0,07(3) | -0,63±0,08(2) -0,63±0,07(3) | | |
| 3. с ₆ н ₅ соо-х+йвон, 50 ³ с, н ₂ о | 2,0815 | -0.07±0.02(2) -0.49±0.01(2) -0.09±0.03(2) -0.10±0.02(2) -0.08±0.04(2) *-0.49±0.02(2) -0.09±0.02(2) -0.10±0.02(2) -0.06±0.02(3) -0.49±0.02(3) -0.09±0.03(3) **0.10±0.02(3) -0.09±0.03(3) **0.10±0.02(3) ** | -0, 49±0, 01(2) -0, 49±0, 02(2) -0, 49±0, 02(3) *** | | -0,09±0,03(2) -0,10±0,02(2) -0,09±0,02(2) -0,10±0,02(2) -0,09±0,03(3) -0,10±0,02(3) -0,09+0,03(3) **0,10+0,02(3) |
| | | | | | |

В скобках указано уравнение, согласко которому были вычаслены величины а и в

*** Учтены также орто-заместители.

^{**} Учтены только электроотринательные заместители,

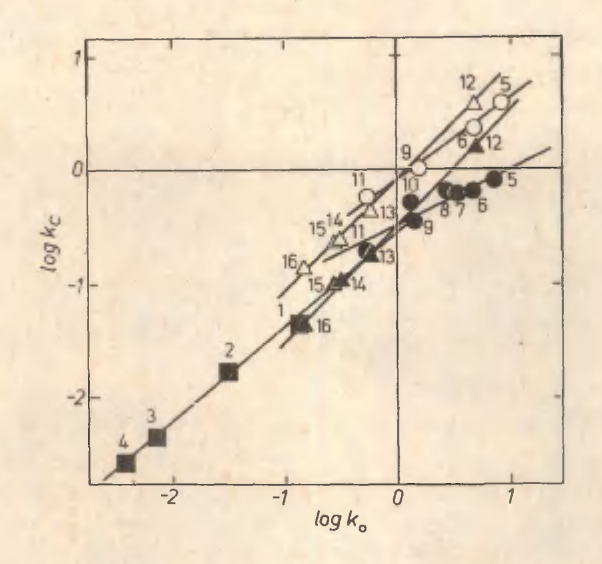


Рис. 4. Зависимость 1gk от 1gk при и = 2,3. Нумерация и обозначения точек соответствуют рис. 3.

А 1 gk для одного производного с незаряженным заместителем в какой-то реакционной серий, то уравнение (2) позволяет вычислить как величину солевого эффекта для любого другого производного с незаряженным заместителем так и величину специрического солевого эффекта в случае заряженных заместителей этой же реакционной серии.

Уравнение (2) можно записать следующим образом:

$$\Delta \lg k_{js}^{x} = a_{js}(\lg k_{jo}^{o} + \beta_{jo} \delta^{x}) + b_{s}$$

$$\triangle lgk_{js}^{x} = a_{js} \int j_{0} d^{x} + a_{js} lgk_{j0}^{0} + b_{s}$$
 (3)
Индексн x, j и s обозначают заместитель, реакционную серию

и раствор с постоянной концентраций соли, соответственно. В уравнении (3) k. обозначает константу скорости незамещенного производного при $\mathbf{c}_{\text{СОЛЬ}} = \mathbf{0}$, $\mathbf{p}_{\mathbf{j_0}}$ — константа чувствительности к влиянию заместителей при $\mathbf{c}_{\text{СОЛЬ}} = \mathbf{0}$. В случае одной и той же реакционной серии сумма $\mathbf{a}_{\mathbf{j_0}}$ $\mathbf{1gk_{j_0}}$ + $\mathbf{b}_{\mathbf{g}}$ является постоянной величиюй.

С другой стороны мы имеем

 $\Delta \lg k_{js}^{x} = \lg k_{js}^{x} - \lg k_{jo}^{x} = (\beta_{js} - \beta_{jo}) \delta^{x} + (\lg k_{jo}^{o} - \lg k_{jo}^{o})$ (4) β_{js} обозначает константу чувствительности к влиянию заместителей в случае добавок нейтральной соли.

Из уравнений (3) и (4) следует, что

$$a_{js} \beta_{jo} = \beta_{js} - \beta_{jo}$$
 (5)

Соотнишение (5) характеризует взаммосвязь между вели-

THAME ajs . Pio H Pis.

В таблице 4 видно, что чувствительность к влиянию добавок нейтрального электролита ај увеличивается с уменьшением величины роверили, не имеет ли место об-

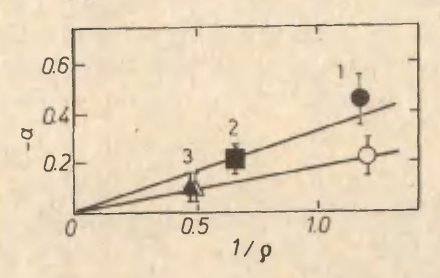


Рис. 5. Зависимость а от $\frac{1}{9}$ ($\sqrt{\mu}$ = 2,3) 1. $C_6H_5CO_2OC_6H_4X$ + NaOH, 50°C 2. $CH_3C_6H_4SO_2OC_6H_4X$ + NaOH, 758C 3. C_6H_5COOX + NaOH, 50°O — добавки NaClO₄ ратная пропорциональность между величинами а и ρ_{jo} . На рисунке 5 приведены зависимости а от ρ_{jo} для шелочного гидролиза замещенных фенилоензоатов, фенилтозилатов и алкилбензоатов в присутствии добавок ρ_{jo} и ρ_{jo} и ρ_{jo} . Как в случае добавок ρ_{jo} так и ρ_{jo} и ρ_{jo} величинами а и ρ_{jo} имеет место прямолинейная зависимость. Для добавок ρ_{jo} имеет ρ_{jo} имеем:

$$B = -0.55(\pm 0.06)^{1/9}$$
. $+ 0.17(\pm 0.05)$
 $r = 0.995$; $s = 0.03$

Отрезок ординаты этой зависимости практически равен нулю. Следовательно, в случае добавок NaClO_4 ($\sqrt{\mu}=2,3$) (и NaClO_4 всех рассмотренных реакционных серий величину $\operatorname{a}_{ja} f_{jo}$ можно считать постоянной, независимой от реакционной серии и абсолютного значения величини P_{jo} , характеризуищей только данный конкретный раствор соли или какое-то постоянное влияние такого раствора на изучаемый процесс:

$$a_{js} \rho_{jo} = \rho_{js} - \rho_{jo} = -0,55(\pm0,06)$$

Это означает, что при переходе от чистой воды к данному конкретному раствору соли, чувствительность к влиянию заместителей в случае различных реакционных серий изменялась на одну и ту же величину. Величина a_{js} ρ_{jo} также характеризует чувствительность величин солевых эффектов Δlgk_{js} к влиянию заместителей (см. ур.(3)). Если a_{js} ρ_{jo} = const., то это значит, что при данной концентрации соли чувствительность величин солевых эффектов к влиянию заместителей является постоянной, не зависящей от реакционной серии. Разность солевых эффектов для двух реакционных серий не зависит от заместителя и характеризуется величиной:

$$\Delta \Delta \lg k_{1,2,8}^{\mathbf{X}} = \Delta \lg k_{18}^{\mathbf{X}} - \Delta \lg k_{28}^{\mathbf{X}} = a_{18} \lg k_{10}^{\mathbf{0}} - a_{28} \lg k_{20}^{\mathbf{0}} = \text{const.}$$
если $b_{g} = \text{const.}$

Индексы I и 2 обозначают две разные реакционные серии.

В зависимостях величин солевых эффектов от констант 6° заместителей точки для разных реакционных серий группируются около разных параллельных друг другу прямых, отстоящих

друг от друга на величину

 $a_{1g}^{1gk}_{10} - a_{2g}^{1gk}_{20} = const.$ ecum $b_{g} = const.$

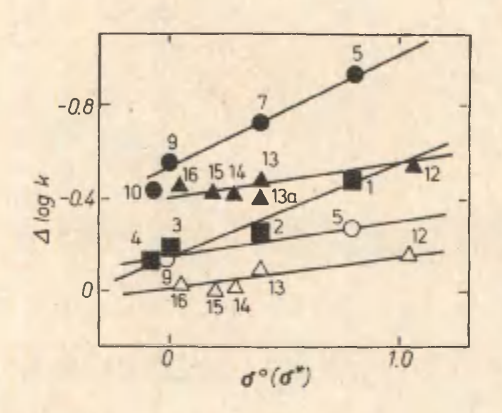


Рис. 6. Зависимость Δlgk от 6°(6*)

Нумерация и обозначение точек соответствует рис. 4.

Точка I3 а: ⊿lgk вычислено исходя из lgk приведенного в работе 4.

На рисунке 6 приведена зависимость $\Delta 1$ gk от $\delta^{\circ}(\delta^{\circ})$ для щелочного гидролиза фенилоензоатов, фенилтозилатов и алкилоензоатов в присутствии добавок NaClo_4 ($\sqrt{\mu}=2,3$) и для щелочного гидролиза фенилоензоатов и алкилоензоатов в присутствии добавок NaCl ($\sqrt{\mu}=2,3$). Видно, что в случае добавок NaClo_4 точки для фенилоензоатов и фенилтозилатов группируются около двух параллельных прямых. В случае добавок NaCl аналогичное положение на-

блидается для точек соответствующих фенилоензоатов и алкил-бензоатов. Только наклон зависимости $\Delta \log k$ от δ^{*} для алкил-бензоатов в присутствии добавок $N_{\rm aClo}{}_4$ отличается от такового для фенилоензоатов и фенилозилатов.

Пока отсутствует достаточное количество данных о величенах солевых эффектов производных с незаряженными заместителями для других реакционных серий, относящихся к большим концентрациям ${\rm NaClo}_4$ и ${\rm NaCl}$ (например, при $\sqrt{\mu}$ =2,3). Это не позволяет проверить, насколько универсальны найденные нами значения постоянных ${\rm b}_8$ и а ${\rm b}_{\rm jo}$, и применимы ли они в случае других реакционных серий.

Литература

- I. В.М. Маремяр, Т.О. Прсса, В.А. Пальм, Реакц. способн. орг. соедин., <u>I</u> (27) 127(1971).
- 2. В.М. Маремя, В.А. Пальм, Реакц. способн. орг. соедин., 2 (28), 591(1971).
- 3. Т.О. Пюсса, В.М. Нуммерт (Маремя), В.А. Пальм, Реакц. способн. орг. соедин., 9, 697(1972).
- 4. Т.О. Пюсса, В.М. Нуммерт (Маремя»), В.А. Пальм, Реакц. способн. орг. соедин., 9, 871(1972).
- 5. В.М. Нуммерт (Маремя»), М.К. Уудам, Реакц. способн. орг. соедин., <u>10</u>, 863(1973).
- 6. В.М. Нуммерт, В.А. Пальм, Реакц. способн. орг. соедин., II, 579(1975).
- 7. В.М. Нуммерт, М.К. Уудам, Реакц. способн. орг. соедин., <u>II</u>, 599(1975).
- 8. В.М. Нуммерт, И.Г. Адакиви, Реакц. способн. орг. соедин., <u>II</u>, 609(1975).
- 9. В.М. Нуммерт, И.Г. Алакиви, Реакц. способн. орг. соедин., <u>II</u>, 9II(1975).
- 10. В.М. Нуммерт, И.Г. Алакиви, Реакц. способн. орг. соедин., 13, 105(1976).
- II. В.М. Нуммерт, И.Г. Алакиви, Реакц. способн. орг. соедин., 13, 547 (1976)

- I2. В.А. Пальм, Т.О. Пюсса, В.М. Нуммерт, М.М. Карельсон, И.А. Коппель, Реакц. способн. орг. соедин., <u>10</u>, 223(1973)
- I3. В.М. Нуммерт, М.В. Пийрсалу, Реакц. способн. орг. соедин., <u>14</u>,273(1977)
- I4. В.М. Нуммерт, М.В. Пийрсалу, И.Г. Алакиви, Реакц. способн. орг. соедин., 15, (1978).
- I5. В.А. Пальм, Т.О. Пюсса, В.М. Нуммерт, Реакц. способн. орг. соедин., <u>I</u>, 243(1973)

ЗАВИСИМОСТЬ ДИФФЕРЕНЦИАЛЬНО-КОНДУКТОМЕТРИЧЕСКОГО ЭФФЕКТА ОТ СТРУКТУРЫ СИЛЬНЫХ ОСНОВАНИЙ У АДЛИТИВНОСТЬ ИЗУЧАЕМОГО ЭФФЕКТА

D. Л. Халдна , Л.Р. Орасте

Тартуский государственный университет Кафедра аналитической химии, Тарту, Эст. ССР

Поступило 3 июня 1978 г.

Измерены зависимости дифференциально-кондуктометрического эффекта ($y = ^{\triangle H}/c$) и мен сна и ($(CH_3)_2^+$ HNCH_2CH_2NH $^+$ (CH_3)_2 от концентрации водных растворов хлорной кислоты. Показано, что величина $y = ^{\triangle H}/c$ для указанных ионов аддитивна: она представляет собой двухкратное значение $y = ^{\triangle H}/c$ для ионов и мен и чи(CH₃)₃ соответственно. Из этого следует аддитивность вкладов структурных элементов в мольный объем слоя переструктурированной воды вокруг исследованных ионов.

В предыдущем сообщении приведены зависимости дифференциально-кондуктометрического эффекта ($y = ^{\triangle \mathcal{H}}/c$) метилзамещенных аммониевых ионов от концентраций водных растворов хлорной кислоты. В настоящей работе измерена аналогичная зависимость для ионов

В некотором приближении ионы I и II могут быть рассмотрены как составленные из двух соответствующих метилзамещенных аммониевых ионов

Дифференциально-кондуктометрический эффект для однокислотных оснований (y_1) и для двухкислотных оснований (y_2) дается уравнениями x_1^2

$$10^{3}y_{1} = HV_{s(1)} + \lambda_{H^{+}} - \lambda_{BH^{+}}$$
 (1)

N

$$10^{3}y_{2} = \%V_{8(2)} + 2\lambda_{H^{+}} - 2\lambda_{BH^{+}}$$
 (2)

соответственно. В уравнениях I и 2 \mathcal{H} – удельная электропроводность раствора электролита, $\mathbf{V_{s(1)}}$ и $\mathbf{V_{s(2)}}$ – мольные объемы слоя переструктурированной воды вокруг однокислотных и двухкислотных оснований соответственно, λ_{H^+} и λ_{BH^+} – эквивалентные электропроводности ионов \mathbf{H}^+ и \mathbf{BH}^+ соответственно.

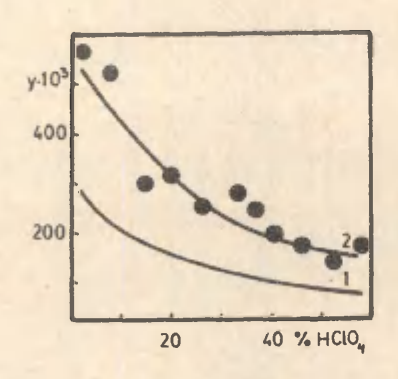


Рис. I. Дифференциально-кондуктометрический эффект однокислотных (у₁) и двухкислотных (у₂) оснований от концентрации водных растворов НСІО₄:

Таблица I. Дифференциально-кондуктометрический эффект у = Δ Ус при добавлении двухкислотных оснований к водным растворам хлорной кислоты

| % НСІО ₄ по массе | y • 10 ³ | % HCIO ₄ | y • 10 ³ |
|---------------------------------|---------------------|------------------------|--|
| H ₂ N(CH | 2)2NH2 | (CH ₃)2N(C | H ₂) ₂ N(CH ₃) ₂ |
| I,I | 572 | 2,0 | 6II |
| 7,6 | 524 | 7,7 | 570 |
| 14,5 | 300 | 14,9 | 503 |
| 19,6 | 319 | 19,4 | 436 |
| 26,I | 258 | 26,1 | 425 |
| 33,3 | 286 | 32,6 | 384 |
| 40,4 | 205 | 37,8 | 350 |
| 46,0 | 176 | 50,6 | 294 |
| 51,9 | I42 | 58,2 | 264 |
| 58,2 | I77 | | |

Таблица 2. Отношение величин $y_{\bf I}({\bf I})$ и $y_{\bf 2}({\bf 2})$ для ионов I, III и II, Iv.

| % HCIO ₄ | у ₂ для I у ₁ для III | у ₂ для II У _I для IV |
|---------------------|--|--|
| 10 | 2,0 | 2,2 |
| 20 | 2,0 | 2,3 |
| 30 | 2,0 | 2,3 |
| 40 | 2,0 | 2,2 |
| 50 | 2,0 | 1,9 |

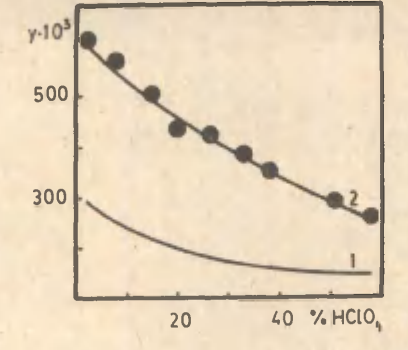


Рис. 2. Дифференциально-кондуктометрический эффект однокислотных (у_I) и двухкислотных (у₂) оснований от концентрации водных растворов HCIO,:

$$1 - (CH3)2N(CH2)2N(CH3)2$$

$$2 - (CH3)3N$$

Из данных, приведенных в табл. 2 видно, что для сопоставимых ионов (I и III, II и IV) с точностью эксперимента

$$\mathbf{J}_2 = 2\mathbf{J}_1 \tag{3}$$

при одной и той же концентрации хлорной кислоты. Для указанных растворов из уравнений I и 2 следует, что

$$2 \Re V_{s(1)} - 2 \cdot 10^3 y_1 = \Re V_{s(2)} - 10^3 y_2$$
 (4)

Подставляя уравнение 3 в 4, получим

$$V_{\mathbf{s}(2)} = 2V_{\mathbf{s}(1)} \tag{5}$$

где $V_{s(2)}$ и $V_{s(1)}$ относятся к ионам I и III (II и IV) соответственно. Этот результат (5) говорит о том, что значение V_s для I(II) вдвое больше, чем для III(IV). Такая аддитивность вкладов элементов структуры изучаемых ионов в значение мольного объема слоя переструктурированной воды (V_s) вполне закономерна, так как практически I(II) состоит из двух III(IV).

Экспериментальная часть

Использовались следующие реактивы:

Этилендиамин водный "ч" был очищен перегонкой. Собиралась фракция, содержащая 4,32 % этилендиамина (по массе, $d_{\rm A}^{\rm 25} = 0,997~{\rm r~cm}^{-3}$).

ж, м, м', м' — Тетраметилэтилендиамин "ч" был очищен вакуумной перегонкой при давлении 36 мм рт. ст. . Использовалась фракция с т.кип. 41,0-42,5 °C ($\mathbf{d}_4^{25} = 0,771$ г см $^{-3}$).

Концентрация хлорной кислоты определялась методом весового титрования по буре. Концентрации растворов двухкислотных оснований устанавливались потенциометрически по хлорной кислоте.

Аппаратура и методика для дифференциально-кондуктометрических измерений описаны в работах. $^{3-5}$

Литература

- I. Ю.Л. Халдна, Я.Ю. Вене, Л.Р. Орасте, Реакционная способн. орг. соед.,
- 2. Ю.Л. Халдна, Л.Р. Орасте, Реакц. способн. орг. соед., <u>14</u>, 3 (51), 357 (1977).
- 3. Ю.Л. Халдна, Х.И. Куура, X. физ. химии, 4I, 2787 (1967).
- 4. Ю.Л. Халдна, В.А. Пальм, ДАН СССР, 135, 667 (1960).
- 5. Ю.Л. Халдна, Л.Р. Орасте, П.Н. Грихин, Реакц. способн. орг. соед., <u>14</u>, 348 (1977).

КИНЕГИКА И МЕХАНИЗМ РЕАКЦИИ ДИЕНОВОЙ КОНДЕНСАЦИИ ГЕКСА— ХЛОРЦИКЛОПЕНТАДИЕНА С ЦИКЛИЧЕСКИМИ ДИЕНОФИЛАМИ.

Х. Количественная оценка вклада метильной группы N (п-арил)ималов пис. пис-3-метил-4-пиклогексен-I.2-ликарбоновой кислоты в кинетику реакции с гексахлорпиклопентадиеном: изопараметрическая зависимость.

> М.С.Салахов, Н.Ф.Мусаева, А.А.Алескеров, С.Н.Сулейманов.

Сумгантский филиал института Нефтехимических процессов АН Азербайджанской ССР, г. Сумгант

Поступило 5 мая 1978 г.

Полярографически изучена кинетика реакции диеновой конпенсации М-(п-арил)имидов цис. цис-3-метил-4-циклогексен-І.2-ликарбоновой кислоты с гексахлорциклопентадиеном (ГХЦПД) в нитробензоле при температурах IOO-I5O°. Рассчитаны кинетические и термодинамические ры изученных реакций. Показано вклад экваториальной метильной группы N-(п-арил)имидов цис, цис-3-метил-4-циклогексен-І.2-дикарбоновой кислоты в кинетику реакции. Установлена превосходная корреляция величин во от 6констант заместителей Гаммета. При помощи различных корреляционных уравнений выявлено, что в изученной реакционной серии соблюдается изокинетическая зависимость. Проведен расчет изокинетической температуры и изопараметрических точек. Высказано предположение, что гракция сопровождается образованием молекулярных донорно-акцепторных комплексов в переходном состоянии.

В предыдущих сообщениях ^{I,2} было показано, что скорость реакции диеновой конденсации N-(п-арил)имидов цис-4-цик-логексен-I,2-дикарбоновой кислоты (цис-4-ЦГДК) с гекса-хлорциклопентадиеном (ГХЦПД) зависит от температуры и природы заместителей на бензольном кольце. Представляло инте-

рес проследить эту зависимость в ряду N-(n-арил)имидов цис, цис- и транс, цис-3-метил-4-ЦГДК для выяснения:

а) электронодонорной роли экваториальной метильной группы в положении 3 циклогексенового кольца в корреляционной зависимости логарифмов констант скоростей от индукционных констант заместителей в фенильном радикале, исследуемой реакционной серии;

б) выполняемости указанной корреляционной зависимости для транс, цис-IV-(п-арил) имидов 3-Ме-4-ПГДК, которые как известно вступают в эту реакцию с ГХППД в своей анти-ванна конформационной форме и в этом случае, благодаря стерической роли метильной группы в ориентированном комплексе передача электронного эффекта от заместителей в фенильном кольце к реакционному центру будет осуществляться только через остов молекулы.

В настоящем сообщении приводятся результаты исследования кинетики реакции ГХЦПД с N(п-арил) имидами цис, цис-3-метил-4-- - циклогексен -I, 2-дикарбоновой кислоты (цис, цис-3-Ме-ЦПДК):

CON-CH4-X,

где X: OH(I), OCH3(II), CH3(Ш), H(IУ), В (У), IIO2(УІ).

Для выявления электронного вклада метильной группы в реакционной способности этих имидов сопоставляется их константы скорости с таковыми для аналогичных имидов цис-4-ЦГДК $^{\rm I}$, $^{\rm 2}$. Проверяется выполнимость изокинетической зависимости для данной реакционной серии.

Синтезы и свойства соединений (I-УI) описаны в 4 . Кинетические измерения, обработка экспериментальных данных производились как указано в $^{\rm I,2}$.

Данные таблицы I свидетельствуют о том, что на скорость реакций конденсации ГХПДД с имидами (I-УI) в нитробензоле влияет температура и природа заместителей в диенофилах. При этом влияние температуры на скорость реакции превалирует над индукционным влиянием заместителей в 5-6 раз. Так, скорость реакций при увеличении температуры от 100 до 150(выше этой температуры диенофилы частично изомеризуются в транс,

цис-форму⁵) увеличивается в 15-25 раз, тогда как реакционная способность исследуемых диенойилов в данной ревкции. в зависимости от электронного характера заместителя в ароматическом кольце изменяется в 3-5 раза.

Таблица І. Константы скорости * реакции ГХШПД с N (п-арил)имилами цис.пис-3-метил-4-циклогексен-1.2-дикарбрновой кислоты (I-VI).

| MANG COE- | v | $k_2 \cdot 10^6$, моль $1 \cdot \text{сек}^{-1}$, при температурах C | | | | | |
|--------------|-------------------|--|-------|-------|-------|-------|--------|
| дин. | Λ | 100 | 110 | 120 | 130 | 140 | 150 |
| I | ОН | 8,45 | 13,90 | 25,00 | 40,95 | 76,80 | 146,51 |
| П | CH ₂ 0 | 6,92 | II,IO | 19,90 | 36,38 | 66,70 | 121,79 |
| Ш | CH ₃ | 5,15 | 9,31 | 16,32 | 32.47 | 57,56 | 103,99 |
| IУ | H | 3,53 | 6,85 | I3,56 | 24,61 | 44,26 | 82,75 |
| У | Bτ | 2,30 | 4,5I | 9,13 | 16,88 | 34,30 | 55,09 |
| УI | No | I,96 | 3,79 | 6,34 | 11,51 | 20,05 | 40,43 |

* Погрешность в константах скорости не превышает 3-5%.

Во всем изученном интервале температур изменение скорости реакции диеновой конденсации ГХШПД с имидами (І-УІ) подчиняется уравнению Аррениуса (рис. І. табл. 2)

Таблица 2. Результаты корреляционного анализа данкых по уравнению Аррениуса $l_{qk} = l_{qA+B}$ т/т($t = 100-150. n = 5. \alpha = 0.95$).

| юн сое- дин. | Х | lgA | -B·10 | 3 ~ | S | SlgA | SB.10-3 | Еа, ккал.моль-І |
|-------------------------|---|--|--|---|--|------|---------|--|
| I II IY Y Y | OH OCH ₃ CH ₃ H Bv N O ₂ | 5,22 5,36 5,70 5,98 6,12 5,06 | 3,85 3,94 4,II 4,27 4,39 4,02 | 0,996 0,996 0,995 0,999 0,998 | 0,046 0,044 0,037 0,026 0,036 0,038 | 0,24 | | 17,62 18,02 18,79 19,52 20,06 18,39 |

На основании полученных данных в соответствии с работой I,2 определены энтальпия (ΔH^{\ddagger}), энтропия (ΔS^{\ddagger}) и свободная энергия активации (ΔS^{\ddagger}) исследуемых реакций (табл.3).

Таблица 3.

Термодинамические параметры активации реакций диеновойконденсации ГХШД с имидами (I-УI) в среде нитробензола (t-I00-I50°, n=6, α =0,95)

| соед. | Х | АН, [‡] ККАЛ, МОЛЬ-І | -45,* 9.e. | r | S | △ F/398°), ккал, моль |
|--------------------------------|---|---|--|---|--|--|
| I II II IY Y YI | OH OCH ₂ CH ₃ H B ² NO ₂ | I6,90+0,58 I7,29+0,68 I8,05+0,54 I8,82+0,2I I9,39+0,42 I7,64+0,60 | 37,08±I,46 36,45±I,7I 34,92±I,35 33,53±0,54 32,85±I,08 37,88±I,52 | 0,998 0,997 0,998 0,999 0,999 | 0,155 0,182 0,143 0,057 0,114 0,161 | 31,65 31,80 31,92 32,16 32,46 32,72 |

Сильно отринательные значения энтропии активации указывают на высокоупорядоченность переходного состояния, которое
характерно для реакций, проходящих через циклические активационные комплексы и требующие строгой ориентации реагентов
на стадии, определяющей скорость реакции, а также на малое
отличие в строении между переходным состоянием и аддуктами.
Это находится в соответствии с нашими ранними наблюдениями
о стереохимической однотипности обеих реакционных серий⁶,
т.е. экваториально расположенный метильный радикал не оказывает пространственного препятствия для ориентации диена и диенофила в промежуточном комплексе. Его наличие, повышая уровень высшей занятой орбитали (ВЗО) диенофила, увеличивает
степень взаимодействия орбиталей и тем самым повышает реакционную способность диенофила⁷.

Результаты оценки вклада метильной группы в скорость реакции, полученные из соотношения констант скоростей N-(п-арил)имидов цис, цис-3-метил-4-ЦГДК и -1-ЦГДК (k_{cH_1}/k_H)

при различных температурах, а также соответствующие разности активационных параметров суммированы в таблице 4.

Таблица 4.

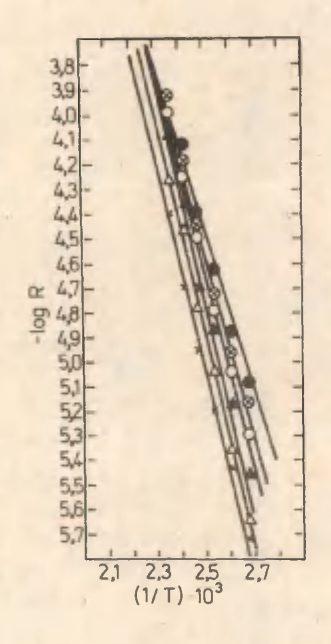
Вклад метильной группы в скорость реакции диеновой конленсации N (п-арил) имидов цис пис-3-метил-4-ПГЛК (I-УI) с ГХІЛІД в нитробензоле.

| MM COE- ДИН | | | k _{CH3} /k _H | | -AAH, # | -445, | -DDF, # | |
|-------------------|-------------------|------|----------------------------------|------|---------|-----------|---------|-----------|
| | | 120 | 130 | 140 | 150 | ккал•моль | э.е. | ккад моль |
| I | ОН | I,69 | I,87 | 2,21 | 2,12 | 0,80 | 0,61 | I,II |
| П | CH ₃ O | I,62 | I,78 | 2,07 | I,88 | I,3I | 2,00 | I,03 |
| Ш | CH ₃ | I,70 | 2,46 | 2,17 | I,86 | I,68 | 2,69 | I,I2 |
| IУ | Н | 2,05 | 2,38 | 2,II | 2,01 | 0,98 | 0,91 | I,I2 |
| y | Br | I,83 | I,92 | 2,17 | I,77 | 0,45 | 0,19 | I,02 |
| λI | N02 | I,64 | I,55 | I,43 | I,60 | 2,13 | 4,29 | 0,92 |

Как видно из данных табл.4 для диенофилов с электронодонорными заместителями в ароматическом кольце (ОН,СН $_3$ О, СН $_3$) с повышением температуры от I2O до I4O $^{\rm O}$, $k_{\rm CH}$ / $k_{\rm H}$ возраствет, т.е. наличие метильной группы делает реакцию более чувствительной к повышению температуры. Хотя $k_{\rm CH}$ / $k_{\rm H}$ всегда больше I,5, абсолютное значение его при I5O $^{\rm O}$ C убывает (при переходе от ОН к ${\rm NO}_2$) с увеличением электроноотрицательности диенофила.

Из разности величин термодинамических параметров активации видно, что вклад электронного эффекта экваториальной метильной группы в скорости реакции не настолько велик, чтобы изменить общую закономерность реакционной способности, указанной в $^{\rm I}$: OH > CH₃O > CH₃> H > B $^{\rm a}$ > ${\rm NIO}_2$.

При всех температурах логарифмы констант скоростей реакции ГХШПД с имидами (I-У) превосходно коррелируются с 2 константами заместителей 8 (рис.2, табл.5), а точка для имида (УІ) отклоняется от прямых. Поэтому при вычислении параметров корреляции величины констант скорости, относящиеся к этому



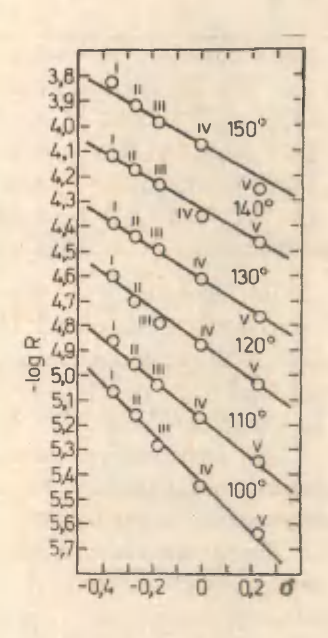


Рис.І.Зависимость логарифмов констант скорости от обратной температуры. Х: ●-ОН, ⊗ -СН₃О, △ -СН₃, ⊙-Н, ▲-В, х-IIO₂.

Рис. 2. Зависимость логарифмов констант скоростей соединений (I-УI) в реакции с ГХІЩ от 6-констант заместителей.

соединению , не учитываются.

Как видно из таблицы 5, константа реакции для этой реакционной серии также имеет отрицательные значения, характерные для реакций диенового синтеза 9 .

Таблица 5. Нараметры корреляции зависимости 4 соединений (І-У) от 2-констант Гаммета.

| toc | P | lgk. | 2 | S |
|-------------|--------------|----------------|-------|-------|
| I00 | -0,968+0,044 | -5,4313+0,0050 | 0,997 | 0,021 |
| IIO | -0,803+0,0I7 | -5,1630+0,0019 | 0,999 | 0,008 |
| I20 | -0,707+0,049 | -4,8792+0,0055 | 0,993 | 0,023 |
| I30 | -0,657+0,039 | -4,6133+0,0044 | 0,995 | 0,018 |
| I4 0 | -0,600+0,0I7 | -4,3372+0,0019 | 0,998 | 0,008 |
| I50 | -0,70I+0,0I7 | -4,0935+0,0019 | 0,999 | 0,008 |

Для проверки возможности существования изокинетического соотношения в изучаемой реакции нами проведена обработка результатов эксперимента в соответствии с работой в координатах $\frac{1}{2} \frac{1}{2} \frac{1}{$

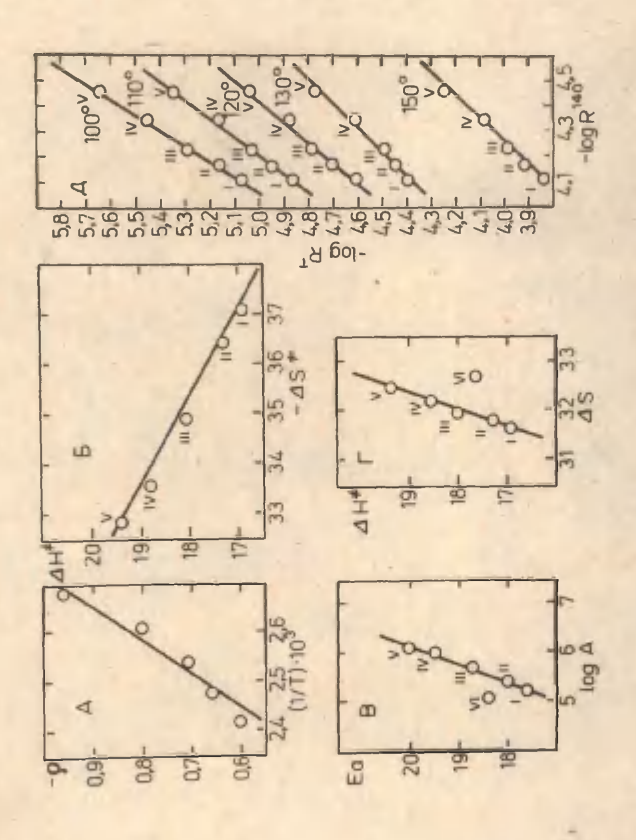
Эти зависимости линейны с удовлетворительными коэффициентами корреляции, что указывает на существование изокинетического соотношения.

Корреляционные параметры уравнений у=ах+в зависимостей кинетических и активационных параметров реакций диеновой кон денсации соединений (І-У) с ГХШП и величины изокинетической температуры приведены в таблице 6.

Средняя величина изокинетической температуры для имидов (I-У), найденная различными методами, равна $(530+30^{\circ})$. Изокинетическая температура вычислена также из изопараметрической зависимости, характеризующей взаимное возмущение различных по природе влияющих факторов (температуры, заместителей среды и т.п.) 13-21

Рассматривая, в качестве коррелируемой характеристити, свободную энергию активации, полученные в настоящей работе результаты были обработаны в соответствии в выражением

$$\Delta \mathcal{F}^{\sharp} = \Delta \mathcal{F}^{\sharp} + \alpha_{1} \mathcal{E} + \alpha_{2} \mathcal{T} + \alpha_{3} \mathcal{A}_{2} \mathcal{E} \mathcal{T} \tag{I}$$



TO THE Pro 3 (8-1) Babromocts peaktrothoff koncratt of temperape (8) attacher aktrabara (8), attacher aktraba

Таблица 6.
Корреляционные параметры уравнений у=ах+в (I-7)
зависимостей кинетических и активационных параметров
реакции диеновой конденсации соединений (I-У) с ГХШП
и изокинетическая температура.

| M Ab | . X | y | T,°O | a | в | 2 | 5 | ß, K° |
|------|--------|-----------------|-------------|-------------------------|-----------------------------------|-------|-------|-------|
| Ia | | | 100 | I,6I34+0,058 | I,5664+0,0045 | 0,999 | 0,016 | 50I |
| Id | lakmo | lgk" | IIO | I,2800+0,224 | 0,3926+0,0174 | 0,957 | 0,062 | 595 |
| IB | d'in | y - | I20 | I,174 ±0,091 | 0,2130+0,007 | 0,990 | 0,025 | 584 |
| Ir | | | I30 | I,089 ±0,087 | 0,5756+0,0323 | | 4 | |
| 2 | 4H* | | I40 | -0, I347+0,0092 | | | 0,019 | 480 |
| 3 | Ea | lakt | I4 0 | -0,I37I+0,OII7 | -1,6920±0,046 | 0,989 | 0,023 | 479 |
| 4 | 1 ·/03 | 10 | I00- I40 | -I,3640 <u>+</u> 0,I83I | 2,7257±0,0072 | 0,974 | 0,038 | 500 |
| 5 | ΔS* | ∆H [≠] | IOO- I5O | 567 <u>+</u> 2,25 | 379I0±29,8 | 0,997 | 0,082 | 567 |
| 6 | 19# | AH* | I00- I50 | 3,2095±0,318I | -84,6224 <u>+</u> 0, I 283 | 0,985 | 0,202 | 578 |
| 7 | lgA | Ea | I00- I50 | 2,625 ±0,0557 | 3,9025+0,1678 | 0,999 | 0,043 | 573 |

Примечание. Число точек, исследованных при обработке данных методом наименьших квадратов, везде равно 5.

Используя значения ΔH^{\dagger} и ΔS^{\dagger} реакций, можно рассчитать изопараметрические значения температуры (изокинетическая температура) и константы заместителей. Уравнение (I) в случае данной реакционной серии имеет вид:

$$4\mathcal{F}^{\sharp}_{=}(18578\pm554) + (4336\pm490)\mathcal{E} + (34,1\bar{1}\pm1,34)\bar{1} - (2)$$

-(7,49+ $\bar{1}$,19) \mathcal{E}_{-}

Исходя из уравнения (2), были рассчитаны значения константы взаимодействия α , изопараметрические точки по температуре и константе заместителя, которые приведены в таблице 7.

Таблица 7.
Изопараметрические постоянные для реакционной серии
ГХІПЦ с имидами (І-У) в нитробензоле.

| $\beta = \widehat{T}, K^{\circ}$ | Ĉ, | હૈ. | ∝·10 ⁵ |
|----------------------------------|-------|------|-------------------|
| 578,9 | -4,55 | 4,28 | 5,07 |

Как видно из этой таблицы, значение изокинетической температуры ($\beta = 578^{\circ}$ K) совпадает с найденной различными метода ми, приведенными в табл. 6. Экспериментальное достижение же найденных изопараметрических точек по константе заместителя ($\hat{\mathcal{L}}_1 \rightarrow 4,55$, $\hat{\mathcal{L}}_2 = 4,28$), представляется лежащим вне пределах реальных возможностей в ряду рассматриваемой реакционной серии (экспериментальный интервал варьирования заместителей $-0.357 \div 0.232$).

Тот факт, что значения изокинетичекой температуры для обоих реакционных серий являются примерно одинаковыми в пределах погрешностей, говорит о единстве механизма этих реакций. Рассмотрение зависимостей АН и А от природы заместителя в имидах (I-У) в обоих реакционных сериях показывает, что уменьшение электронодонорности и увеличение электроноакцептор ности их приводит к увеличению энтальпии и энтропии активации. Это, вероятно, объясияется тем, что электронодонорные заместители в диенобиле усиливают разделение зарядов в переходном состоянии 22-2 усиливая при этом перенос заряда в образующемся промежуточно донорно-акцептррном комплексе диен-диенофил (A) согласно схеме:

где У=Х,СН3.

Небольшие отридательные значения реакционной константы (табл.5) указывают на незиачительное разделение зарядов в переходном состоянии, что также согласуется с предположением о протекании указанных реакций по молекулярному механизму с участием донорно-акцепторных комплексов.

ЛИТ ЕРАТУРА

- М.С. Салахов, Н.Ф. Мусаева, Р.С. Салахова, А.А. Алескеров, С.Н. Сулейманов, Реакц. способ. орг. соед., 14, 307 (1977).
- 2. М.С.Салахов, Н.Ф.Мусаева, Р.С.Салахова, А.А.Алескеров, С.Н.Сулейманов, Реакц. способ. орг. соед., 14, 313 (1977).
- 3. М.С. Салахов, Н.Ф. Мусаева, М. М. Гусейнов, С. Н. Сулейманов, ЖОрХ, 13.561 (1977).
- 4. М.С. Салахов, А.К. Караева, В.А. Нагиев, Азерб. хим. ж., 6,85(1976)
- 5. М. Салахов, А.И.Исрафилов, Т.О.Шамилова, М.М.Тусейнов, сб. "Вопросы стереохимии". Киев, вып. 3, 57 (1973).
- 6. М.С.Салахов, Н.Ф, Мусаева, С.Н.Сулейманов, А.А.Алескеров, сб. "Вопросы стереохимии", Киев (1978) (в печати).
- K.Fukui, Theory of Orientation and Stereoselection, N.-Y., 1975
- 8. В. Пальм, "Успехи химии", 30, 1069 (1961).
- 9. Ю.А. Жданов, В.И. Минкин, Корреляционный анализ в органической химии, изд. Ростовского госуниверситета, 1966.
- IO. J. Leffler, J. Org. Chem. ,20, I202 (1955).
- II.O.Exner, Coll.Czech.Chem.Commun.,29, IO94 (1964).
- 12.В.А.Пальм, Р.В.Визгер, ДАН СССР, 142, 1094 (1962).
- ІЗ.В.А.Пальм, "Основы количественной теории органических реакций", Химия, Л., 1977.
- 14.В.А.Пальм, Б.И.Истомин, Реакц. способ. орг. соед., 6, 427 (1969).
- 15.Б.И.Истомин, С.А.Пивоваров, В.Ф. Селиванов, Б.В. Гидаспов, С.Н. Истомин, Реакц. способ. орг. соед., 12, 289 (1975).
- 16.С.А. Пивоваров, В.Ф. Селиванов, Б. В. Гидаспов, Реакц. способ. орг. соед., 12,307 (1975).
- 17.4. А. Коппель, Реакц. способ. орг. соед. 13.237 (1976).

- 18.Г.Д.Тицкий, А.Е. Шумейко, Реакц. способ. орг. соед., 14,297(1977).
- 19.0. Эконер, Реакц. способ. орг. соед., 14,365 (1977).
- 20. S,J.Miller, J. Am. Chem. Soc., 81, 101 (1959).
- 2I. O.Exner, Coll. Czech. Chem. Com. 25, IO44 (1960).
- 22. Реакционная способность и пути реакций, под редакцией Г. Клопмана, изд. Мир. М., 1977.
- 23. А. Н. Коновалов, Б. Н. Соломонов, А. К. Устюгов, ДАН СССР. 213. 349 (1973).
- 24. А. Н. Коновалов, Я. Д. Самуилов, Е. А. Бердников, В. В. Племенков, ДАН СССР. 208. 862 (1973).

ППЛ И ВЗАИМОСВЯЗЬ СВОЙСТВ СО СТРОЕНИЕМ
 В РЯДУ ФОСФОРОРГАНИЧЕСКИХ СОЕДИНЕНИЙ.
 Взаимосвязь между величинами рК_а фосфоновых и карбоновых кислот в воде

Б.И.Истомин, В.А.Баранский, А.В.Калабина

Институт нефте- и углехимического синтеза при Иркутском государственном университете, 664033, Иркутск, а/я I665

Поступило 7 мюня 1978 г.

Из ранее полученных уравнений (I) и (2) зависимости величин $pK_a(H_2O, 25^{\circ}C)$ кислот $X_TX_2P(0)OH$ и X_1COOH от строения заместителей и на основе заключения о равенстве в этих сериях соотношений индукционного и резонансного вкладов в общем эффекте заместителя, выведены соотношения (4a), (4o) и (6), связивающие pK_{aI} и pK_{a2} любых фосфоновых кислот с pK_a соответствующих карбоновых кислот. Таблица I и рис. I свидетельствуют о том, что эти соотношения действительно хорошо выполняются для всех известных величин pK_a фосфоновых кислот.

Согласно ранее полученным результатам 1,2 , статистически и электростатически коррегированные $^{1-5}$ величины pK_a в воде при 25° С кислот ХУР(0)ОН и ХСООН количественно описываются уравнениями

$$pK_{a}(XYP(0)OH) = pK_{a}(Me_{2}P(0)OH) + \rho_{p}^{*}(G_{X}^{*} + G_{Y}^{*}) + \rho_{p}^{*}(G_{X}^{*} + G_{Y}^{*}) + \rho_{p}^{*}(G_{R,X}^{*} + G_{R,Y}^{*}) + aG_{X}^{*}G_{Y}^{*} + \delta_{p}(E_{s,X} + E_{s,Y})(\bar{I})$$
 $pK_{a}(XCOOH) = pK_{a}(MeCOOH) + \rho_{c}^{*}G_{X}^{*} + \rho_{R,C}^{+}G_{R,X}^{+}$ (2)
При этом найдено², что соотношение индукционного и резо-

нансного вкладов в общем эффекте заместителя в этих сериях одинаковы, т.е.

 $P_{P}^{*}/P_{C}^{*} = P_{R,P}^{+}/P_{R,C}^{+} \cong Const = \emptyset$ (3) Благодаря равенству (3), из ур.(I) и (2) для pK_{a} кис-(3)

лот ХУР(0)ОН при У = Const с необходимостью следует соотношение

 $pK_{\mathbf{a}}(\mathbf{X}\mathbf{y}\mathbf{P}(0)\mathbf{0}\mathbf{H}) = \mathbf{A}_{\mathbf{y}} + \mathbf{A}_{\mathbf{p}}\mathbf{K}_{\mathbf{a}}(\mathbf{X}\mathbf{C}\mathbf{0}\mathbf{0}\mathbf{H}) + \mathbf{a}\mathbf{G}_{\mathbf{y}}^{\mathbf{x}}\mathbf{G}_{\mathbf{y}}^{\mathbf{x}} + \mathbf{S}_{\mathbf{p}}\mathbf{E}_{\mathbf{s},\mathbf{x}}$ (4) rge $\mathbf{A}_{\mathbf{y}} = pK_{\mathbf{a}}(\mathbf{M}\mathbf{e}\mathbf{y}\mathbf{P}(0)\mathbf{0}\mathbf{H}) - \mathbf{A}_{\mathbf{p}}\mathbf{K}_{\mathbf{a}}(\mathbf{M}\mathbf{e}\mathbf{C}\mathbf{0}\mathbf{0}\mathbf{H}).$

Таким образом, статистически и электростатически коррегированные экспериментальные величины pK_a(25°C, H₂0) для кислот ХУР(0)ОН при любых заместителях должны подчиняться ур. (4) со статистически значимыми вкладами абубх и $\mathfrak{T}_{P}E_{s-X}$, если наши ранние результаты 2, а следовательно, и ур. (1)-(3) являртся отражением объективных закономерностей природы, а не артефактами.

Проверку соблюдения соотношения (4) удобно осуществить на величинах рКат (ОН) и рКа2 (ОТ) замещенных фосфоновых кислот в воде при 25°C, поскольку имертся экспериментальные данные (см. нашу компиляцир¹) для широкого набора заместителей X. В качестве наиболее правдоподобных оценок $pK_8(H_20, 25^0C)$ кислот ХСООН взяты средние близких значений рКа из последней компиляции 6 (см. комментарий к табл. I). Соотношение (4) для рКат и рКаг фосфоновых кислот принимает такие формы:

 $pK_{aT}(X(OH)P(O)OH) = A_{OH} + \alpha pK_{a}(XCOOH) + aG_{OH}^{*}G_{X}^{*} +$ + EpEs.X (4a)

 $pK_{a2}(X(0^{-})P(0)OH) = A_{0^{-}} + \propto pK_{a}(XCOOH) + \mathcal{E}_{pE_{a}, x}$ (40)В последнем соотношении отсутствует вклад а G_{Y}^{X} G_{Y}^{X} , т.к. $6 = 0(c_{M}, 1, 2, 4).$

Для всех коэффициентов соотношений (4а) и (4б) мы априорно располагаем их ожиданиями. Действительно, согласно ранним результатам (см. $^{\rm I}$, $^{\rm 2}$), а и $^{\rm 8}$ р не должны отличаться зна-

⁺Способных к резонансному взаимодействию с реакционными центрами P(0)0H и C(0)0H, например, 0, 0H, Ph, Hal и т.д. или не способных к такому взаимодействию, например, алк, СХ3, СНХ2 и СН2Х, где Х - электроотрицательная группа.

чимо от 0.161 \pm 0.042 и -0.230 \pm 0.027 соответственно, α = = 0.760 \pm 0.028 $^+$, т.к. P_P^{\pm} = 1.347 \pm 0.046 (см. табл.2 в работе¹) и P_C^{\pm} = 1.809 \pm 0.028 (см. 7). Принимая для метилфосфоновой кислоти $^+$ рка $_{\rm I}$ = 2.68 \pm 0.05 и рка $_{\rm I}$ = 6.32 \pm 0.05, а также 7 рк $_{\rm I}$ (МеСООН) = 4.75 \pm 0.05 можно найти, что $A_{\rm OH}$ = -0.93 \pm \pm 0.147 $^+$ и $A_{\rm O-}$ = 2.71 \pm 0.147 $^+$

Результаты проверки соблюдения соотношений (4a) и (4б), и значимости вкладов а $\mathbb{G}_{0H}^{\mathbb{Z}}$ и $\mathbb{S}_{pE_{g,X}}$ сведены в табл. І. Из рассмотрения всрду, кроме регрессии $\mathbb{M}6$, исключены точки для $\mathbb{X}=\text{CCl}_3$ и \mathbb{G}_3 из—за значимых неопределенностей \mathbb{G}_3 . \mathbb{G}_3 из—за значимых неопределенностей \mathbb{G}_3 .

оценках рК, соответствующих карбоновых кислот.

Согласно табл. I, зависимости pk_{aI} (per. KI) и pk_{aR} (per. K4) фосфоновых кислот только от pk_a соответствующих карбоновых кислот имеют пложие статистические показатели. Включение термов а G_{oH} и G_{pE} в случае pk_{aI} (per. K2 и K3) и терма S_{pE} в случае pk_{aI} (per. K5) резко улучшает качество описания. При этом оценки для A_{oH} , A_{oH} и хорошо согласуются со своими ожиданиями (см. выше). Оценки S_{p} и а являются статистически значимыми, имеют нужные знаки (см. I) и удовлетворительно согласуются с их ожиданиями, если учесть неопределенности как этих ожиданий, так и найденных здесь значений. Кроме того, в согласии с (4a) и (4o), коэффициенты и и а в рег. К3 корошо согласуются с таковыми в рег. К5. Завышенность найденных здесь оценок а и S_{p} по сравнению с полученными раннее может быть связана с возможной смещенность S_{p} последних, относительно своих истинных значений.

Следовательно, соотношения (4a) и (4d) хорошо описывать экспериментальные значения для заместителей X = H, Alk, CH₂Z, CH₂, где Z - какая-либо электроотрицательная группа, и для способных к сопряжению заместителей OH, O и Ph.

Включение в качестве X м-, р-замещенных арилов не изменяет ко
Тошибки расчитаны по закону накопления в Для оценок рка принята экспериментальная неопределенность в то в то об лог. ед.

НЭлектростатически и статистически коррегированные значения.

НВопрос о возможных смещениях в оценках а и в р подробно рассматривался в части з этой серии.

эффициентов A_{OH} , A_{O-} , A_{O-} , A_{O-} , A_{O-} и а рассматриваемых регрессий, но несколько ухудшает их стандарты из-за неопределенностей в параметрах E_{O} и G^{∞} арильных групп.

Включение заместителей СС13 и СF3 в случае соотношения (4а) резко ухудшает качество описания при любых значениях рК, соответствующих карбоновых кислот (см. комментарий к табл. I), что связано с отмечавшейся ранее $^{\rm I}$ ошибочностью литературных оценок рКат этих фосфоновых кислот. Включение кислот с этими заместителями в соотношение (40) значительно ухудшает качество описания при использовании для рК, кислот СF₃СООН и СС1₃СООН оценок 0.52 и 0.62 соответственно, однако практически не изменяет коэффициентов регрессий и качество описания, если для рК, этих кислот принять соответственно величины -0.23 и -0.58 (см. комментарий к табл. І и работы 11-14). Этот факт. во-первых, свидетельствует о правильности экспериментальных величин рКаг соответствующих фосфонових кислот и, во-вторих, позволяет заключить, что для соответствующих карбоновых кислот экспериментальные значения рК₀(H₂O, 25°C) < 0.

Из уравнений (4a) и (46) следует вивод о том, что между pK_{aI} и pK_{a2} кислот m-, p- $X_1C_6H_4P(0)(0H)_2$ и pK_a кислот m-, p- $X_1C_6H_4C00H$ в воде должны существовать удовлетворительные линейние взаимосвязи, т.к. величину E_s для любых m-, p- замещенных арилов можно принять постоянной, а величина вклада а $G_{OH}^{\infty}G_{X_1C_6H_4}^{\infty}$ будет мало изменяться из-за близости G_{A}^{∞} - констант различных арильных заместителей. Следовательно, величины pK_{aI} и pK_{a2} таких фосфоновых кислот должны хорошо описиваться константами Гаммета $G_{A}^{\infty}G_{A}$

Из соотношений (4a) и (4б) и соответствующих им регрессий \$3 и \$5 табл. I можно вывести уравнение взаимосвязи между pK_{a1} и pK_{a2} фосфоновых кислот:

Коэффициенты и оталистики осотношений (4а), (46) и (6) между величинами рК_в

| | o o | 0.337 | 0.230 | 0 I39 | 0.364 | 0°I99 | 0.227 | 0.159 |
|---|-----------|--------------------|--------------------|-----------------------------------|--------------|-------------------|---|-----------------------------------|
| | 段 | 6I ₄₆ 0 | 0 9757 0 230 | 0.9915 | 0.9517 0.364 | 0.9871 | 22 0.9898 0.227 | 0.9976 |
| | я | 12 | 21 | 21 | 12 | 20 | 22 | T ₄ |
| | ве | | | | | | | 3.805 ± |
| TOTOL | ब्द | | | 0.319 ± ±0.057 | | | | 0,320 ± ±0,052 |
| фосфоновых XP(0)(0H)2 и карбонових XCOOH кислот | or p | | -0.252 ± ±0.07I | -0.327 ± ±0.045 | | ± 614°0- | _0 445 ± ±0 04I | ±0,363 ± 0,320 ± ±0,036 ±0,052 |
| карбоновы | 8 | 0,670 ± | 0.672 ± ±0.037 | | 0.799 ± | 2 568 ± 0.804 ± | 2.521 ± 0.810 ± -0.445 ± ±0.135 ±0.027 ±0.041 | 0.805 ± |
| (0)(0H) ² M | Ay | ±0.25I ±0.055 | -0.425 ± | -1.189 ± 0.809 ± ±0.176 ±0.034 | 2,786 ± | 2.568 ± ±0.154 | 2.521 ± | -I.196 # |
| BEX XP | * | DI I | 20 | 30 | 94 | 50 B | 6B F | 7.1 |
| фосфоно | уравнения | (4a) | | , | (94) | | | (9) |
| | | | | | | | | |

арассмотрены статистически и электростатически коррегированные значения pK_a кислот $XP(0)(0H)_2(cm. компиляцир^I)$ и ХСООН с заместителями Х(в скобках даны использованные рК карбоновых кислот(см. текст)): I.H(3.75), 2.Me(4.75), 3.Bt (4.87), 4.Pr(4.83), 5.1-Pr(4.86), 6.s-Bu(4.77), 7.t-Bu(5.04), 8.1-Bu(4.77), 9.Bu(4.83), IO.Me_EtC(4.93), II.CH_Cl(2.85), 12.CH₂OH(3.83), 13.CH₂Br(2.91), 14.CH₂I(3.I6), 15.CHOl₂(1.33), 16.Ph(4.20), 17.H0(4.12), 18.0 (8.73), 19.PhOH₂(4.31), 20.BrCH₂CH₂(4.03), 2I.Me₃SICH₂(5.22), 22.OF₃(0,52; -0.23), 23.0Cl₃(0.65; -0.58), При X = CP₃ и CCl₃ использованы по два значения рка: первое - среднее из всех положительных оценок рК, соответствующих кислот; второе среднее из соответствующих отрицательных оценок⁶. ^бБез учета X = СС1₃ и сь. ВПосле исключения значимо отклоняющейся точки для X = = CH_CH_Br. ГВключены соединения с X = CCl3 и CF3; рК, соответствующих кислот ХСООН -0.58 и -0.23 соответственно. ^ДБез X = CC1₃ и CF₃; точка для X = CH₂CH₂Br исключена из-за значимого отклонения. $^{\rm e}$ Cm. уравнение (5) и текст.

 $pK_{a2} = A + BpK_{aI} - aG_{OH}^{*}G_{X}^{*}$ (5) где B = I, а коэффициент $A = pK_{a}(Me(0^{-})P(0)OH) - pK_{a}(MeP(0)(OH)_{2})$ должен онть равен 3.64 $\pm 0.07I$ (см. выше). Проверка соотношения (5) на pK_{a} для 2I фосфоновой кислоти привела к удовлетворительной регрессий(ср. с результатами): $pK_{a2} = (4.II0 \pm 0.I8I) + (0.899 \pm 0.060)pK_{aI} - (0.444 \pm 0.089)$

±0.071) G TH GX

n=2I R = 0.9857 S₀ = 0.205 точность которой совпадает с точностью рег. \$5 табл. I. Одна-ко коэффициенти A и а значимо завышены по сравнению с их ожиданиями, тогда как коэффициент B несколько занижен, хотя и не отличается значимо от I.00. Это связано, по-видимому, со смещенностью оценок A, B и а, т.к. между величинами pK_{aI} *Кислоты с перечисленными в табл. I заместителями X \neq 0013,

сг₃. Введены соответствующие статистические и электростатические поправки. и константами G^{Ξ} существует значительная неортогональность. Исключение же вклада а $G_{OH}^{\Xi}G_{X}^{\Xi}$ из ур. (5) приводит к существенному ухудшению качества описания (R=0.953, $S_{O}=0.36$), что свидетельствует в пользу реальной значимости этого вклада.

Из соотношений (4a) и (4б) видно также, и это подтверждается рег. $\Re 3$ и $\Re 5$ табл. I, что величины pK_{aI} и pK_{a2} фосфоновых кислот могут описываться единым уравнением

 $pK_{a}(XP(0)(0H)_{2}) = A_{OH} + \alpha pK_{a}(XCOOH) + aG_{OH}^{*}G_{I}^{*} + pF_{a,I} + BT$ (6)

где T=0 для pK_{aI} и T=I для pK_{a2} ; b=pазность свободных членов в ур. (4a) и (4б), которая равна $-3.64 \pm 0.07I$ (см. выше). Уравнению (6) в табл. I соответствует рег. 167, охватывающая 4I значение pK_a 22 фосфоновых кислот. Все ее коэффициенты хорошо согласуются с соответствующими рег. 163 и 165 для pK_{aI} и pK_{a2} фосфоновых кислот и со своими математическими ожиданиями.

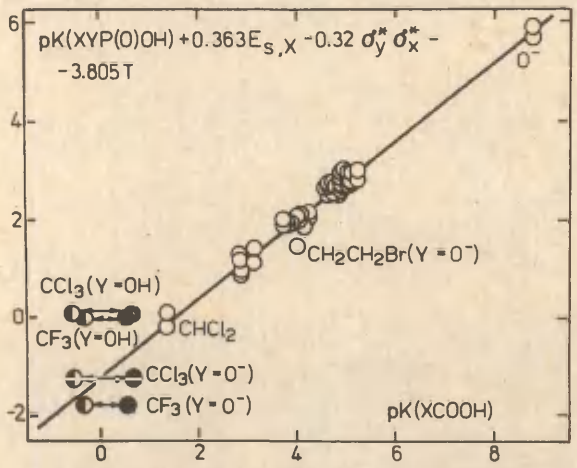


Рис. І. Иллюстрация соотношения (6) между статистически и электростатически коррегированными величинами $pK_{al}(y=0H)$, $pK_{a2}(y=0^-)$ фосфоновых ХУР(0)0H и карбоновых ХСООН кислот в воде при 25° С. Заместители X перечислены в комментарии к табл. І. Точки отвечают значениям $pK_a > 0$ для

кислот сс1 $_3$ соон и с F_3 соон; точки \bigcirc – значениям $pR_a < 0$ для этих кислот(см. табл. I).

На рис. I представлена графическая иллострация в координатах $pK_a(XyP(0)OH) + 0.363E_{s,X} - 0.326\frac{x}{y}6\frac{x}{X} - 3.805T$ и $pK_a(XCOOH)$, где y = OH или O^- , соблюдения соотношения (6). Очевидно, что наиболее значительно от линии регрессии отклоняется точка для $pK_{a2}(BrCH_2CH_2P(0)(OH)_2)$. Кроме того, к линии регрессии наиболее приближаются значения pK_{a2} кислот с $X = CCl_3$ и CP_3 в том случае, если для соответствующих карбоновых кислот использованы отрицательные значения pK_{a1} (см. коментарий к табл. I), тогда как точки, отвечающие pK_{a1} этих кислот, значительно отклоняются от линии регрессии при любых значениях pK_a соответствующих карбоновых кислот.

Таким образом, корошее соблюдение соотношений (4а), (4б), (5) и (6) для разнообразных заместителей X, в том числе заряженных (0-) и способных к сопряжению с реакционными центрами Р(0)ОН и СООН, полтверждает объективный карактер полученных нами ранее многомерных регрессионных зависимостей 2 для рК, фосфорорганических кислот типа ХТХ Р(0)ОН и кислот ХСООН, подтверждает объективный характер соотнопения (3), а также свидетельствует о том, что использованные нами математические модели индукционного, резонансного и стерического типов взаимодействий и соответствующие константи заместителей действительно содержат аксиоматически вложенный в них химический и физический смысл. Из этого следует вывод также о том, что вся аксиоматика корреляционного анализа, развитая и проверенная в основном на классических объектах органической химии, по-видимому, в полной мере применима к фосфорорганическим соединениям при решении разнообразных вопросов, касарщихся взаимосвязи реакционной способности или физико-химических свойств этих соединений с их химическим строением.

Литература

- I. Баранский В.А., Истомин Б.И., Калабина А.В., этот журнал, 13, 263 (1976)
- 2. Истомин Б.И., Баранский В.А., этот журнал, 15, 231 (1978)
- 3. Пальм В.А., Нуммерт В.Н., Посса Т.О., Карельсон М.М., Коппель И.А., Этот журнал, 10, 223 (1973)
- 4. Коппель И.А., Карельсон И.М., Пальм В.А., этот журнал, II, 99 (1974)
- 5. Коппель И.А., Карельсон М.М., Пальм В.А., этот журнал, 10, 497 (1973)
- 6. Таблицы констант скорости и равновесия гетерогенных органических реакций, т.I(I), ВИНИТИ, М, 1975
- 7. Пальм В.А., Основн количественной теории органических реакций, I изд., "Химия", Л., 1967
- 8. Спиридонов В.П., Лопаткин А.А., Математическая обработка физико-жимических данных, МГУ, М., 1970
- 9. Альберт А., Сермент Е., Константи ионизации кислот и оснований в воде, "Химия", N.-Л., 1964
- 10. Гусева Н. Н., Склянская Э.В., Карапетьяни М.Х., Михайличенко А.Л., Радиохимия, 16, 273 (1974)
- II. Карельсон М.М., Пальм В.А., Хиоб Р., этот журнал II, 239 (1974)
- I2. Пальм В.А., Ориадо Т., этот журнал. 7, 449 (1970)
- ІЗ. Одяков В.Ф., этот журнал, З. 36 (1966)
- I4. Perimutter Hayman B., Tapuhi B., J.Chem.Eng.Data, 22.
- I5. Jaffe H.H., Freedman L.D., Doak G.O., J.Am.Chem.Soc., 75, 2209 (1953)

РЕАНЦИОННАЯ СПОСОЕНОСТЬ ОРГАНИЧЕСКИХ СОВДИНЕНИЙ. ТОМ XV. Вып. 2(54). АВГУСТ 1978. На русском языке. Тартуский государственный университет. ЭССР, г. Тарту, ул. Иликооли, 18. Ответственный редактор В. Пальм. Сдако в печать 25/08 1978. Бумага писчая ЭСХ42 1/4. Печ. дистов 8,75(условных 8.16). Учетно-издат. листов 7,60. Тираж 400. МВ 07240. Типография ТГУ, ЭССР, г. Тарту, ул. Палсони, 14. Зак. & 1134. Цена 1 руб. 10 коп.

I руб. 10 коп.